

2956



UNIVERSIDAD NACIONAL AUTÓNOMA DE MÉXICO

FACULTAD DE INGENIERIA

"DIMENSIONAMIENTO DE ELEMENTOS
PRESFORZADOS EMPLEANDO DOS
CRITERIOS DIFERENTES"

TESIS PROFESIONAL

QUE PARA OBTENER EL TÍTULO DE:

INGENIERO CIVIL
PRESENTA:

FRANCISCO FREYRE GONZALEZ

FALLA DE ORIGEN

MEXICO, D.F.

1989



UNAM – Dirección General de Bibliotecas Tesis Digitales Restricciones de uso

DERECHOS RESERVADOS © PROHIBIDA SU REPRODUCCIÓN TOTAL O PARCIAL

Todo el material contenido en esta tesis está protegido por la Ley Federal del Derecho de Autor (LFDA) de los Estados Unidos Mexicanos (México).

El uso de imágenes, fragmentos de videos, y demás material que sea objeto de protección de los derechos de autor, será exclusivamente para fines educativos e informativos y deberá citar la fuente donde la obtuvo mencionando el autor o autores. Cualquier uso distinto como el lucro, reproducción, edición o modificación, será perseguido y sancionado por el respectivo titular de los Derechos de Autor.

I N D I C E

	Pág.
I. INTRODUCCION	
I.1 Criterios de Diseño por Momento Flexionante.	6
I.2 Objetivos de la Tesis.	11
I.3 Organización de la Tesis.	11
II. CRITERIO DE DISEÑO POR ESFUERZOS FERMISIBLES	
II.1 Secciones Simples.	
A) Definición.	13
B) Procedimiento.	13
C) Ejemplo.	39
II.2 Secciones Compuestas.	
A) Definición.	52
B) Procedimiento.	52
C) Ejemplo.	55
III. CRITERIO DE DISEÑO POR RESISTENCIA	
III.1 Secciones Simples.	
A) Procedimiento.	80
B) Ejemplo.	93
III.2 Secciones Compuestas.	
A) Procedimiento.	106
B) Ejemplo.	122
IV. CONCLUSIONES	
IV.1 Conclusiones.	145

I INTRODUCCION

- 1.1 Criterios de Diseño por Momento Flexionante.
- 1.2 Objetivos de la Tesis.
- 1.3 Organización de la Tesis.

I.1 Criterios de Diseño por Momento Flexionante.

El prestortizado puede definirse en términos generales como el precargado de una estructura, implicando la aplicación de una carga compresiva, previa a la aplicación de las cargas anticipadas de diseño, en forma tal que se reduzcan o eliminen los esfuerzos de tensión así como que mejore su comportamiento general (deflexiones, agrietamiento y vibraciones).

El concepto original de concreto prestortizado consistió en introducir en vias suficiente precompresión axial para que se eliminaran en el miembro cargado todos los posibles esfuerzos de tensión que obraran en el concreto. Sin embargo, a medida que se ha desarrollado el conocimiento de esta forma de construcción, se ha visto que esta concepción es innecesariamente restrictiva, y en la práctica actual de diseño se permite que existan esfuerzos de tensión en el concreto, y hasta cierto agrietamiento limitado. Haciendo variar la magnitud del presfuerzo compresivo puede limitarse al grado deseado el numero y el ancho de esas grietas, e igualmente puede controlarse la deflexión del miembro.

No solo por la mejoría del comportamiento bajo la carga de servicio, por el control del agrietamiento y la deflexión, es por lo que el concreto prestortizado es conveniente, sino también porque permite la utilización de materiales eficientes de alta resistencia. Pueden usarse miembros de menores dimensiones y además más ligeros. Se reduce la relación de la carga muerta a la carga viva, se aumentan los claros y se amplia considerablemente la gama de aplicaciones posibles del concreto estructural.

La magnitud de la fuerza del presfuerzo en un miembro de concreto no es constante, sino que toma diferentes valores durante la vida del elemento. Algunos de los cambios son instantáneos o casi instantáneos, otros dependen del tiempo, y otros más suceden en función de la carga superpuesta. Deben considerarse todos estos cambios en el diseño.

Con excepción de las condiciones que prevalecen bajo sobrecarga severa, la mayor fuerza que actúa ocurre durante la operación de los gatos (F_o). Para un miembro postensado, esta fuerza se aplica como una reacción directamente sobre el miembro de concreto, mientras que con el pretensado, la fuerza del gato reacciona contra anclajes externos y no actúa sobre el concreto en absoluto.

Como consecuencia de todas las pérdidas instantáneas, incluyendo las debidas al deslizamiento en el anclaje, el acortamiento elástico y la fricción, la fuerza aplicada por el gato F_o , se reduce a un valor menor P .

Con el paso del tiempo, se reduce aún más el esfuerzo en el acero. Los cambios que ocasionan esta reducción ocurren más bien con rapidez al principio, pero el régimen de cambio del esfuerzo pronto decrece. Se approxima a un nivel de esfuerzo casi constante, pero solo después de muchos meses, o hasta de varios años.

El resultado de todos los efectos dependientes del tiempo, incluyendo la contracción del concreto y su escorrimiento plástico, así como el relajamiento del acero, es que la fuerza inicial del presfuerzo P_0 , se reduce gradualmente a lo que se conoce como la fuerza efectiva de prestozado, P_e .

La suma de todas las perdidas, inmediatas y dependientes del tiempo puede ser del orden del 20 al 25% de la fuerza original aplicada por el acero. Todas las perdidas tienen que tomarse en consideración en el diseño del concreto presforzado.

Resulta útil resumir el comportamiento de una viga de concreto presforzado en función de su curva carga - deformación.

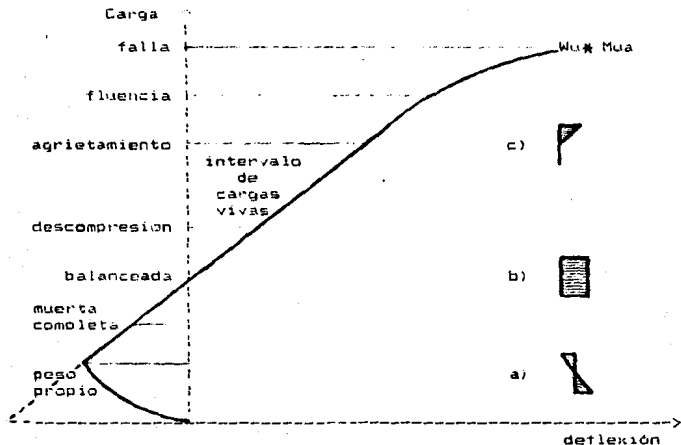


Fig. 1.1 Curva Carga - Deformación para una Viga Presforzada.

Cuando se aplica la fuerza de presfuerzo inicial, existira de inmediato un combedo hacia arriba, debido al momento de flexion asociado con la excentricidad del presfuerzo. Estando la viga apoyada en sus extremos, su peso propio comienza a ser efectivo inmediatamente, superponiendo una componente hacia abajo de la deflexion en contra del combedo hacia arriba producido por el presfuerzo. A este se le conoce como estado descargado, actuando en el solo el presfuerzo inicial y el peso propio.

Suponiendo, que todas las perdidas ocurren al mismo tiempo, de tal forma que la deflexion neta al comienzo sea la debida a la combinacion de la fuerza pretensora efectiva F_e y el peso propio W_0 . En este estado la distribucion de esfuerzos de flexion en el concreto en el centro del claro es generalmente tal como se muestra en la figura a), variando linealmente desde un valor bajo de esfuerzo de tension en la cara superior de la viga hasta un maximo de compresion en la parte inferior.

Cuando se agrega la carga muerta sobrepuesta, la deflexion se incrementa en el sentido positivo hacia abajo. En este estado, a menudo la deflexion neta es hacia arriba, pero no siempre es asi.

Con la adicion de una parte de la carga viva, se puede alcanzar un estado de carga balanceada tal que la carga equivalente hacia arriba proveniente del presfuerzo es exactamente igual a las cargas exteriores hacia abajo. El resultado es un esfuerzo de compresion uniforme en el miembro. Mientras que en la figura b) se indica una deflexion nula, esto necesariamente se obtiene, debido a que la distribucion uniforme de esfuerzos de compresion puede derivarse de la superposicion de las cargas de larga duracion, las cuales producen deflexiones por escurrimiento plastico, y las cargas vivas de corta duracion que no las producen.

Con una posterior adicion de carga viva se alcanza el estado de descompresion, en el cual el esfuerzo en el concreto en la cara inferior de la viga es cero. La respuesta de la viga es lineal en, y algo mas alla de este estado hasta que se alcanza, en donde los esfuerzos de tension en el concreto igualan al modulo de ruptura.

El rango usual de las cargas de servicio cae entre el estado de descompresion y el estado parcial de agrietamiento, tal como se indica en la figura 1.1. Hasta este punto, el metodo de diseño correspondiente es el Esfuerzos Permitidos, ya que solo es valido dentro del rango elastico de la viga.

El agrietamiento inicia la respuesta no lineal (rango inelastico), aunque por lo general, tanto el concreto como el acero permanecen dentro del rango elastico hasta bastante mas alla de la carga de agrietamiento.

Eventualmente, a medida que las cargas se siguen incrementando, comenzará a fluir el acero o el concreto alcanzará su deformación de aplastamiento, a lo que se le denomina el estado de sobrecarga. Cerca de la falla la respuesta de la viga es muy inelástica. La distribución del esfuerzo en el concreto en el miembro agrietado, cuando la falla es inminente, es aproximadamente tal como se muestra en la figura c).

Cualquiera de los estados de carga que se describieron puede servir como un punto de partida para el dimensionamiento del miembro de concreto. Cualquier estado de carga proporciona la base inicial, debiéndose revisar el miembro para los otros estados significativos, en forma tal de asegurar que sera satisfactorio para todos los rangos.

De acuerdo con la práctica usual, las dimensiones de los miembros se escogen generalmente en forma tal de mantener los esfuerzos en el concreto dentro de los límites especificados, a medida en que el miembro pasa del estado descargado hacia el estado de cargas de servicio. Cuando el miembro esta descargado, y solamente actúan la fuerza pretensora inicial y el peso propio, los límites del esfuerzo en el concreto se relacionan con la resistencia que tiene el concreto al tránsito de transferencia. Bajo las cargas de servicio, esto es, con la fuerza pretensora efectiva P_e y las cargas viva y muerta actuando, los límites del esfuerzo en el concreto generalmente no son los mismos que para el estado descargado. En forma adicional, ellos se relacionan con la resistencia especificada total de diseño del concreto.

Diseño por Flexión Basado en Esfuerzos Permisibles.

En la práctica actual, las dimensiones del concreto y la fuerza pretensora para las vigas se escogen en forma tal de no exceder los límites de esfuerzos especificados a medida en que la viga pasa del estado descargado al estado de servicio. Tanto el concreto como el acero se pueden considerar elásticos en este rango. Despues de que se han seleccionado tentativamente las dimensiones del miembro sobre estas bases, si fuera necesario se deberán revisar las deflexiones bajo los estados de carga de interes y la resistencia última del miembro.

Esto es razonable, considerando que uno de los objetivos mas importantes del presupuesto es mejorar el comportamiento bajo cargas de servicio. Más aún, es el criterio del comportamiento bajo cargas de servicio el que determina la magnitud de la fuerza pretensora a usarse, aunque los requisitos de resistencia pueden determinar el área total de acero a tensión.

Muchos diseñadores adoptan un procedimiento de aproximaciones sucesivas. Se suponen una sección transversal, una fuerza pretensada y un perfil del cable determinados. Despues se revisa el miembro de tanteo para asegurar que los esfuerzos están dentro de los límites permisibles, que las deflexiones son satisfactorias y que se dispone de la resistencia requerida. Sin embargo, se puede seguir un procedimiento más sistemático, basado en la aproximación de los esfuerzos, tan cerca como sea posible, de los esfuerzos límite, bajo los estados de carga que controlan el diseño.

Diseño por Flexión Basado en la Resistencia.

La característica más importante de una estructura es su resistencia, la cual establece el grado de su seguridad incorporado en su diseño. Para el concreto reforzado, por lo general, solo se consideran las vigas sobrereforzadas, para las cuales el acero se encuentra a su punto de fluencia en la falla. Con la fuerza de tensión así conocida, el área en compresión de la sección transversal se halla fácilmente mediante la suma de fuerzas horizontales. Conociendo el centrode del área de compresión, el brazo del par se halla y se puede escribir una ecuación explícita para el momento resistente último. Esta ecuación puede recordarse con la finalidad de hallar directamente las dimensiones requeridas para el concreto y el área de acero.

Para el concreto sobrereforzado, por otra parte, el esfuerzo en el acero en la falla por flexión se encuentra en un valor f_{sp} que es por lo general menor que la resistencia a tensión f_{sr} . Puede ser mayor o menor que el esfuerzo nominal de fluencia f_y . El área de concreto en compresión, la cual es una función del esfuerzo en el acero al momento de la falla, no puede establecerse fácilmente al principio del proceso de diseño, de tal manera que el brazo del par interno entre las resultantes de compresión y tensión es desconocido.

Sin embargo, para los casos prácticos, se puede hallar una sección de concreto tentativa mediante la suposición de que el esfuerzo en el tendon a la falla es 0.9 veces la resistencia última f_{sr} . Se encontrará que un refinamiento será necesario solamente en los casos en que existe un porcentaje de acero inusualmente grande.

Sólo al final el diseño se revisa para que tenga condiciones satisfactorias de servicio, haciendo referencia específica al arietamiento y deflexión para el nivel de cargas de servicio.

I.2 Objetivos de la Tesis.

El objetivo de esta tesis es mostrar y comparar los diferentes métodos de diseño que existen para elementos presforzados, enfocándose principalmente al Diseño por Esfuerzos Permisibles y al Diseño por Resistencia, que son los más utilizados en la práctica profesional.

En ambos criterios de diseño se abordaran las Secciones Simples y las Secciones Compuestas, así como ejemplos de cada una de estas.

En el diseño por Esfuerzos Permisibles, que es el utilizado por el RCDF-87, se hará énfasis en los requerimientos y especificaciones que pide éste.

En el diseño por Resistencia, se mostrará un nuevo método para optimizar el diseño de elementos prestorizados.

Se hará una evaluación de los métodos expuestos, para obtener conclusiones y así poder determinar qué método es el más conveniente.

I.3 Organización de la Tesis.

En el primer capítulo se dan lineamientos generales relativos al presfuerzo, así como las bases y criterios globales del diseño de este tipo de elementos, se dan consideraciones referentes a las pérdidas de esfuerzo y cuáles son sus causas y repercusiones en el comportamiento del elemento.

Este capítulo, sirve como base para sustentar y lograr un mayor entendimiento de lo expuesto en los capítulos siguientes, ya que contiene consideraciones que deben tomarse en cuenta en cualquier método de diseño que se utilice.

En los capítulos dos y tres, se tratarán los métodos de diseño que son más utilizados (uno en cada capítulo); se explicara en qué criterios se basan, en qué consisten, se abordaran las secciones simples y las secciones compuestas. Para su mejor compresión, se concluyen con un ejemplo de cada tipo de sección para aclarar cualquier duda que pudiera surgir. Estos ejemplos se irán explicando conforme se vayan desarrollando.

Para finalizar, en el capítulo cuatro se dará una conclusión basándose en lo expuesto, con lo cual se obtendrá un balance de ambos criterios de diseño explicando el porqué se utiliza cada uno de ellos, así como sus ventajas y desventajas.

II CRITERIO DE DISEÑO POR ESFUERZOS PERMISIBLES

III.1 Secciones Simples.

- A) Definición.
- B) Procedimiento.
- C) Ejemplo.

III.2 Secciones Compuestas.

- A) Definición.
- B) Procedimiento.
- C) Ejemplo.

III.1 Secciones Simples.

A) Definición.

Sección Simple es una sección que se cuela o fabrica en una sola etapa con un mismo tipo de concreto ($f'c \leq 250$ Kg/cm²).

B) Procedimiento.

En primer lugar se determinan las características geométricas de la sección. Si se trata de secciones tipo, es conveniente consultar el catálogo del ANIFPAC (Asociación Nacional de Industriales del Fresfuerzo y la Prefabricación, Asociación Civil); en caso contrario esas características se obtendrán conforme a los requerimientos de la Estática.

En seguida se procederá a obtener los diagramas de elementos mecánicos del elemento; debido a que este se traza por diferentes etapas de carga se deberá, previamente, elegir la condición que se revisara.

Las etapas de carga que se presentan en el elemento son:

1a. Etapa. Cuando el elemento se encuentra en la mesa de tensado.

Acciones: $F_0 = n F_0$, F_0 e

Materiales: $f'ci = 0.8 f'c$, F_0

Condiciones de fronteras: Viga totalmente apoyada.

2a. Etapa. El izado del elemento de la mesa de tensado al lugar en el cual se almacenará.

Acciones: W_{pp} , F_0 , F_0 e

Materiales: $f'ci$, F_0

Condiciones de fronteras: Viga en doble voladizo.

3a. Etapa. Durante el almacenamiento (entongue).

Acciones: W_{pp} , F_0 , F_0 e

Materiales: $f'ci$, F_0

Condiciones de fronteras: Viga simplemente apoyada.

4a. Etapa. El elemento es montado en sus apoyos definitivos.

Acciones: W_{pp} , F_0 , F_0 e

Materiales: $f'ci$, F_0

Condiciones de fronteras: Viga simplemente apoyada.

Sa. Etapa. Cuando al elemento se le aplica totalmente la carga muerta.

Acciones: W_{pp} , W_{cm} , F_0 . F_0 e

Materiales: f_{ci} , F_0

Condiciones de frontera: Viga simplemente apoyada.

Se. Etapa. En el elemento actúa la carga muerta + la carga viva.

Acciones: W_{pp} , W_{cm} , W_{cv} , F , F_0

Materiales: f_{ci} , F_0

Condiciones de frontera: Viga simplemente apoyada.

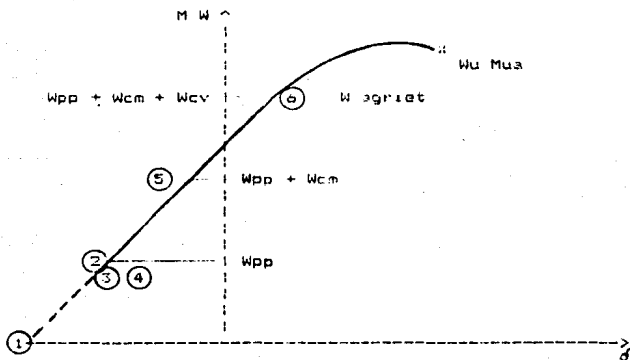


Fig. II.1 Etapas de Carga de una Viga Precisforzada.

Las etapas críticas son:

- 4a. Etapa. En posición definitiva. únicamente con peso propio.
- 6a. Etapa. Cuando todas las cargas actúan en la viga.
- 2a. Etapa. En el izado del elemento.

Con base en lo anterior, sólo se obtendrán los diagramas de elementos mecánicos en las etapas críticas, y se revisarán las secciones críticas en cada una de esas etapas.

Para revisar las secciones críticas, se obtendrán los esfuerzos que actúan en la fibra superior y en la fibra inferior de la sección, y se compararán con los permisibles que da el reglamento (RCDF-87).

Esfuerzos Permisibles - RCDF-87
para Elementos Totalmente Reforzados.

A. Esfuerzos Permisibles en el Concreto.

- Inmediatamente después de la transferencia y antes de las perdidas por contracción y flujo plástico.

* Compresión $f_{pc} = 0.50 f_{c}$

* Tensión $f_{pt} = \sqrt{f_{c}}$
(Sin refuerzo en la zona de tensión).

Si $f_a = f_{perm}$ se administrará refuerzo
tensión tension para resistir la fuerza
total de tensión.

$f_{c} =$ resistencia a compresión del concreto en la
transferencia.

$$f_{c} = 0.8 f_{c'}$$

- Bajo cargas de servicio.

* Compresión $f_{pc} = 0.45 f_{c}$

* Tensión $f_{pts} = 1.0 \sqrt{f_{c}}$
 $f_{pts} = 3.2 (\sqrt{f_{c}} \text{ y asegura comportamiento } \text{ adecuado})$

Si $f_a > 3.2 \sqrt{f_{c}}$ colocar acero de refuerzo ordinario
de acuerdo a IP.

En ambientes corrosivos, obligar que:
 $f_a = 0$
tension

B. Esfuerzos Permisibles en el Acero de Presfuerzo.

- Debidos a la fuerza aplicada por el gato $f_p = 0.8 f_{sr}$
- Inmediatamente después de la transferencia $f_p = 0.7 f_{sr}$

C. Esfuerzos Permisibles en el Acero de Refuerzo.

$$f_p = 0.5 f_y$$

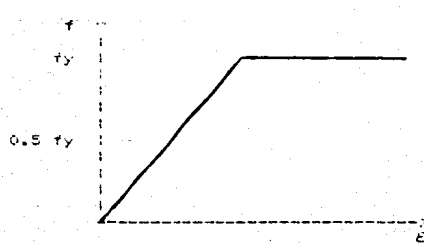
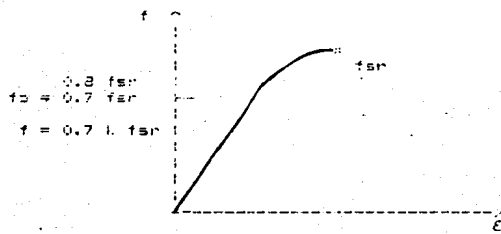
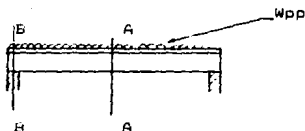


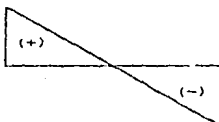
Fig. 11.2 Curvas Esfuerzo - Deformación del Acero de Presfuerzo y del Acero de Refuerzo.

Revisión de Etapas Críticas.

- En el entonque, solo actúa el peso propio (Inmediatamente después de la transferencia).

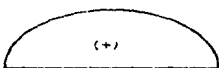


(V)



(M)

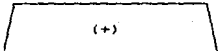
Mapp



Materiales:

(N)

Po



(M)

Po e

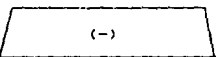
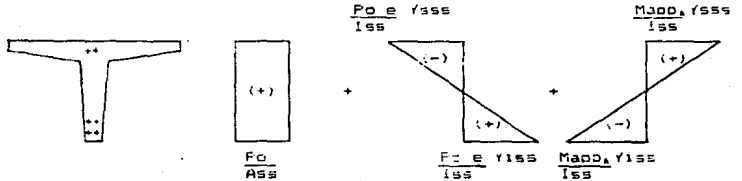
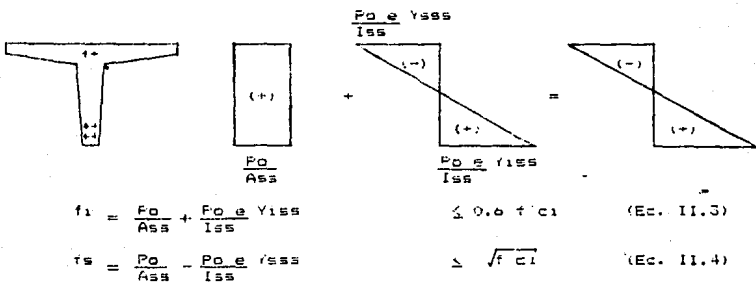


Fig. II.3 Elementos Mecánicos del Elemento Actuando Unicamente el Peso Propio.

Sección A - A



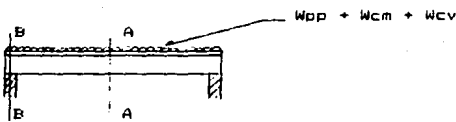
Sección B - B



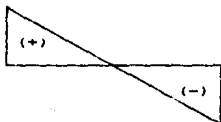
Esta sección B - B es la que nos define la cantidad de prosfuerzo requerido por el elemento, por lo que es de estas la más critica.

Se considera que en la viga se presentan las siguientes condiciones: Feralte Constante, Sección Constante y Prosfuerzo Constante; las cuales son muy importantes, ya que de no presentarse alguna de esas condiciones, las ecuaciones planteadas no son validas.

- Todas las cargas se presentan en la viga (Cargas de Servicio).

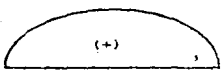


(V)



(M)

Mat



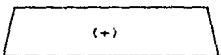
Materialos:

f'c

P

(N)

P



(M)

P e

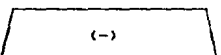
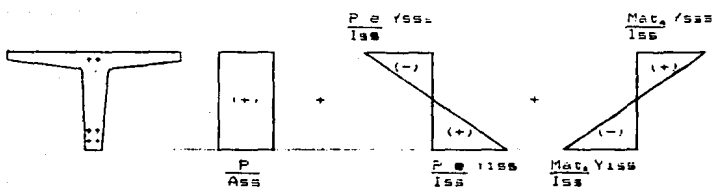


Fig. II.4 Elementos Mecánicos del Elemento, Actuando las Cargas de Servicio.

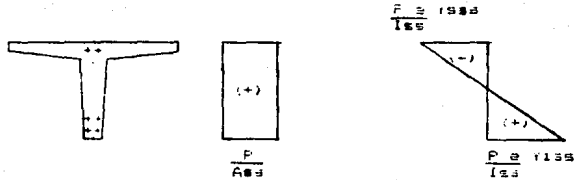
Sección A - A



$$f_1 = \frac{P}{A_{ss}} + \frac{P_e Y_{ss}}{I_{ss}} - \frac{\text{Mat}_e Y_{ss}}{I_{ss}} \leq 1.6 \sqrt{f'c} \quad (\text{Ec. II.5})$$

$$f_2 = \frac{P}{A_{ss}} - \frac{P_e Y_{ss}}{I_{ss}} + \frac{\text{Mat}_e Y_{ss}}{I_{ss}} \leq 0.45 f'c \quad (\text{Ec. II.6})$$

Sección B - B



$$f_1 = \frac{P}{A_{ss}} + \frac{P_e Y_{ss}}{I_{ss}} \leq 0.45 f'c \quad (\text{Ec. II.7})$$

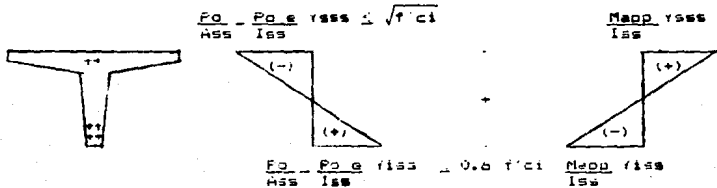
$$f_2 = \frac{P}{A_{ss}} - \frac{P_e Y_{ss}}{I_{ss}} \leq 1.6 \sqrt{f'c} \quad (\text{Ec. II.8})$$

La sección más crítica es la que se encuentra al centro del claro, o sea, la sección A - A, ya que allí se encuentra el momento mayor.

Capacidad del Presfuerzo de una Sección Transversal.

Capacidad.- Es la máxima cantidad de presfuerzo que le podemos dar a una sección transversal para que no sobrepase los esfuerzos permisibles.

Como se vio anteriormente, la capacidad está definida en la sección B - B cuando actúa únicamente el peso propio en el elemento.



Conociendo

$$F_0 = \frac{P}{k}$$

Entonces es

$$P = k F_0 \quad (\text{Ec. II.9})$$

Donde:

P = Presfuerzo Efectivo.

F_0 = Presfuerzo Inicial.

Sustituyendo la ecuación II.9, en la ecuación II.4:

$$\frac{F_0}{A_{ss}} - \frac{F_0 \cdot e \cdot Y_{max}}{I_{xx}} = \sqrt{f_{ci}}$$

$$\frac{P}{k A_{ss}} - \frac{P \cdot e \cdot Y_{max}}{k I_{xx}} = \sqrt{f_{ci}}$$

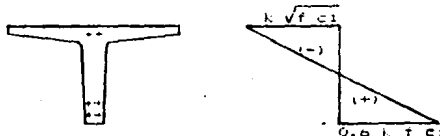
$$\frac{P}{A_{ss}} - \frac{P \cdot e \cdot Y_{max}}{I_{xx}} = k \sqrt{f_{ci}} \quad (\text{Ec. II.10})$$

De la misma manera, de ecuación II.9 en ecuación II.5:

$$\frac{F_0}{A_{ss}} + \frac{F_0 \cdot e \cdot Y_{max}}{I_{xx}} = 0.6 f_{ci}$$

$$\frac{P}{K_{Ass}} + \frac{P_{e, max}}{K_{Ies}} = 0.6 f_{ci}$$

$$\frac{P}{K_{Ass}} + \frac{P_{e, max}}{I_{es}} = 0.6 f_{ci} \quad (\text{Ec. III-11})$$



Siempre y cuando se cumplan:

- * Sección Constante.
- * Presfuerzo Constante.
- * Peralte Constante.

Si suponemos que el presfuerzo no es constante:

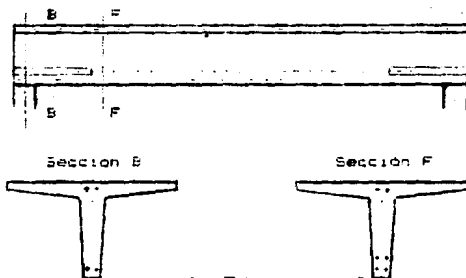
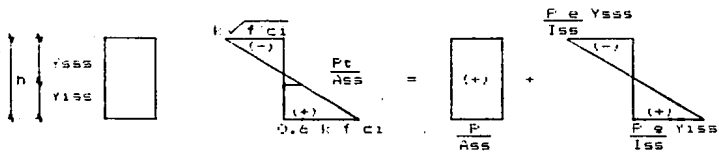


Fig. III.3 Método de "engrasar" torones.

Como se observa, en la sección B únicamente se consideran 4 torones a diferencia de la sección F en la cual si se consideran los 6 torones existentes. A este método se le conoce como "engrasar" torones, con el cual se logra disminuir los esfuerzos en los extremos del elemento, cuando estos exceden a los permisibles en dicha sección.

Determinación de la Fuerza de Prestfuerzo según su Capacidad.

Con ayuda de lo obtenido en las ecuaciones II.IV y II.II:



Por triángulos semejantes:

$$\frac{0.6 + k\sqrt{f'ci}}{h} = \frac{\frac{Pt}{Ass} + k\sqrt{f'ci}}{Yass}$$

Despejando Pt:

$$Pt = Ass \cdot Yass \cdot (0.6 + k\sqrt{f'ci}) - k\sqrt{f'ci} \quad (\text{Ec. II.12})$$

Número de Tendones.

Es necesario definir el tipo de tendon que se utilizará, así como sus características; para ello es conveniente auxiliarse de la tabla II.1 o del catálogo del ANIPFAC.

TIPO	DIÁMETRO (mm)	AREA (cm ²)	PESO (kg/m)	f _{sr} (kg/cm ²)
Alambre	7	0.00425	0.302	18 900 *
	8	0.00535	0.353	18 900 *
	10	0.01414	0.624	22 000 *
Tóton	7.94 (5/16")	0.372	0.295	18 900 *
	9.52 (3/8")	0.516	0.408	18 900 *
	12.70 (1/2")	0.929	0.735	18 900 *

* Disponibles en 270 K y en 250 K.

Tabla II.1 Características de los Tendones.

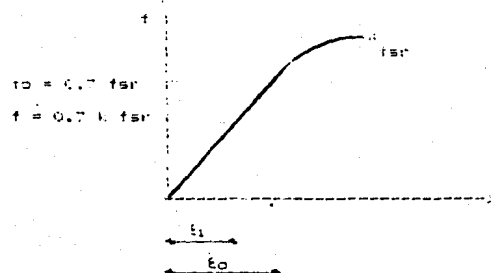
Comet:

$$F_t = Q_s \cdot 0.7 \text{ fm} \quad \text{(Eq. II.13)}$$

$$F_d = Q_s \cdot 0.7 \text{ fm} \quad \text{(Eq. II.14)}$$

Entonces:

$$N = \frac{P_t}{F_t} \quad \text{(Eq. II.15)}$$



Determinación de la Concentración Técnica

Se obtiene con la ayuda de la ecuación II.15, ya que en esa zona en donde se concentra la mayor cantidad de prestuerzo de la sección.

$$f_t = \frac{P_t}{A_{ss}} + \frac{F_t \cdot e_t \cdot I_{ss}}{I_{ss}} = M_o \cdot n \cdot f_t \cdot G$$

Despejando:

$$e_t = \frac{I_{ss}}{F_t \cdot I_{ss}} \left(0.6 \cdot k \cdot f_t \cdot G - \frac{P_t}{A_{ss}} \right) \quad \text{véc. II.15}$$

Recubrimientos.

Los recubrimientos necesarios estan dados en la siguiente tabla:

CONDICION	ELEMENTO	RECUBRIMIENTO (CM)
Concreto colado en contacto y permanentemente expuesto al suelo.	Cualquier tipo de Elemento Estructural	7.5
	Losas , muros y nervaduras.	2.5
Concreto expuesto a la acción del clima.	Otros elementos Estructurales	4.0
	Losas , muros y nervaduras.	2.0
	Refuerzo principal.	4.0
Concreto no expuesto a la acción del clima	Estríbos espirales.	2.5
	Cascarrones, placas delgadas, barras del # E, alambres de diámetro nominal de 1.5 cm o menor.	1.0
	Otro tipo de refuerzo	db + 2.0

Tabla II.2 Recubrimientos Libres (RCDF - 87).

Separación de Tendones.

Se debe cumplir que:

$$\text{Alambres} \quad S_1 \geq 4 \text{ cm alambre}$$

$$\text{Tornos} \quad S_1 \geq 3 \text{ cm tornos}$$

$$r_t = r_1 + d/2$$

$$S_t = S_1 + d$$

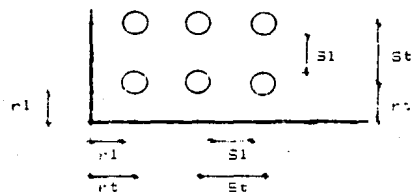
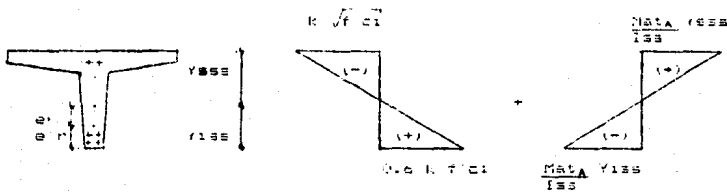
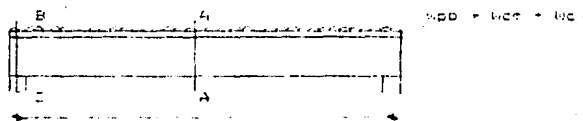


Fig. II.6 Colocación de Tendones.

Revisión de la Sección A - A en Condiciones de Servicio.



$$f_a = -k \sqrt{f_c} + \frac{M_{st}, f_{iss}}{I_{ss}} \leq 0.45 f_c \quad (\text{Ec. II.17})$$

$$f_t = 0.6 k f_c - \frac{M_{st}, f_{iss}}{I_{ss}} \leq 1.6 \sqrt{f_c} \quad (\text{Ec. II.18})$$

Al comparar los esfuerzos actuantes (f_a), contra los esfuerzos permisibles (f_p); podemos tener alguna de las siguientes opciones:

1a. Opción

$$f_a > f_p$$

La sección es escasa, y habrá que aumentarla.

2a. Opción

$$f_a < f_p$$

ligeramente

La sección se mantiene.

Se aumenta el diagrama de presfuerzo, pero se engrasan los tendones en la sección B.

Se coloca acero de refuerzo ordinario en la zona central (al centro del claro).

3a. Opción

$$f_a < f_p$$

Se reduce la sección transversal.

4a. Opción

$$f_a < f_p$$

ligeramente

Se mantiene la sección.

Se reduce el presfuerzo.

5a. Opción

$$f_a = f_p$$

Se mantiene la sección.

Cuando estemos en alguno de los casos anteriores, se toman las medidas indicadas en cada uno de ellos.

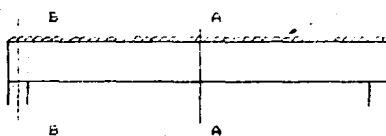
Para la colocación de los tendones, se ubicaran aproximadamente el 80 % en la parte inferior de la sección (deben ser pares), y el 20 % restante en la parte superior.

Obtención de la Excentricidad Real.

Finalmente, en base al reacomodo final y con auxilio de los momentos estáticos se obtiene la excentricidad e_r .

$$e_r = f_{iss} - e_r \quad (\text{Ec. II.19})$$

Revision por Resistencia.



La Unica sección que se revisa por resistencia será la A-A
(al centro del ciero).

Se debe cumplir que:

$$M_{ur} \geq M_{ua}$$

en el cual:

$$M_{ua} = F.C. M_{ut}.$$

La obtención de M_{ur} es a partir de un modelo matemático, el cual está basado en 7 hipótesis simplificadorias, en el equilibrio interno.

Las hipótesis simplificadorias son las siguientes:

1) Las secciones planas antes de la deformación (debido a las cargas) permanecen planas antes y después de ella.

2) Existe adherencia entre el concreto y el acero de tal manera que la deformación unitaria del acero es igual a la del concreto adyacente (es válida para acero de presto y acero de refuerzo).

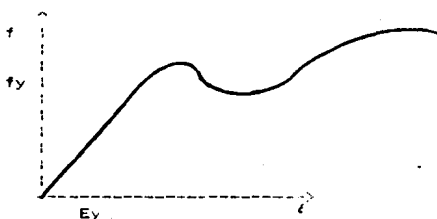
$$\epsilon_{concreto} = \epsilon_{acerio}$$

3) El concreto no resiste esfuerzos de tensión.

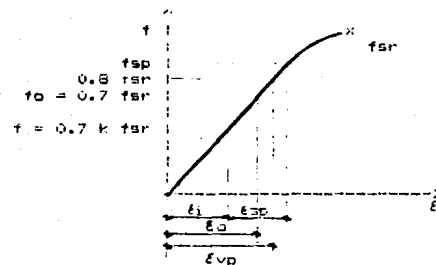
4) La deformación unitaria del concreto en compresión, cuando se alcanza la resistencia de la sección es 0.003.

$$\epsilon_c = 0.003$$

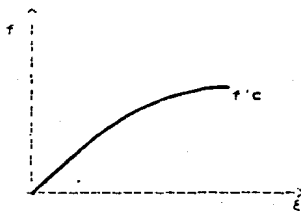
5.) Se conoce el comportamiento del acero de refuerzo ordinario.



6.) Se conoce el comportamiento del acero de presiuerzo.



7.) Se conoce el comportamiento del concreto simple.



Para la obtención de M_u , las secciones simples se clasifican en la siguiente forma:

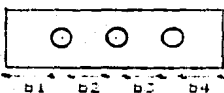
- Secciones Geometricamente Rectangulares.
 - * La sección trabaja como rectangular.
- Secciones Geometricamente "T".
 - * La sección trabaja como rectangular.
 - * La sección trabaja como "T".

En el caso de otros tipos de elementos que no sean rectangulares, ni secciones "T"; se utilizan las secciones equivalentes para la obtención de la resistencia.

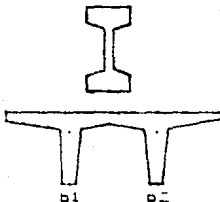
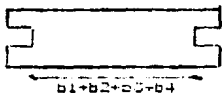
Las secciones más comunes son:



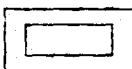
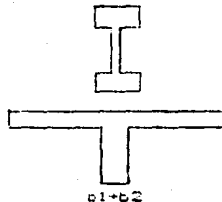
=



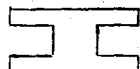
=



=

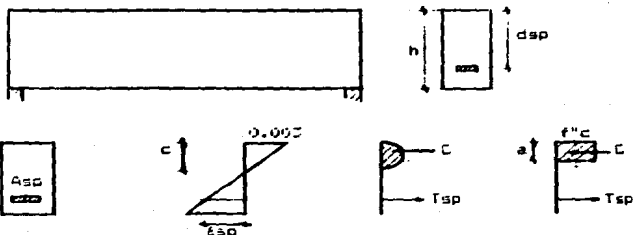


=



Así como en las anteriores secciones, cualquier tipo de elemento se puede transformar a una sección equivalente de tal manera que se pueda trabajar siempre con una sección "T".

Vigas de Sección Rectangular.



Datos:

n = Peralte total de la viga.
 dap = Peralte efectivo.

c = Profundidad del eje neutro.

Asp = Área del acero de prestuerzo ($\#$ tendones \times Q_{sp})

Esp = Deformación unitaria en los tendones en tensión debida a la flexión de la viga cuando llega a su resistencia.

a = Profundidad del bloque de esfuerzos equivalentes.

$$a = 0.8 c$$

Obteniendo momentos con respecto a C:

$$M_{ur} = F.R. E Tsp + dap - a/2 \cdot I \quad (\text{Ec. II.20.})$$

$$F.R. = 0.90$$

Como:

$$C = Tsp$$

Entonces, también:

$$M_{ur} = F.R. E C + dap - a/2 \cdot I \quad (\text{Ec. II.21.})$$

En las cuales:

$$C = a b f''c \quad (\text{Ec. II.22.})$$

$$Tsp = Asp f_{sp} \quad (\text{Ec. II.23.})$$

f_{sp} = Esfuerzo en el acero de prestuerzo, cuando el elemento llega a su resistencia.

Para la obtención de fsp, existen diversos métodos:

- Por compatibilidad de deformaciones.
- Método ACI-77 (aproximado).
- Método del ECDF-87.

En este caso solo se verá el utilizado por el ACDF-87, ya que en él se basa este texto.

Método del ECDF-87.

En elementos total o parcialmente prestados, el esfuerzo en el acero de prestazos es fsp %. Cuando se alcanza la resistencia, deberá valuararse a partir del equilibrio y de las hipótesis generales. Sin embargo, si se cumple que:

$$f_c \approx 350 \text{ kg/cm}^2 \quad \text{y} \\ f_{se} \approx 0.5 \text{ fsp}$$

el esfuerzo fsp puede calcularse como:

$$fsp = f_{se} (1 - 0.3 (P_p / f_{se} f'_c)) \quad (\text{Ec. II.24})$$

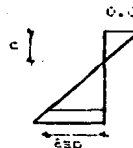
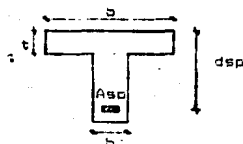
Donde:

$$P_p = \frac{As_p}{b \cdot d_{sp}} \quad (\text{Ec. II.25})$$

Vigas de Sección Geométricamente "T".

- Se supone que la sección geométricamente "T", trabaja como rectangular.

Se supone que $a = b = t$



$$C = a \cdot b \cdot f'_c \cdot c$$

$$T_{sp} = A_{sp} \cdot fsp$$

Como:

$$C = T_{sp}$$

$$a \cdot b \cdot f''c = A_{sp} \cdot T_{sp}$$

$$a = \frac{A_{sp} \cdot f_{sp}}{b \cdot f''c}$$

Entonces:

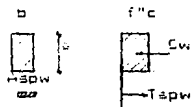
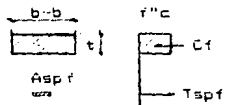
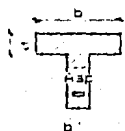
$$\text{Si } a < t$$

$$M_{ur} = F.R. [A_{sp} \cdot T_{sp} + d_{sp} - a, 2]$$

Que es la misma ecuación a la obtenida cuando la sección es geométricamente rectangular (Ec. II.20 o Ec. II.21).

- La sección geométricamente " T ", trabaja como " T ".

En este caso $a > t$



En el patín:

$$b' = b - b'$$

$$C_f = t \cdot b' \cdot f''c$$

$$T_{spf} = H_{spf} \cdot f_{sp}$$

$$C_f = T_{spf}$$
$$t \cdot b' \cdot f''c = A_{spf} \cdot T_{sp}$$

$$A_{spf} = \frac{t \cdot b' \cdot f''c}{f_{sp}}$$

(Ec. II.26)

En el alma:

$$C_w = a \cdot b \cdot f''c$$

$$T_{spw} = H_{spw} \cdot f_{sp}$$

$$C_w = T_{spw}$$
$$a \cdot b \cdot f''c = A_{spw} \cdot f_{sp}$$

$$a = \frac{A_{spw} \cdot f_{sp}}{b \cdot f''c}$$

(Ec. II.27)

Como:

$$A_{sp} = A_{spf} + A_{spw}$$

$$A_{spw} = A_{sp} - A_{spf}$$

(Ec. II.28)

Asimismo:

$$C = Cf + Cw \quad (\text{Ec. II.29})$$

y

$$T_{so} = T_{spf} + T_{sw} \quad (\text{Ec. II.30})$$

Finalmente:

$$\mu_{ur} = F.R. [Cf (d_{sp} - t/2) + C_w (d_{sp} - a/2)] \quad (\text{Ec. II.31})$$

$$\mu_{ur} = F.R [T_{spf} (d_{sp} - t/2) + T_{sw} (d_{sp} - a/2)] \quad (\text{Ec. II.32})$$

Revisión por Línea de Falla.

El RCDP-87 requiere que en los elementos de concreto prestado, la falla potencial sea dúctil; por lo que es necesario hacer la siguiente revisión:

Para hacerlo en forma sistemática, se recomienda seguir los siguientes pasos:

1.- Una vez obtenido "a":

$$c = a/0.8$$

2.- Como:

$$\epsilon_{so} = 0.003 (d_{sp} - c) / c$$

3.- Obteniendo:

$$\epsilon_i = 0.7 \times f_{sr} / E_{sp}$$

4.- Suponiendo $\epsilon_{vp} = 0.01$

$$\frac{\epsilon_{vp}}{0.75} = \frac{0.01}{0.75} = 0.013$$

5.- Sumando:

$$\epsilon_i + \epsilon_{so}$$

(rigurosamente se debería sumar una deformación ϵ_{des} , producida en la descarga del elemento, pero como es de menor magnitud, se la despreciara en esta revisión).

6.- Comparando:

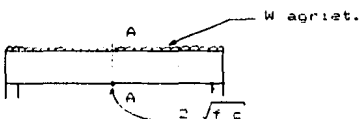
Si $\epsilon_i + \epsilon_{so} \leq 0.013$ La falla potencial es dúctil y cumple con el reglamento.

Si $\epsilon_i + \epsilon_{so} > 0.013$ La falla potencial es frágil y se revisará nuevamente la sección.

Revisión por Acero Mínimo.

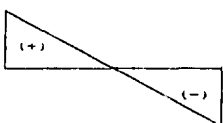
El acero a tensión, presforzado y sin presforzar, en secciones con prestuerzo total, será por lo menos el necesario para que el momento resistente de la sección sea igual a 1.2 veces su momento de agrietamiento.

$$M_u \geq 1.2 M_{agriet.}$$

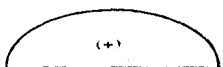


$$2\sqrt{f'_c} = \text{Módulo de rotura del concreto.}$$

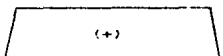
(N)



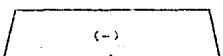
(M)

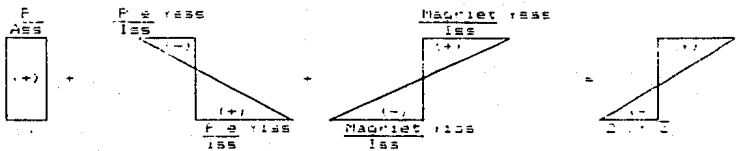


(H)



(M)





$$f_1 = \frac{P}{A_{ss}} + \frac{P_a \text{ vaceo}}{I_{ss}} - \frac{\text{Magriet vaceo}}{I_{ss}} = -2 \sqrt{c}$$

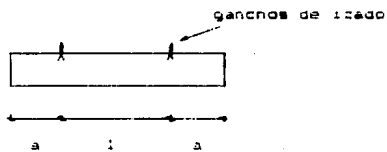
$$\text{Magriet} = \frac{(2 \sqrt{c} + \frac{P_a \text{ vaceo}}{A_{ss}})}{I_{ss}} I_{ss}$$

(Ec. 11.31)

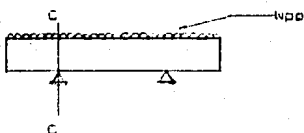
Revisión por Izado de Elementos Fracturados.

Como se vio al inicio de este capítulo, una de las etapas críticas del elemento es cuando es izado, ya sea para transportarlo de la mesa de tensión al lugar en donde será almacenado o al momento de colocarlo en su posición definitiva.

En esta etapa sólo actúa el peso propio, entonces:



Se puede idealizar como:



Sus diagramas de elementos mecánicos son:

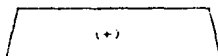
(M)



$$\frac{W_{pp} \cdot a}{2} = M_{appc}$$

(N)

P_o



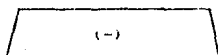
$$f_{ci} = 0.8 f_{ci}$$

P_o

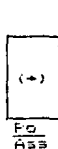
W_{pp}

(M)

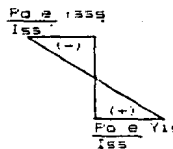
$P_{o,e}$



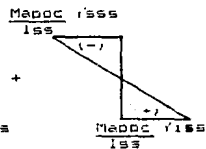
Unicamente se revisará la sección C - C (momento máximo)



+



+



Se debe revisar que:

$$f_{is} = \frac{P_o}{A_{ss}} - \frac{P_{o,e} Y_{iss}}{I_{ss}} - \frac{M_{appc} Y_{iss}}{I_{ss}} \leq \sqrt{f_{ci}} \quad (\text{Ec. II.34})$$

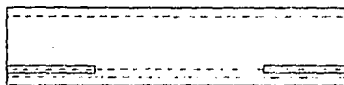
$$f_i = \frac{P_o}{A_{ss}} + \frac{P_{o,e} Y_{iss}}{I_{ss}} + \frac{M_{appc} Y_{iss}}{I_{ss}} \leq 0.6 f_{ci} \quad (\text{Ec. II.35})$$

En el caso de que no se cumplan las desigualdades anteriores, las posibles alternativas son:

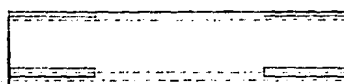
- 1.- Colocar acero de refuerzo adicional.



- 2.- Engrasar los tendones de prestiuerzo.



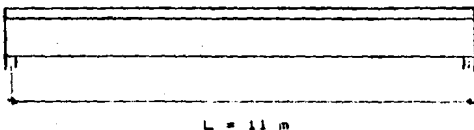
- 3.- Engrasar el acero de prestiuerzo y colocar acero de refuerzo.



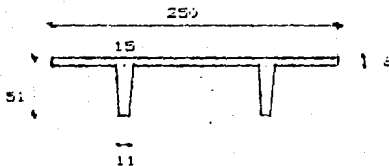
C) Ejemplo.

Diseñar la cubierta + sistema de piso / de un edificio de oficinas utilizando vigas "T T", cuyos datos son los siguientes:

$$\begin{aligned}W_{scm} &= 154 \text{ Kg/cm}^2 \\W_{cv} &= 250 \text{ Kg/cm}^2 \\f_c &= 350 \text{ Kg/cm}^2 \\f_{sr} &= 18\ 900 \text{ Kg/cm}^2 \\f_y &= 4\ 200 \text{ Kg/cm}^2 \\L &= 11 \text{ m} \\Torneo &= 0\ 1/2''\end{aligned}$$



Secciones



a) Características Geométricas.

Ya que se trata de una sección tipo, las características se obtendrán del catálogo del ANIPPAC.

$$\begin{aligned}A_{sc} &= 2\ 670 \text{ cm}^2 \\I_{sc} &= 589\ 987 \text{ cm}^4 \\Y_{sc} &= 37.3 \text{ cm} \\Y_{scs} &= 13.7 \text{ cm}\end{aligned}$$

b) Análisis de Cargas.

$$W_{DP} = \dots = 841$$

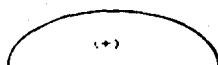
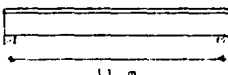
$$W_{CM} = 154 (1.5) = 225$$

$$\text{Reglamento} = 20 (2.5) = 50$$

$$W_{CV} = 250 (1.5) = 375$$

$$\frac{W}{t} = 1701 \text{ Kg/m}$$

c) Elementos Mecánicos.

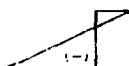
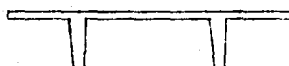


$$M_{ata} = \frac{Wt_1}{g} = \frac{1701 (11)}{8} = 25728 \text{ Kg-m}$$

$$M_{atb} = 0$$

d) Determinación de los Esfuerzos Actuantes en la Sección A.

Se obtendrán con todas las cargas actuando, o sea, en condiciones de servicio.



$$f_t = -\frac{M_{ata} Y_{ISS}}{I_{SS}} = -\frac{25728 (100) (13.7)}{569.987} = -152.96 \text{ Kg/cm}^2$$

$$f_s = \frac{M_{ata} Y_{ISS}}{I_{SS}} = \frac{25728 (100) (13.7)}{569.987} = 59.74 \text{ Kg/cm}^2$$

B) Esfuerzos Permisibles.

Concreto

- Inmediatamente después de la transferencia.

$$f'_{ci} = 0.8 f'_c = 0.8 (350) = 280 \text{ Kg/cm}^2$$

Compresión

$$f_p = 0.6 f'_{ci} = 0.6 (280) = 168 \text{ Kg/cm}^2$$

Tensión

$$f_p = \sqrt{f'_{ci}} = \sqrt{280} = 16.72 \text{ Kg/cm}^2$$

- En condiciones de servicio.

Compresión

$$f_p = 0.45 f'_c = 0.45 (350) = 157.5 \text{ Kg/cm}^2$$

Tensión

$$f_p = 1.6 \sqrt{f'_c} = 1.6 \sqrt{350} = 29.93 \text{ Kg/cm}^2$$

Acaro de prestuerzo

$$f_a = 0.7 f_{ar} = 0.7 (18 900) = 13 230 \text{ Kg/cm}^2$$

$$f = k f_a = 0.6 (13 230) = 10 584 \text{ Kg/cm}^2$$

$$F_a = Q_{sp} f_a = 0.929 (13 230) = 12 291 \text{ Kg}$$

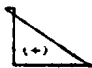
$$F = Q_{sp} f = 0.929 (10 584) = 9 833 \text{ Kg}$$

Acaro de refuerzo

$$f_p = 0.5 f_y = 0.5 (4 200) = 2 100 \text{ Kg/cm}^2$$

f) Capacidad del Prestuerzo.

$$k \sqrt{f'_{ci}}$$



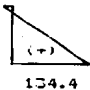
$$0.6 k f'_{ci}$$

$$0.6 k f'_{ci} = 0.6 (0.8) (280) = 134.4 \text{ Kg/cm}^2$$

$$k \sqrt{f'_{ci}} = 0.8 \sqrt{280} = 13.39 \text{ Kg/cm}^2$$

g) Análisis de la Capacidad del Prestuerzo y de los Esfuerzos en Condiciones de Servicio.

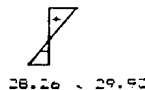
13.39



59.74



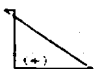
46.25 + 157.5



26.26 < 29.93

Como los esfuerzos actuantes son menores que los permisibles, se acepta la sección y se reduce ligeramente el diagrama de prestuerzo.

13



133

*

h) Determinación de la Fuerza de Prestuerzo Teórica.

$$P_t = A_{se} \cdot f_{ymin} \left(\frac{f_{ps} + f_{pl}}{n} \right) = \frac{f_{ps} \cdot A_{se}}{n}$$

$$P_t = 2670 \cdot \left[\frac{13.7}{51} \left(\frac{13 + 133}{51} \right) - 13 \right] = \frac{70000}{51} = 70000 \text{ Kg.}$$

i) Número de Tendones.

$$N = \frac{F}{F_t} = \frac{70000}{9833} = 7.12$$

Se proponen 8 tendones.

j) Prestuerzo Real.

$$F_r = N \cdot F_t = 8 \cdot 9833 = 78664 \text{ Kg.}$$

N) Obtención de ϵ_t .

$$\epsilon_t = \frac{f_{as}}{F_t Y_{iss}} \left(f_{pi} - \frac{F_t}{A_{ss}} \right)$$
$$\epsilon_t = \frac{589.987}{70.000 \times 37.3} \left(133 - \frac{70.000}{2.670} \right) = 24.13 \text{ cm}$$

I) Colocación de los Tendones.

$$S_1 = 3 \vartheta = 3 (1.27) = 3.81 \text{ cm} \implies 4 \text{ cm}$$

$$S_t = S_1 + \vartheta = 3.81 + 1.27 = 5.08 \text{ cm} \implies 5 \text{ cm}$$

$$r_1 = 2 \text{ cm} \implies 2 \text{ cm}$$

$$r_t = r_1 + \vartheta/2 = 2 + 1.27/2 = 2.63 \text{ cm} \implies 3 \text{ cm}$$

$$80 \% N = 0.8 (8) = 6.4 \implies 6$$

$$20 \% N = 0.2 (8) = 1.6 \implies 2$$

m) Obtención de ϵ_r .

$$\epsilon_r = Y_{iss} - \epsilon_t$$

$$\epsilon_r = 37.3 - 24.13 = 13.17 \text{ cm}$$

Para obtener "r"

$$2 (3) + 1 (8) = 2r$$

$$r = \frac{6 + 8}{3} = 4.67 \text{ cm}$$

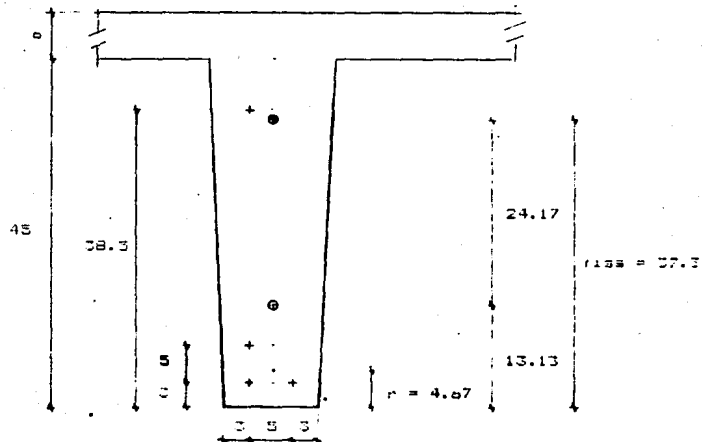
Por momentos estáticos:

$$2 (3) + 1 (8) + 1 y = 4 (13.17)$$

$$y = 4 (13.17) - 2 (3) - 1 (8) = 36.68 \text{ cm} \implies 38.5 \text{ cm}$$

$$\epsilon_r = \frac{2 (3) + 1 (8) + 1 (38.5)}{4} = 13.13 \text{ cm}$$

$$\epsilon_r = Y_{iss} - \epsilon_r = 37.3 - 13.13 = 24.17 \text{ cm}$$



n) Revisión por Esfuerzos Permisibles.

- Inmediatamente después de la transferencia de los esfuerzos (en los apoyos).

Sección B - B.

$$F_0 = N F_0 = 2 + 12.291 = 96.328 \text{ kN}$$

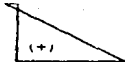
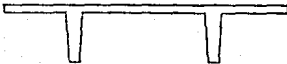
$$f_1 = \frac{F_0}{A_{ss}} + \frac{F_0 \cdot \alpha r \gamma_{iss}}{\gamma_{iss}} = \frac{96.328}{2.670} + \frac{96.328 \cdot (24.17)}{589.987} (37.3)$$

$$= 187.08 \text{ kg/cm}^2$$

$$f_2 = \frac{F_0}{A_{ss}} - \frac{F_0 \cdot \alpha r \gamma_{iss}}{\gamma_{iss}} = \frac{96.328}{2.670} - \frac{96.328 \cdot (24.17)}{589.987} (13.7)$$

$$= - 18.36 \text{ kg/cm}^2$$

18.36 > 16.73



187.08 > 168

La sección no se acepta.

- En condiciones de servicio (al centro del claro).

Sección A - A

$$P = N \cdot F = 8 (9.813) = 78.664 \text{ kg.}$$

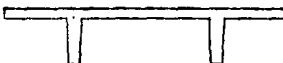
$$\frac{f_s}{A} = \frac{P}{Ass} + \frac{F_{\text{en Yiss}}}{I_{ss}} - \frac{\text{Mat}_{\text{Yiss}}}{I_{ss}}$$

$$\frac{78.664}{2.670} + \frac{78.664 (24.17)}{589.987} (37.3) - 162.66 = - 12.99 \text{ Kg/cm}^2$$

$$\frac{f_s}{A} = \frac{P}{Ass} - \frac{F_{\text{en Yiss}}}{I_{ss}} + \frac{\text{Mat}_{\text{Yiss}}}{I_{ss}}$$

$$\frac{78.664}{2.670} - \frac{78.664 (24.17)}{589.987} (13.7) + 59.74 = 45.05 \text{ Kg/cm}^2$$

45.05 < 167.5



12.99 < 29.93

La sección es correcta.

Para la sección B - B, en la cual $f_a > f_p$ existen algunas posibles soluciones, una de ellas es la de engrasar tornillos.

- engrasar los tendones en la parte extrema y tendores inferiores).

Se calcularan los esfuerzos con 6 tendones, engrasandose 2 tendones.

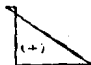
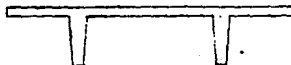
$$P_o = N F_c = \sigma \times 12.241 \text{ cm}^2 = 73.740 \text{ kg}$$

$$\sigma_r = r_{iss} - e_r = 37.3 - 14.83 = 22.47 \text{ cm}$$

$$\frac{f_s}{B} = \frac{P_o}{A_{ss}} + \frac{P_o \sigma_r}{I_{ss}} = \frac{73.740}{2.570} + \frac{73.740 (22.47)}{589.587} (37.3) \\ = 102.38 \text{ Kg/cm}^2$$

$$\frac{f_s}{B} = \frac{P_o}{A_{ss}} - \frac{P_o \sigma_r}{I_{ss}} = \frac{73.740}{2.570} - \frac{73.740 (22.47)}{589.587} (13.7) \\ = - 10.86 \text{ Kg/cm}^2$$

$$10.86 < 16.73$$



$$102.38 < 168$$

La sección es correcta.

∴ Se acepta por esfuerzos permisibles.

(ii) Revisión por Resistencia.

Se revisará la sección $H = H_0$.

- Obtención de M_u .

$$M_u = F.C. M_a = 1.4 (25.728) = 35.019 \text{ Kg-m}$$

- Obtención de M_{ur} .

* Obtención de f_{sp} .

$$f_c = 250 \text{ Kg/cm}^2 \\ f_o = 13.230 \text{ Kg/cm}^2$$

$$0.5 \text{ fse} = 0.5 \cdot (18.900) = 9.450 \text{ Kg/cm}^2$$

Como se cumplen ambas condiciones, entonces:

$$F_p = \frac{A_{sp}}{b \cdot d_{sp}} = \frac{8 \cdot 0.929}{250 \cdot (37.87)} = 0.000785$$

$$f_{sc} = 0.8 \cdot f_c = 0.8 \cdot (250) = 200 \text{ Kg/cm}^2 < 250 \text{ Kg/cm}^2$$

$$f'c = \left(1.05 - \frac{f_{sc}}{250} \right) f_{sc} = \left(1.05 - \frac{200}{250} \right) 250 = 231.25 \text{ Kg/cm}^2$$

$$f_{sp} = fse \cdot [1 - 0.5 \cdot (F_p \cdot fse / f'c)]$$

$$f_{sp} = 18.900 \cdot [1 - 0.5 \cdot (0.000785 \cdot (18.900) / 231.25)]$$

$$f_{sp} = 18.293.79 \text{ Kg/cm}^2$$

Suponiendo que la sección trabaja como rectangular:

$$a = \frac{A_{sp} \cdot f_{sp}}{b \cdot f'c} = \frac{7.432 \cdot (18.293.79)}{250 \cdot (231.25)} = 2.35 \text{ cm}$$

$$a = 2.35 \text{ cm} \quad t = 6 \text{ cm}$$

La sección trabaja como rectangular.

Entonces:

$$M_{ur} = F.R. \cdot A_{sp} \cdot f_{sp} \cdot d_{sp} = a \cdot z / 2 + 3$$

$$M_{ur} = 0.9 \cdot 7.432 \cdot (18.293.79) \cdot (37.87 - 2.35 / 2) + 3$$

$$M_{ur} = 4.490.129 \text{ Kg-cm} \quad M_{ua} = 3.601.900 \text{ Kg-cm}$$

••• La sección se acepta por resistencia.

c) Revisión de la Falla Potencial.

Como "a" se obtuvo en el inciso anterior:

$$c = a \cdot \sqrt{0.8} = 2.35 \cdot \sqrt{0.8} = 2.94 \text{ cm}$$

$$\epsilon_{sp} = \frac{0.003 \cdot d_{sp} - c}{c} = \frac{0.003 \cdot (37.87 - 2.94)}{2.94} = 0.03584$$

$$\epsilon_1 = \frac{0.7 \cdot fse}{E_{sp}} = \frac{0.7 \cdot (0.8) \cdot (18.900)}{19.000.000} = 0.00557$$

$$\frac{\epsilon_{yp}}{0.75} = \frac{0.01}{0.75} = 0.013$$

$$\epsilon_1 + \epsilon_{sp} = 0.00557 + 0.01354 = 0.04111$$

$$\epsilon_1 + \epsilon_{sp} = 0.04111 \rightarrow \frac{\epsilon_{yp}}{0.75} = 0.013$$

∴ La falla potencial es ductil y cumple con el reglamento.

p) Revision por Acero Minimo.

Se debe cumplir:

$$M_{ur} = 1.2 \text{ Magriet.}$$

$$M_{ur} = 44.901 \text{ kg-cm} = 44.901 \text{ Ton-m}$$

$$\text{Magriet} = \frac{\left(\frac{2}{3} \sqrt{f'_c} + \frac{P}{A_{SE}} + \frac{P_e \cdot r_{iss}}{I_{iss}} \right) I_{iss}}{Y_{iss}}$$

$$\text{Magriet} = \frac{\left(\frac{2}{3} \sqrt{350} + \frac{75.864}{2.570} + \frac{78.864 \cdot (24.17)}{369.997} \cdot 37.37 \right) 587.997}{37.37}$$

$$\text{Magriet} = 2.959.193 \text{ kg-cm} = 29.59 \text{ Ton-m}$$

$$1.2 \text{ Magriet} = 1.2 \cdot 29.59 = 35.51 \text{ Ton-m}$$

Se concluye que:

$$M_{ur} = 44.901 \text{ Ton-m} > 1.2 \text{ Magriet} = 35.51 \text{ Ton-m}$$

∴ Cumple con el acero minimo.

q) Revision por Izado.

Para realizar esta revision, se supondrian los ganchos de izado colocados a 1.5 m de cada extremo, entonces el momento en la seccion C - C es:

$$M_{appc} = \frac{W_{ppc} \cdot e^2}{2} = \frac{541 \cdot (1.5)^2}{2} = 721.13 \text{ kg-mm}$$

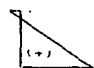
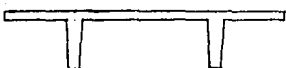
$$f_s = \frac{P_o}{A_{ss}} - \frac{P_o e}{I_{ss}} \cdot Y_{SS} - \frac{M_{appc}}{I_{ss}} \cdot Y_{SS}$$

$$\frac{73.748}{2.570} - \frac{73.748 (22.47)}{589.987} (13.7) - \frac{72.113 (13.7)}{589.987} = - 12.55 \text{ Kg/cm}^2$$

$$f_t = \frac{P_o}{A_{ss}} + \frac{P_o e}{I_{ss}} \cdot Y_{SS} + \frac{M_{appc}}{I_{ss}} \cdot Y_{SS}$$

$$\frac{73.748}{2.570} + \frac{73.748 (22.47)}{589.987} (37.3) + \frac{72.113 (37.3)}{589.987} = 136.94 \text{ Kg/cm}^2$$

$$12.55 < 16.72$$



$$136.94 > 16.8$$

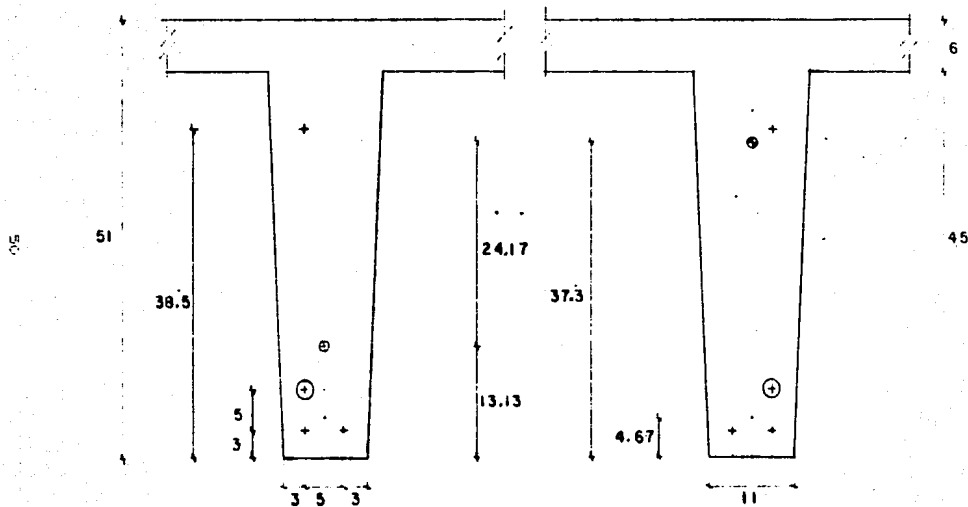
Como la sección es aceptable, no es necesario hacer ningún tipo de refuerzo adicional.

∴ El elemento se acepta por izado.

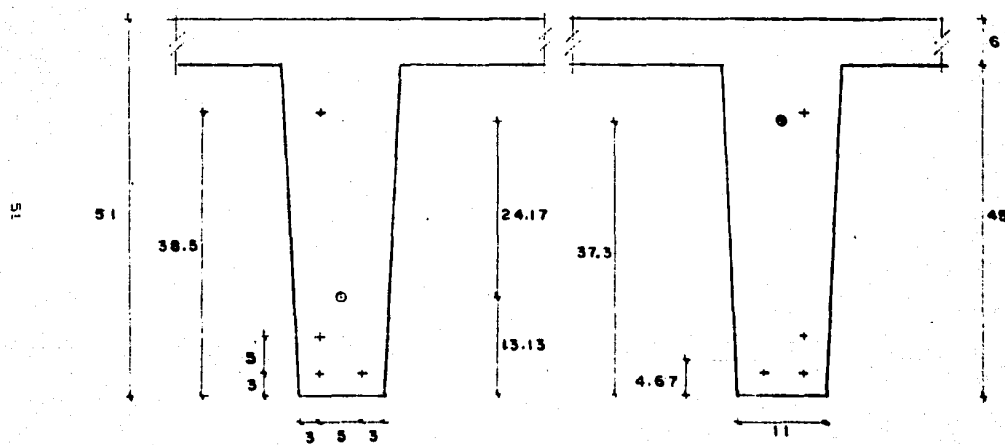
Con esta revisión se concluye el diseño por fijación del elemento, por lo que se resume que la sección es aceptable ya que cumple con todas las disposiciones del reglamento.

Faltan algunos diseños, tales como el diseño con cortante, el diseño de los extremos; pero estos salen del alcance y objetivos de esta tesis.

SECCION B



SECCION A

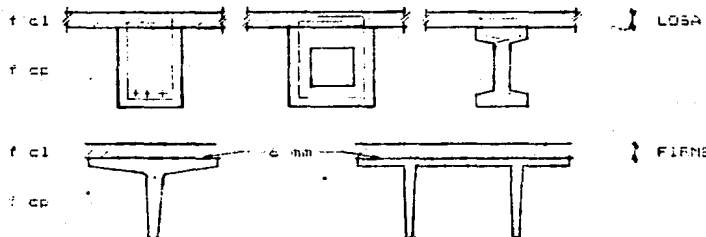


II.2 Secciones Compuestas.

A) Definitions:

Sección Compuesta es la formada por la combinación de un elemento prefabricado, de concreto colado en el lugar; es decir, que se fabrica en dos o mas etapas, tienen 2 o mas tipos de concreto. Además de que las partes integrantes deben estar interconectadas de manera que actúen como una unidad.

Sección Compuesta = Sección Simple + firmes
ligeras



Digitized by srujanika@gmail.com

- * Al momento del colado del firme o de la losa, la superficie de contacto de la parte prefabricada debe estar limpia, libre de polvo y humeda al menos 24 hrs. antes del colado y debe presentar una rugosidad de al menos 6 mm de profundidad.
 - * Debe tener los conectores requeridos, con el anclaje adecuado en ambos lados, id. (revisión por rasante).

B) Procedimiento.

Como se trata de la combinación de concreto colado en el lugar, y de un elemento prefabricado; este último se escoge, al igual que en sección simple, del catálogo del ANIFPAC.

Asimismo, se determinan la calidad de los materiales para cada etapa.

Concreto

$$f_{cp} = \begin{cases} 250 \text{ kg/cm}^2 \\ 400 \text{ kg/cm}^2 \end{cases} \quad \text{elemento prefabricado}$$

$$f_{cf} = f_{cl} = 250 \text{ kg/cm}^2 \quad \text{firme o losa}$$

Acero de Refuerzo

$$f_{sr} = \begin{cases} 270 \text{ k} \\ 250 \text{ k} \end{cases}$$

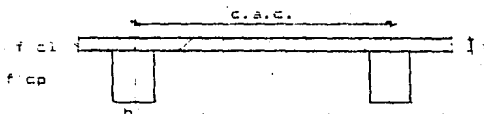
Acero de Refuerzo

$$f_y = 4.200 \text{ kg/cm}^2$$

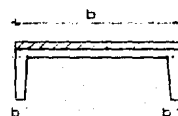
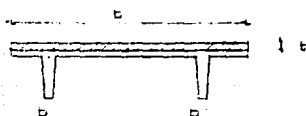
Para la obtencion de las caracteristicas geometricas, es necesario definir primero el ancho "b" ; el cual està dado por:

$$b = \begin{cases} 1.5 t + b \\ c.a.c. \\ 1/4 \end{cases}$$

debiéndose tomar el menor de esos valores.

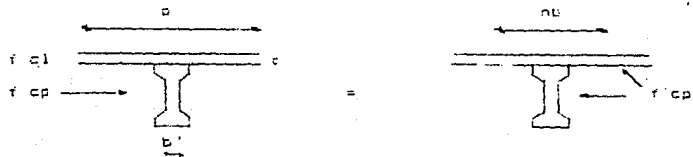


Para otros tipos de secciones:



Cuando el ancho del alma "b" sea variable, se tomara el ancho promedio.

Siendo casi siempre en sección compuesta los concretos f_{ckl} y f_{csp} son diferentes, entonces, el valor de "n" se reduce a un valor "nb", sección transformada, en el que:



$$n = \frac{f_{ckl}}{f_{csp}} \quad (\text{Ec. II.3e})$$

Si ambos concretos son clase I:

$$n = \frac{14,000 \sqrt{f_{ckl}}}{14,000 / f_{csp}} = 1$$

Para obtener en forma sistemática las características geométricas de la sección compuesta, nos podemos auxiliar de la siguiente tabla:

ELEMENTO	A	y	Ay	d	d	Ad	I
Sección Simbólica	A_{ss}	y_{iss}					I_{ss}
losa o firme	$nb \cdot t$	$\frac{n+t}{2}$					$\frac{1}{12} nb \cdot t^3$
	Hec		ΣAy			ΣAd	ΣI

de la cual:

$$Y_{ISC} = \frac{\sum A_y}{A_{SC}} \quad (\text{Ec. II.37})$$

$$Y_{SSC} = h + t - Y_{ISC} \quad (\text{Ec. II.38})$$

$$I_{SC} = \sum A_d^2 + \sum I \quad (\text{Ec. II.39})$$

$$A_{SC} = A_{SS} + n_0 t \quad (\text{Ec. II.40})$$

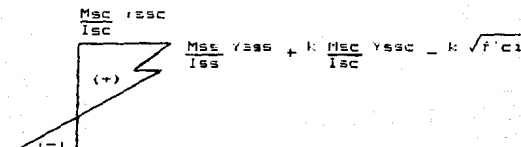
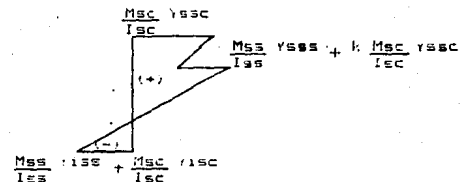
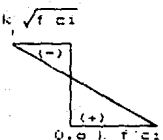
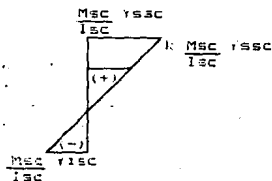
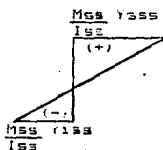
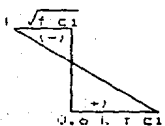
Al igual que en sección simple: en sección compuesta se analizarán las etapas de carga por las que atraviesa el elemento.

- 1a. Etapa El elemento se encuentra en la mesa de tensado.
Acciones: P_o , $P_o e$
Materiales: $f_{c1} = 0.9 f_c$, P_o
Condiciones de Frontera: Viga totalmente apoyada.
- 2a. Etapa El elemento es izado de la mesa de tensado al lugar de almacenamiento.
Acciones: W_{pp} , P_o , $P_o e$
Materiales: $f_{c1} = 0.8 f_c$, P_o
Condiciones de Frontera: Viga en doble voladizo.
- 3a. Etapa Durante el almacenamiento.
Acciones: W_{pp} , P_o , $P_o e$
Materiales: f_{c1} , F_c
Condiciones de Frontera: Viga simplemente apoyada.
- 4a. Etapa Izado para su transportación a la obra.
(Igual que en la 2a. etapa).
- 5a. Etapa Izado para su colocación en la obra.
(Igual que en la 2a. etapa).
- 6a. Etapa Colocado en sus apoyos definitivos.
Acciones: W_{pp} , P_o , $F_c e$
Materiales: f_{c1} , P_o
Condiciones de Frontera: Viga simplemente apoyada.

En la anterior gráfica, se observa que las primeras etapas son iguales a las de la sección simple, por lo que la etapa de trapezoidal se revisará en la misma forma a como se hizo en sección simple.

A partir de la 7a. etapa el elemento empieza a trabajar como una sección compuesta y se debe tener en cuenta, en el diseño, que las características geométricas deben ser las correspondientes a las de este tipo de sección.

Análisis de la Sección Crítica A.



$$0.6 * k * f * ci = \frac{1}{I_{sec}} [Msc * Ysec - Msc * Ysec]$$

$$\frac{f_s}{f_c} = \frac{M_{sc} \cdot I_{sc}}{I_{sc}} \leq 0.45 f_c \text{ (Ec. II.41)}$$

$$\frac{f_s}{f_c} = \frac{M_{sc} \cdot I_{sc} + k \frac{M_{sc} \cdot I_{sc}}{I_{sc}} + \sqrt{f_c c_1}}{I_{sc}} \leq 0.45 f_c \text{ (Ec. II.42)}$$

$$\frac{f_s}{f_c} = 0.6 k + c_1 - \left(\frac{M_{sc} \cdot I_{sc} + M_{sc} \cdot I_{sc}}{I_{sc}} \right) \leq 1.0 \sqrt{f_c c_1} \text{ (Ec. II.43)}$$

Con lo anterior se revisa que los esfuerzos actuantes no sobrepasen a los permisibles. El numero y colocacion de los tendones se realiza como se vio en sección simple, ya que los tendones se encuentran en el elemento prefabricado.

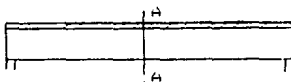
Asimismo, se realizan las revisiones por resistencia, por tipo de falla, por acero minimo y la revision por icodo que es la misma a la realizada en sección simple, ya que en esta etapa el elemento aun no trabaja como sección compuesta.

Revisión por Resistencia de Secciones Compuestas.

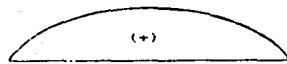
Se debe verificar que:

$$M_{ur} \leq M_{ua}$$

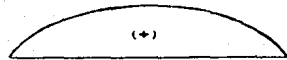
Primeramente se obtienen los diagramas de momento flexionante:



Mass
A



Masc
A



Entonces:

$$M_{ua} = F.C. [Mass + Masc]$$

$$A \quad A$$

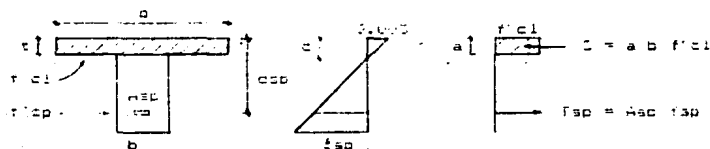
La cotención de Mur depende del tipo de sección transversal, y de la sección que trabaja (rectangular o como "T").

Vigas de sección Rectangular.

Se pueden encontrar dos casos:

- Cuando la sección trabaja como rectangular $a \leq t$
- Cuando la sección trabaja como "T" $a > t$

Caso 1. La sección trabaja como rectangular $a \leq t$.



$$C = f'_{sp} \cdot t \cdot l = 0.5 \cdot (F_p \cdot f'_{sr} + f''_{cl}) \cdot l$$

Del reglamento RCDR-87:

$$f'_{sp} = f'_{sr} \cdot C / l = 0.5 \cdot (F_p \cdot f'_{sr} + f''_{cl}) / l$$

donde:

$$P_d = \frac{A_{sd}}{b \cdot c_{sd}}$$

entonces:

$$a = \frac{A_{sd} \cdot f'_{sp}}{0.5 \cdot f''_{cl}}$$

Si $a \leq t$, entonces la sección trabaja como rectangular, y:

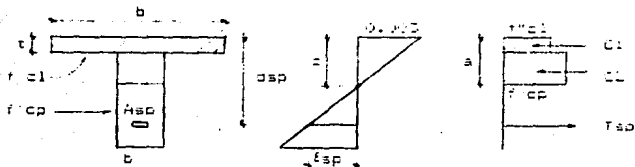
$$M_{ur} = F.R. \cdot C \cdot H_{sd} \cdot f'_{sp} \cdot (d_{sp} - a / 2) / l$$

Que es la misma ecuación a la obtenida en II.20, pero con la diferencia de que el concreto utilizado para obtener "a" debe ser f''_{cl} .

Después de obtener M_{ur} , ésta se compara contra M_{da} :

Si $M_{da} > M_{ur}$ se tiene que aumentar la sección.
Si $M_{da} \leq M_{ur}$ la sección es aceptada.

CASO 1. La sección trabajada como "T" es la figura.



$$C_1 = t \cdot b \cdot f_{c1} \\ C_2 = (a - t) \cdot b \cdot f_{cp} \\ T_{sp} = A_{sp} \cdot f_{sp}$$

(Ec. II.44)

$$T_{sp} = C_1 + C_2 \\ A_{sp} \cdot f_{sp} = t \cdot b \cdot f_{c1} + (a - t) \cdot b \cdot f_{cp}$$

$$f_{sp} = f_{cp} \cdot t \cdot 1 - 0.5 \cdot f_{cp} \cdot f_{cp} / f_{cp}^{2} \text{ prom } \times 3$$

(Ec. II.45)

$$F_p = \frac{A_{sp}}{b \cdot d_{sp}}$$

$$f_{cp}^{2} \text{ prom } = \frac{f_{c1}^2 + f_{cp}^2}{2}$$

(Ec. II.46)

$$a = A_{sp} \cdot t_{sp} = t \cdot b \cdot f_{c1} + t$$

(Ec. II.47)

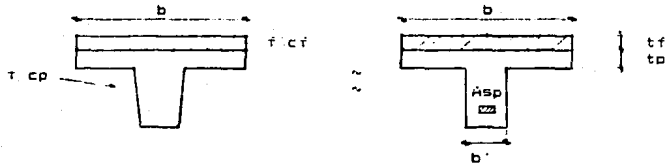
$$\text{Mun} = \text{F.R.} \left[C_1 \left(d_{sp} - \frac{t}{2} \right) + C_2 \left(d_{sp} - t - \frac{a - t}{2} \right) \right]$$

(Ec. II.48)

Vigas de sección "T".

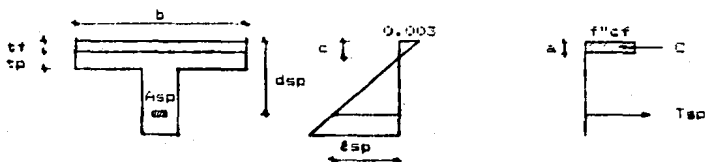
Podemos encontrar tres casos:

- * Trabaja únicamente el firme.
- * Trabaja el firme y el patín de la "T".
- * trabaja el firme, el patín y el alma de la "T".



En casos como el anterior (al igual que en sección simple) se toma una sección equivalente, y para obtener el ancho " b' " se hace un promedio de los anchos del alma.

CASO 1. Sección en la que traeza solo el firme ($a \leq tf$).



$$C = a b' f' c f \\ Tsp = Asp fsp$$

$$C = Tsp \\ a b' f' c f = Asp fsp$$

despejando:

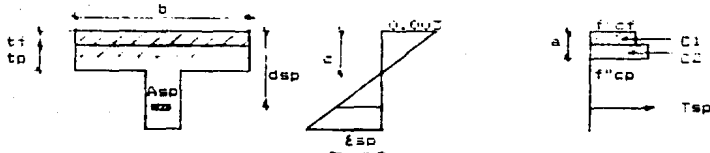
$$a = \frac{Asp fsp}{b' f' c f}$$

Si $a \leq tf$, entonces:

$$M_{ur} = F.R. [Asp fsp + dsp - a / 2]$$

Esta ecuación es igual a la obtenida para vigas de sección rectangular que trabajan como rectangulares.

CASO 2. Sección en la que trabaja el firme y el patín de la "T" ($t_f + t_a \leq t_f + t_p$).



$$C_1 = t_f \cdot b \cdot f'' \cdot c_f \quad (\text{Ec. II.49})$$

$$C_2 = (a - t_f) \cdot b \cdot f'' \cdot c_p \quad (\text{Ec. II.50})$$

$$Tsp = Asp \cdot fsp$$

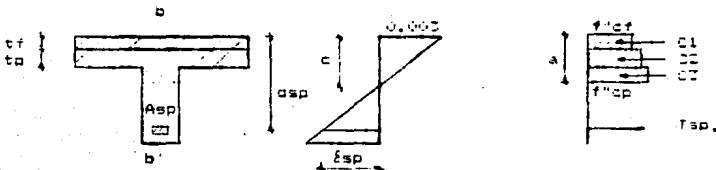
$$Tsp = C_1 + C_2$$

$$Asp \cdot fsp = t_f \cdot b \cdot f'' \cdot c_f + (a - t_f) \cdot b \cdot f'' \cdot c_p$$

$$a = \frac{Asp \cdot fsp - t_f \cdot b \cdot f'' \cdot c_f}{b \cdot f'' \cdot c_p} + t_f \quad (\text{Ec. II.51})$$

$$\text{Mun} = F.R. \left[C_1 \left(\text{dsp} - \frac{t_f}{2} \right) + C_2 \left(\text{dsp} - t_f - \frac{a - t_f}{2} \right) \right] \quad (\text{Ec. II.52})$$

CASO 3. Sección en la que trabajan el firme, el patín y el alma de la "T" ($a > t_f + t_p$).



$$C_1 = t_f \cdot b \cdot f'' \cdot c_f$$

$$C_2 = t_p \cdot b \cdot f'' \cdot c_p$$

$$C_3 = [a - (t_f + t_p)] \cdot b \cdot f'' \cdot c_p \quad (\text{Ec. II.53})$$

$$Tsp = Asp \cdot fsp$$

$$Tsp = C1 + C2 + C3$$

$$Asp \ f_{sp} = tf \ b \ f'cf + tp \ b \ f'cp + [a - (tf + tp)] b \ f'cp$$

despejando " a " :

$$a = \frac{Asp \ f_{sp} - tf \ b \ f'cf - tp \ b \ f'cp}{b \ f'cp} + (tf + tp) \quad (\text{Ec. II.53})$$

entonces:

$$\begin{aligned} Mur &= F.R. \left[C1 \left(\frac{asp - tf}{2} \right) + C2 \left(\frac{asp - tf - tp}{2} \right) \right. \\ &\quad \left. + C3 \left(\frac{asp - tf - tp - a - tf - tp}{2} \right) \right] \quad (\text{Ec. II.55}) \end{aligned}$$

Debe tenerse cuidado al utilizar cualquiera de las formulas obtenidas para revisar por resistencia, en el tipo de sección de que se trate, y también del área de la sección que está trabajando: en el ancho " b " o " b' " y además el tipo de concreto utilizado en dicha sección.

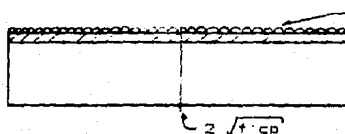
Las revisiones por tipo de falla y por diseño, se realizan en la misma forma a como se obtuvo para secciones simples, por lo que ya no se detallará en esta sección.

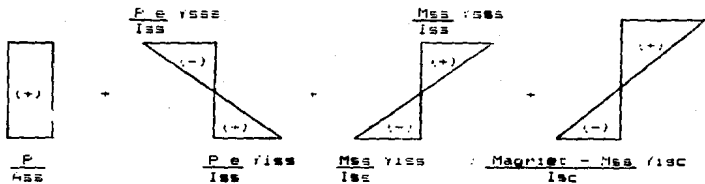
Revisión por Acero Mínimo

Se debe verificar que:

$$Mur \leq 1.2 \text{ Magriet.}$$

El momento Mur obtenido anteriormente, no debe ser mayor que un valor especificado por el reglamento RCDFA-87.





$$f_i = \frac{P_e}{A_{ss}} + \frac{P_e \cdot Y_{iss}}{I_{ss}} - \frac{M_e \cdot Y_{iss}}{I_{ss}} - \frac{(Magriet - M_{ss}) \cdot Y_{iss}}{I_{ss}} = 2 \sqrt{f_c p}$$

despejando Magriet:

$$Magriet = \frac{\left(2 \sqrt{f_c p} + \frac{P_e}{A_{ss}} + \frac{P_e \cdot Y_{iss}}{I_{ss}} - \frac{M_e \cdot Y_{iss}}{I_{ss}} \right) I_{ss}}{Y_{iss}} + M_{ss}$$

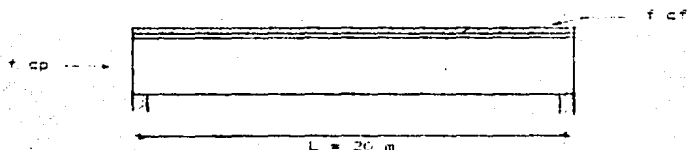
(Ec. II.57)

Con esta revisión se termina el diseño por esfuerzos permisibles para sección compuesta. Existen otros métodos para diseñar sección compuesta, tales como el método tradicional o el método con apuntalamientos; pero solo difieren en la obtención de los esfuerzos iniciales y el resto es semejante al expuesto, por lo que no se detallará más, ya que escapa a los objetivos de esta tesis.

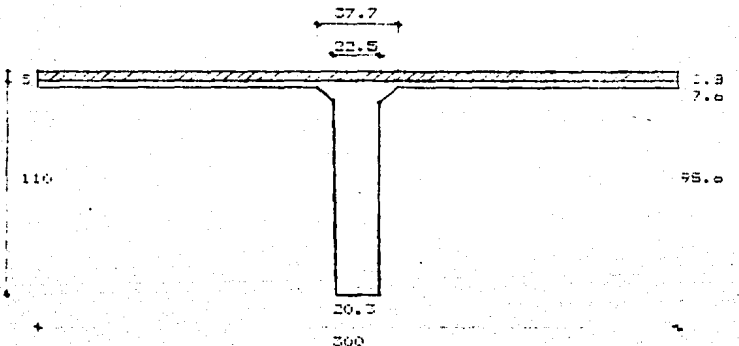
C) Ejemplo.

Diseñar el paso peatonal sobre una avenida principal, cuya sección transversal es una viga "T" de sección compuesta y sus datos son los siguientes:

$$\begin{aligned}W_{scm} &= 100 \text{ Kg/m}^2 \\W_{cv} &= 350 \text{ Kg/m}^2 \\f'_{cf} &= 250 \text{ Kg/cm}^2 \\f'_{cp} &= 350 \text{ Kg/cm}^2 \\f_{sr} &= 18\,900 \text{ Kg/cm}^2 \\f_y &= 4\,200 \text{ Kg/cm}^2 \\L &= 20 \text{ m} \\Toron &= \varnothing 1/2''\end{aligned}$$



Sección:



a) Características Geométricas.

Como se trata de una sección tipo, no es necesario recurrir a la tabla para obtener dichas características. Estas se obtienen del catálogo del Aluminio.

Sección Compuesta

$$\begin{aligned}A_{sc} &= 0.119 \text{ cm}^2 \\I_{sc} &= 0.104751 \text{ cm}^4 \\Y_{sc} &= 87.5 \text{ cm} \\r_{sc} &= 27.5 \text{ cm} \\W_{sc} &= 1.524 \text{ kg/cm}\end{aligned}$$

Sección Simple

$$\begin{aligned}A_{ss} &= 4.851 \text{ cm}^2 \\I_{ss} &= 310.562 \text{ cm}^4 \\Y_{ss} &= 81.0 \text{ cm} \\r_{ss} &= 29.0 \text{ cm} \\W_{ss} &= 1.164 \text{ kg/cm}\end{aligned}$$

b) Análisis de Cargas.

Sección Simple.

$$W_{ss} = 1.524 \text{ Kg/m}$$

$$M_{ss} = \frac{w_1 l^2}{8} = \frac{1.524 (20)}{8} = 76.200 \text{ Kg-m}$$

Sección Compuesta.

$$\begin{aligned}W_{sc} &= 100 (3) = 300 \\W_{ss} &= 350 (2) = 700 \\&\hline \\W_{sc+ss} &= 1.050 \text{ kg/cm}\end{aligned}$$

$$M_{sc+ss} = \frac{w_1 l^2}{8} = \frac{1.050 (20)}{8} = 67.500 \text{ Kg-m}$$

c) Esfuerzos Actuantes.

Sección Simple.

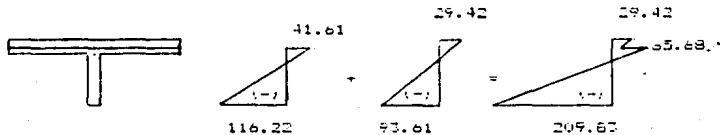
$$f_t = \frac{M_{ss}}{I_{ss}} Y_{ss} = \frac{76.200 (1.000)}{310.562} (81) = -116.22 \text{ kg/cm}^2$$

$$f_s = \frac{M_{sc+ss}}{I_{sc+ss}} Y_{sc} = \frac{67.500 (1.000)}{310.562} (29) = -41.51 \text{ kg/cm}^2$$

Sectiⁿn Compuesta.

$$f_1 = \frac{\text{Masa} \cdot Y_{sec}}{I_{sc}} = \frac{97.500 \cdot (1000)}{5.204.752} (27.5) = 29.61 \text{ Kg/cm}^2$$

$$f_2 = \frac{\text{Masa} \cdot Y_{sec}}{I_{sc}} = \frac{97.500 \cdot (1000)}{5.204.752} (27.5) = 29.42 \text{ Kg/cm}^2$$



$$\frac{29.42}{Y_{sec}} = \frac{t}{Y_{sec} - S}$$

$$f = \frac{t_{sec} - S}{Y_{sec}} = \frac{(27.5 - 5) \cdot 29.42}{27.5} = 27.07 \text{ Kg/cm}^2$$

d) Esfuerzos Permisibles.

Concreto

- Inmediatamente despu^ss de la transferencia.
 $f'_{ci} = 0.8 f'c = 0.8 (280) = 224 \text{ Kg/cm}^2$

Compre^sion

$$f_p = 0.6 f'_{ci} = 0.6 (224) = 134.4 \text{ Kg/cm}^2$$

Tensiⁿ

$$f_p = \sqrt{f'_{ci}} = \sqrt{224} = 14.96 \text{ Kg/cm}^2$$

- En condiciones de servicio.

Compre^sion

$$f_p = 0.45 f'c = 0.45 (280) = 157.5 \text{ Kg/cm}^2$$

Tensiⁿ

$$f_p = 1.6 f'c = 1.6 \cdot 280 = 448 \text{ Kg/cm}^2$$

Acerro de pre^stfuerzo

$$f_0 = 0.7 f_{sr} = 0.7 (18.900) = 13.230 \text{ Kg/cm}^2$$

$$f = k f_0 = 0.8 (13.230) = 10.584 \text{ Kg/cm}^2$$

$$F_o = Q_{sc} f_o = 0.429 (10.220) = 12.291 \text{ kg}$$

$$F = Q_{sc} f = 0.929 (10.524) = 9.902 \text{ kg}$$

Aceros de refuerzo

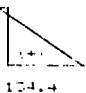
$$f_y = 0.5 f_t = 0.5 \cdot 4.200 = 2.100 \text{ kg/cm}^2$$

e) Capacidad del Prestesfuerzo en la Sección Simple.

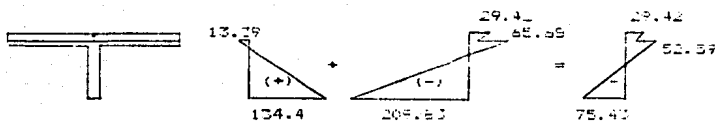
$$f_i = 0.6 f_t f_{ci} = 0.6 (0.8) (280) = 124.4 \text{ kg/cm}^2$$

$$f_s = \kappa / f_{ci} = 0.3 / 280 = 10.89 \text{ kg/cm}^2$$

13.39



f) Análisis de la Sección A.

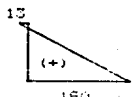


$$f_{s1} = 29.42 - 137.5$$

$$f_{s2} = 52.57 - 157.5$$

$$f_i = 75.43 - 247.5$$

Los esfuerzos inferiores superaban a los permisibles, por lo que es necesario aumentar el diámetro de prestesfuerzo y mantener la sección.



$$f_i = 180 - 209.83 = -29.83 \text{ kg/cm}^2$$

a) Determinación de la Fuerza de Prestazón Teórica.

$$P_t = A_{ss} \frac{f_y s_{as}}{h} \left(\frac{f_p s + f_p l}{h} \right) - \frac{f_p s}{h}$$

$$P_t = 4.651 \frac{1}{1} 29 \left(\frac{13 + 180}{110} \right) - \frac{13}{1} = 183.765 \text{ kg}$$

b) Número de Tendones.

$$n = \frac{P_t}{F} = \frac{183.765}{9.833} = 18.7 \text{ torones}$$

Se proponen 19 torones.

c) Prestazón Real.

$$P_r = 19 (9.833) = 186.927 \text{ kg}$$

d) Excentricidad Teórica.

$$e_t = \frac{l_{as}}{P_t Y_{SS}} \left(f_p l - \frac{P_t}{A_{ss}} \right)$$

$$e_t = \frac{5.310.592}{183.765 (81)} \left(180 - \frac{183.765}{4.651} \right) = 50.70 \text{ cm}$$

e) Colocación de los Tendones.

$$S_1 = 3.0 = 3 (1.27) = 3.81 \text{ cm} \quad \Rightarrow 4 \text{ cm}$$

$$S_2 = S_1 + \delta = 3.81 + 1.27 = 5.08 \text{ cm} \quad \Rightarrow 5 \text{ cm}$$

$$r_1 = 2.5 \text{ cm} \quad \Rightarrow 2.5 \text{ cm}$$

$$r_2 = r_1 + \delta/2 = 2.5 + 1.27/2 = 3.14 \text{ cm} \quad \Rightarrow 3.5 \text{ cm}$$

$$80 \% N = 0.8 (19) = 15.2 \quad \Rightarrow 15$$

$$20 \% N = 0.2 (19) = 3.8 \quad \Rightarrow 4$$

II) Obtención de r .

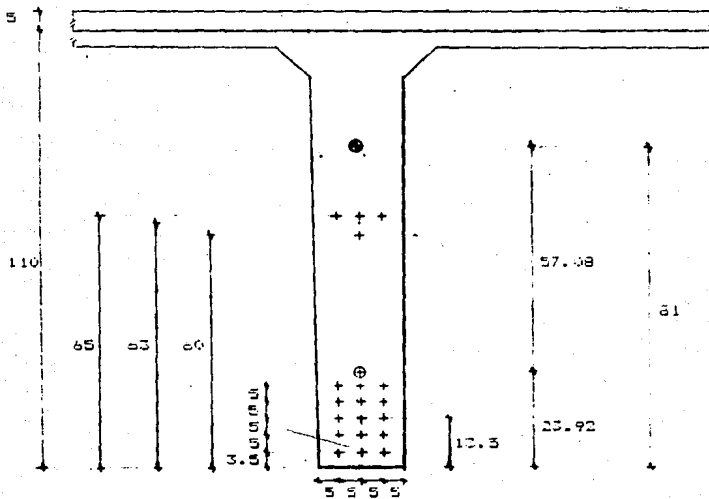
$$e \cdot t = r \cdot s \cdot s = e \cdot t$$

$$e \cdot t = 81 - 50.7 = 30.3 \text{ cm}$$

Obteniendo "r"

$$S(5.5) + S(8.5) + S(10.5) + S(18.5) + S(23.5) = 15 \cdot r$$

$$r = \frac{S(5.5) + 8.5 + 10.5 + 18.5 + 23.5}{15} = 13.5 \text{ cm}$$



Por momentos estaticos:

$$3 \cdot (3.5 + 8.5 + 13.5 + 18.5) x + 4y = 15 \text{ (0.3)}$$

$$y = \frac{15 \cdot (0.3)}{4} = \frac{3 \cdot (3.5 + 8.5 + 13.5 + 18.5) + 23.5}{4} = 63 \text{ cm}$$

$$eir = \frac{3 \cdot (3.5 + 8.5 + 13.5 + 18.5) + 4 \cdot (63)}{19} = 23.92 \text{ cm}$$

$$er = Yiss - eir = 81 - 23.92 = 57.08 \text{ cm}$$

m) Revision por Esfuerzos Permisibles.

Esfuerzos debidos al prestuerzo.

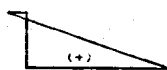
- Inmediatamente después de la transferencia a sección E /

$$F_0 = N F_0 = 19 \cdot (12.291) = 233.529 \text{ kg}$$

$$\begin{aligned} f_t &= \frac{F_0}{A_{ss}} + \frac{F_0 \cdot er}{I_{ss}} \\ &= \frac{233.529}{4.651} + \frac{233.529 \cdot (57.08)}{5.310.562} (\text{E1}) = 251.40 \text{ kg/cm}^2 \end{aligned}$$

$$\begin{aligned} f_s &= \frac{F_0}{A_{ss}} - \frac{F_0 \cdot er}{I_{ss}} \\ &= \frac{233.529}{4.651} - \frac{233.529 \cdot (57.08)}{5.310.562} (\text{E2}) = -24.65 \text{ kg/cm}^2 \end{aligned}$$

$$24.65 > 16.73$$



$$251.40 > 16.73$$

La sección no se acepta,
es necesario engrasar.

- En condiciones de servicio . Sección A / .

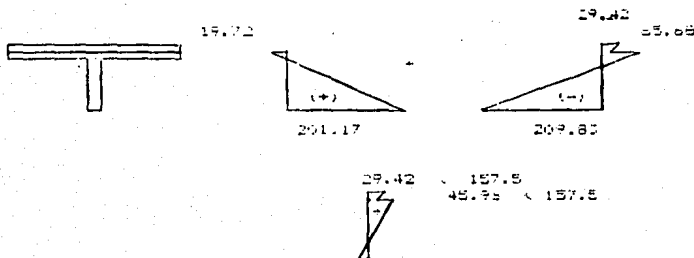
$$P = N F = 19 \times 9.817 = 186.827 \text{ Kg}$$

$$f_1 = \frac{P}{A_{ss}} + \frac{F_{ed} \cdot r_{iss}}{I_{ss}}$$

$$= \frac{186.827}{4.351} + \frac{186.827 \cdot 57.09 \cdot 81}{5.310.562} = 201.17 \text{ Kg/cm}^2$$

$$f_2 = \frac{P}{A_{ss}} - \frac{F_{ed} \cdot r_{iss}}{I_{ss}}$$

$$= \frac{186.827}{4.351} - \frac{186.827 \cdot 57.09 \cdot 129}{5.310.562} = -17.72 \text{ Kg/cm}^2$$



$$2.00 < 29.42$$

La sección se acepta.

Para la sección B se propone engrasbar torones en la parte inferior, para reducir los esfuerzos.

Engrasando 2 torones extremos en la parte inferior.

$$eir = \frac{3(3.5 + 8.5 + 13.5) + 4(1.63)}{12} = 25.27 \text{ cm}$$

$$er = r_{iss} - eir = 81 - 25.27 = 55.73 \text{ cm}$$

$$P_o = N F_o = 13 \times 12.291 = 169.783 \text{ Kg}$$

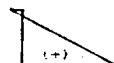
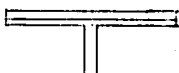
$$f_1 = \frac{P_o}{A_{se}} + \frac{P_o \cdot e_r \cdot Y_{iss}}{I_{se}}$$

$$= \frac{159.793}{4.851} + \frac{159.793 \cdot 55.73}{5.310.562} (81) = 168.76 \text{ Kg/cm}^2$$

$$f_2 = \frac{P_o}{A_{se}} - \frac{P_o \cdot e_r \cdot Y_{iss}}{I_{se}}$$

$$= \frac{159.793}{4.851} - \frac{159.793 \cdot 55.73}{5.310.562} (29) = -15.69 \text{ Kg/cm}^2$$

15.69 -16.73



$$168.73 = 168$$

La sección es correcta.

n) Revisión por Resistencia.

Se revisará la sección A - A.

- Obtención de Mu_a.

$$M_{ua} = F.C. \cdot I_{Mass_A} + I_{MasC_A}$$

$$= 1.4 \cdot (75.200 + 67.500) = 201.180 \text{ Kg} \cdot \text{m}$$

- Obtención de Mur.

+ Obtención de fp.

$$f_c = 250 \text{ Kg/cm}^2$$

$$0.5 f_{sr} = 0.5 \cdot 18.900 = 9.450 \text{ Kg/cm}^2$$

$$f_p = 13.230 \text{ Kg/cm}^2 > 0.5 f_{sr}$$

Como se cumplen ambas condiciones:

$$d_{sp} = h - r = 115 - 13.5 = 101.5 \text{ cm}$$

$$F_p = \frac{A_{sp}}{b \cdot d_{sp}} = \frac{19 \cdot (0.929)}{300 \cdot (101.5)} = 0.00056$$

$$f_{ccl} = 0.8 \quad f_{cc} = 0.8 \quad (350) = 280 \text{ kg/cm}^2$$

$$f_{rel} = 1.05 = f_{ccl} / 1250 + f_{cc}$$

$$= (1.05 - 280 / 1250) + 280 = 231.28 \text{ kg/cm}^2$$

$$f_{so} = f_{ar} \frac{1}{1} + 0.5 \frac{P_a f_{ar}}{f_{ccl} \frac{1}{1}}$$

$$f_{so} = 18\ 900 \frac{1}{1} + 0.5 (0.00058) \frac{18\ 900 \frac{1}{1}}{231.28 \frac{1}{1}} = 18\ 452 \text{ kg/cm}^2$$

Suponiendo que trabaja como rectangular:

$$a = \frac{A_{so} f_{so}}{0.75 f_{ccl}} = \frac{19\ 000 \cdot 18\ 452}{750 \cdot 231.28} = 4.69 \text{ cm}$$

$$a = 4.69 \text{ cm} \quad \therefore t = 5 \text{ cm}$$

••• trabaja como rectangular.

entonces:

$$\text{Mun} = F.R. \cdot A_{so} f_{so} \cdot (\text{esp} - a / 2) : 3$$

$$\text{Mun} = 0.9 \cdot 17.631 \cdot (18\ 452 \cdot (101.5 - 4.69 / 2)) : 3$$

$$\text{Mun} = 29\ 154\ 971 \text{ kg} \cdot \text{cm} = 290\ 650 \text{ kg} \cdot \text{m}$$

$$\text{Mun} = 290\ 650 \text{ kg} \cdot \text{m} \Rightarrow \text{Mua} = 201\ 180 \text{ kg} \cdot \text{m}$$

••• La sección se acepta por resistencia.

b) Revision de la Falla Potencial.

Con "a" obtenida en el inciso anterior:

$$c = \frac{a}{0.3} = \frac{4.69}{0.3} = 15.66 \text{ cm}$$

$$\epsilon_{sp} = \frac{0.002 \cdot (A_{so} + c)}{c} = \frac{0.002 \cdot (101.5 + 5.86)}{5.86} = 0.04875$$

$$\epsilon_1 = \frac{0.7 \cdot K_f \cdot f_{ar}}{E_{so}} = \frac{0.7 \cdot (0.8) \cdot (18\ 900)}{1\ 900\ 000} = 0.00557$$

$$\frac{\epsilon_{sp}}{0.75} = \frac{0.01}{0.75} = 0.013$$

$$\epsilon_{\infty} + \epsilon_1 = \frac{\epsilon_{\infty}}{0.75}$$

$$2,242,228 + 2,292,657 = 4,534,885$$

Q₁ Q₂ Q₃ Q₄ Q₅

∴ La falla potencial es ductil

O. Revision por Aserc Minimo.

Die dritte Sonderlinie geht:

Mur en 1.2 Magnet.

$$M_{\text{eff}} = 280 \times 30 \text{ kg} = m = 299.93 \text{ Ton} = m$$

$$\text{Magnet} = \frac{\frac{1}{2} \sqrt{300} + \frac{1}{2} \times \frac{1}{2} \times \text{loss}}{\text{loss}} - \frac{\text{MSE loss}}{\text{loss}} - \frac{\text{Isc}}{\text{loss}}$$

$$= \frac{\frac{1}{2} \sqrt{300} + 186.827 \cdot 0.7 \cdot 0.4}{4.251} - \frac{186.827}{10.562} -$$

$$= \frac{186.827 \cdot 0.61}{4.251} - \frac{186.827}{10.562} -$$

$$= \frac{112.200 \cdot 0.61}{4.251} - 18.097 \text{ V}$$

$$= 5.310.562 \text{ A} + 7.620.000$$

Magnitudo = 16.443 553 mag = 5.0 = 104.44 Tegn = m

$$1.2 \text{ Magniat} = 1.2 (154.44) = 187.32 \text{ Ton} = 0$$

1. 2000-2001
2. 2001-2002
3. 2002-2003
4. 2003-2004
5. 2004-2005
6. 2005-2006
7. 2006-2007
8. 2007-2008
9. 2008-2009
10. 2009-2010
11. 2010-2011
12. 2011-2012
13. 2012-2013
14. 2013-2014
15. 2014-2015
16. 2015-2016
17. 2016-2017
18. 2017-2018
19. 2018-2019
20. 2019-2020

∴ La sección cumple con el acero mínimo.

2. Revision per lesson.

Se suponen ganchos de izado a 1.5 m de cada extremo, con lo cual, el momento en la sección C - C es:

$$M_{\text{acc}} = \frac{w_{\text{po}} a}{g} = \frac{1 - 154 / (1.5)}{9.81} = 1307 \text{ Kg} = m$$

MAPS = 130 350 K = 50

Como se van anotando los errores, se revisara únicamente con los 10 restantes.

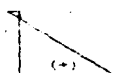
$$T_s = \frac{P_o}{M_{ss}} + \frac{P_{o,e} Y_{ss}}{I_{ss}} + \frac{M_{ss,e}}{I_{ss}}$$

$$\frac{157.782}{4.851} + \frac{157.782 (56.72)}{5.071.562} (21) + \frac{120.520 (102)}{5.071.562} = 159.73 \text{ N/mm}$$

$$ts = \frac{P_o}{M_{ss}} - \frac{P_{o,e} Y_{ss}}{I_{ss}} - \frac{M_{ss,e}}{I_{ss}}$$

$$\frac{157.782}{4.851} - \frac{157.782 (56.72)}{5.071.562} (29) - \frac{120.520 (102)}{5.071.562} = 15.40 \text{ N/mm}$$

$$15.40 < 15.73$$

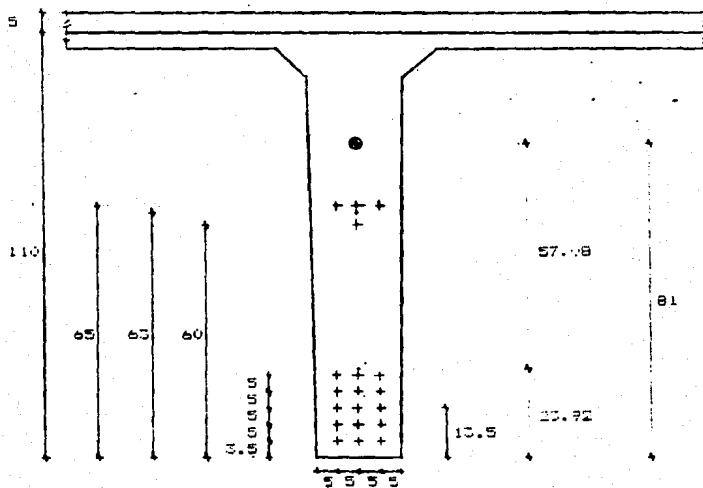


$$170.72 = 158$$

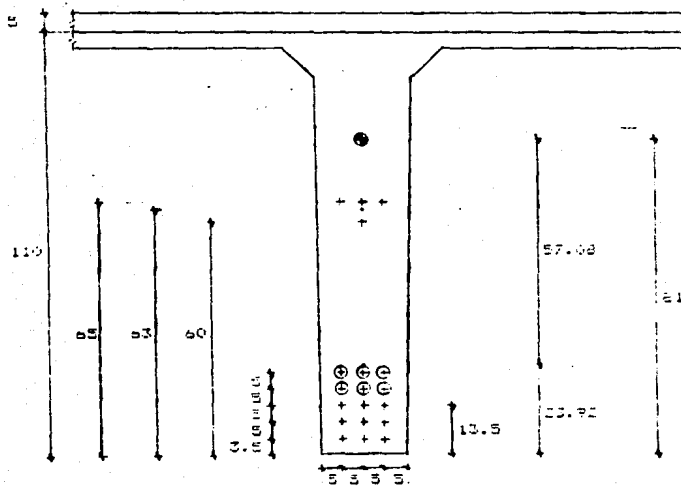
∴ La sección es correcta.

Con esta revisión se concluye el diseño por flexión de la sección compuesta, concluyéndose que la sección propuesta es aceptable, ya que cumple con las disposiciones del RUDF-87.

S E C C I O N A



S E C C I O N B



ESTA TESIS NO DEBE
SALIR DE LA BIBLIOTECA

III CRITERIO DE DISEÑO POR RESISTENCIA

III.1 Secciones Simples.

- A) Procedimiento.
- B) Ejemplo.

III.2 Secciones Compuestas.

- A) Procedimiento.
- B) Ejemplo.

III.1 Secciones Simples.

A) Procedimiento.

El criterio de diseño por resistencia se basa principalmente en el tipo de falla del elemento.

Este tipo de falla debe ser de tipo dúctil, por lo que de acuerdo al capítulo anterior, se debe cumplir que:

$$\epsilon_i + \epsilon_{sp} \leq \frac{\epsilon_u}{0.75}$$

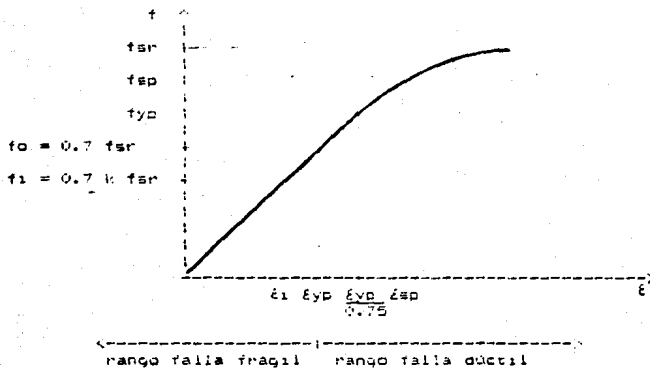


Fig. III.1 Rangos de falla en una grafica Esfuerzo - Deformacion

Para secciones simples, los conceptos expuestos en el diseño por esfuerzos permisibles, siguen siendo válidos; debido a lo cual se presentan las mismas etapas de carga, ya que estas son independientes al método de diseño que se este empleando.

Primeramente, se elige la sección transversal y se obtienen sus características geométricas del catálogo del ANIFPAC.

ra que el tipo de falla nos rige este método de diseño. la cantidad máxima de acero de prestuerzo que podemos dar a la sección está restringida para que la falla sea ductil. Esta área de acero (A_{sp}) se encuentra a base de tanteos.

Tomando como base a la sección transversal que se tenga y a las cargas actuantes, se subondrá una distancia d_{so} , la cual nos llevará a realizar un primer tanteo. El numero de tanteos será menor, mientras mejor sea la aproximación al valor real de d_{so} en el primer tanteo. Aquí juega un papel muy importante la experiencia del diseñador para realizar un menor número de tanteos.

Para que la falla sea ductil, se debe cumplir:

$$\epsilon_i + \epsilon_{sp} \leq \frac{\epsilon_{vo}}{0.75}$$

Haciendo $\epsilon_{vo} = 0.01$ e igualando, tenemos:

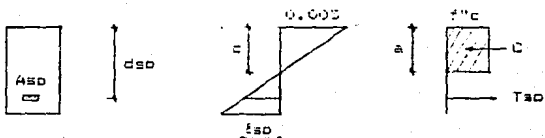
$$\epsilon_i + \epsilon_{sp} = \frac{0.01}{0.75}$$

$$\epsilon_{sp} = 0.015 - \epsilon_i \quad (\text{Ec. III.1})$$

Donde:

$$\epsilon_i = \frac{0.7 K_f \sigma_y}{E_{so}} \quad (\text{Ec. III.2})$$

Conocido el valor de ϵ_{sp} , entonces:



Por triángulos semejantes:

$$\frac{0.003}{c} = \frac{\epsilon_{sp}}{d_{so} - c}$$

$$0.003 (d_{so} - c) = c \epsilon_{sp}$$

$$0.003 d_{so} - 0.003 c = c \epsilon_{sp}$$

$$c \cdot \text{esp} + 0.002 \cdot c = 0.002 \cdot \text{dsp}$$

$$(c \cdot \text{esp} + 0.002) / c = 0.002 / \text{dsp}$$

$$c = \frac{0.002 / \text{dsp}}{0.002 + \text{esp}} \quad (\text{Ec. III.3})$$

con el cuál:

$$a = 0.5 \cdot c$$

Asimismo:

$$c = a / b \cdot f'_{\text{cp}}$$

$$\text{Tsp} = \text{Asp} \cdot \text{esp}$$

También:

$$\text{fcp} = \text{far} / 1 - 0.5 \cdot \text{fp} \cdot \text{far} / f'_{\text{cp}} / 1$$

donde:

$$\text{fp} = \frac{\text{Asp}}{0 \cdot \text{dsp}}$$

Sustituyendo ambas en Tsp:

$$\text{Tsp} = \text{Asp} \cdot \text{far} \left[1 - 0.5 \frac{\text{Asp}}{0 \cdot \text{dsp}} \frac{\text{far}}{f'_{\text{cp}}} \right] \quad (\text{Ec. III.4})$$

En esta ecuación, tenemos el área de acero (Asp) en forma implícita, desarrollando para dejarla en forma explícita:

$$\text{Tsp} = \text{Asp} \cdot \text{far} - \frac{\text{Asp}}{2 \cdot b \cdot \text{dsp}} \frac{\text{far} \cdot \text{Asp} \cdot \text{far}}{f'_{\text{cp}}}$$

$$\text{Tsp} = \text{Asp} \cdot \text{far} - \frac{(\text{Asp})^2}{2 \cdot b \cdot \text{dsp}} \frac{\text{far}^2}{f'_{\text{cp}}}$$

Reordenando en la forma $ax^2 + bx + c = 0$:

$$-\frac{(\text{far})^2}{2 \cdot b \cdot \text{dsp}} \frac{(\text{Asp})^2}{f'_{\text{cp}}} + \text{far} \cdot (\text{Asp}) - \text{Tsp} = 0$$

$$\frac{(\text{far})^2}{2 \cdot b \cdot \text{dsp}} \frac{(\text{Asp})^2}{f'_{\text{cp}}} - \text{far} \cdot (\text{Asp}) + \text{Tsp} = 0$$

de la ecuación general de 2o. grado:

$$1,2 = \frac{-b \pm \sqrt{b^2 - 4ac}}{2a}$$

dónde:

$$a = \frac{(f'g'')^2}{2b \cdot dgp \cdot f'' \cdot cp}$$

$$b = -f'g''$$

$$c = T_{sp}$$

entonces:

$$Asp = \frac{f'g'' + \sqrt{(f'g'')^2 - 4 \left(\frac{(f'g'')^2}{2b \cdot dgp \cdot f'' \cdot cp} - T_{sp} \right)}}{2 \left[\frac{(f'g'')^2}{2b \cdot dgp \cdot f'' \cdot cp} \right]}$$

$$= \frac{f'g'' + \sqrt{(f'g'')^2 - \frac{2(f'g'')T_{sp}}{b \cdot dgp \cdot f'' \cdot cp}}}{2}$$

como:

$$C = T_{sp}$$

>

$$C = a \cdot b \cdot f'' \cdot cp$$

sustituyendo:

$$Asp = \frac{f'g'' + \sqrt{(f'g'')^2 - \left(\frac{2(f'g'') \cdot a \cdot b \cdot f'' \cdot cp}{b \cdot dgp \cdot f'' \cdot cp} \right)^2}}{\frac{(f'g'')^2}{b \cdot dgp \cdot f'' \cdot cp}}$$

$$Asp = \frac{tar + \sqrt{(tar)^2 - \frac{2 \cdot a \cdot tar}{dsp} + 1}}{\frac{(tar)}{b \cdot dsp \cdot f''cp}}$$

Factorizando:

$$Asp = \frac{tar + \sqrt{(tar)^2 \left(1 - \frac{2 \cdot a}{dsp} \right)}}{\frac{(tar)}{2}}$$

$$= \frac{tar}{\frac{(tar)}{2}} + \frac{\sqrt{(tar)^2 \left(1 - \frac{2 \cdot a}{dsp} \right)}}{\frac{(tar)}{2}}$$

Sacando a (tar) del radical:

$$Asp = \frac{b \cdot dsp \cdot f''cp}{tar} = \frac{tar \sqrt{1 - \frac{2 \cdot a}{dsp}}}{2} + \frac{(tar)}{b \cdot dsp \cdot f''cp}$$

Reordenando:

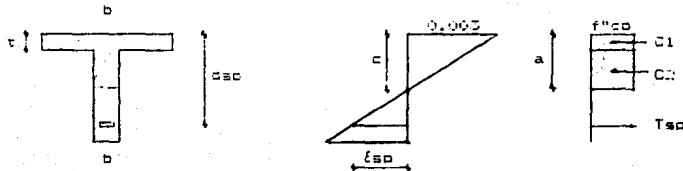
$$\begin{aligned} &= \frac{b \cdot dsp \cdot f''cp}{tar} - \frac{b \cdot dsp \cdot f''cp}{tar} \sqrt{1 - \frac{2 \cdot a}{dsp}} \\ &= \frac{b \cdot dsp \cdot f''cp}{tar} + \frac{b \cdot dsp \cdot f''cp}{tar} \sqrt{1 - \frac{2 \cdot a}{dsp}} \end{aligned}$$

Finalmente, volviendo a factorizar:

$$Asp = \frac{(b \cdot dsp \cdot f''cp) \left(1 + \sqrt{1 - \frac{2 \cdot a}{dsp}} \right)}{tar} \quad (\text{Ec. III.5})$$

La ecuación anterior, es válida cuando se trate de secciones transversales rectangulares y secciones geométricamente "T" que trabajen como rectangulares. Se deben cumplir las sección constante, peralte constante y prestuerco también constantes.

secciones Geometricamente "T", que trabajan como "T".



De la figura:

$$C_1 = t \cdot b \cdot f''_{co}$$

$$C_2 = (a - t) \cdot b' \cdot f''_{co}$$

$$C = C_1 + C_2$$

Comos:

$$Ts_0 = C$$

Entonces:

$$Ts_0 = C_1 + C_2$$

$$Ts_0 = t \cdot b \cdot f''_{co} + (a - t) \cdot b' \cdot f''_{co} \quad (\text{Ec. III.6})$$

Asimismo:

$$Ts_0 = A_{sp} \cdot t_{sp}$$

$$f_{sp} = f_{sr} [1 - 0.5 \times F_p \cdot f_{sr} / f''_{co}] \quad \text{a)} \quad \text{b)}$$

Donde:

$$F_p = \frac{A_{sp}}{b \cdot d_{sp}}$$

Sustituyendo b' en a):

$$Ts_0 = A_{sp} \cdot f_{sr} [1 - 0.5 \frac{A_{sp} \cdot f_{sr}}{b \cdot d_{sp} \cdot f''_{co}}]$$

$$Ts_0 = A_{sp} \cdot f_{sr} - \frac{A_{sp}}{2 \cdot b \cdot d_{sp}} \frac{f_{sr}}{f''_{co}} \cdot A_{sp} \cdot f_{sr}$$

Reordenando en la forma $ax^2 + bx + c = 0$:

$$\frac{2}{2 b \cos f''\phi} (\cos) - \frac{2}{2 b \cos f''\phi} \tan \phi = 0$$

Sacando:

$$a = \frac{(\cos)}{2 b \cos f''\phi}$$

$$b = -\tan \phi$$

$$c = \frac{\tan \phi}{2}$$

Sustituyendo en la ecuación general de lo. grado:

$$\begin{aligned} \text{Asp} &= \frac{\cos + \sqrt{(\cos)^2 - 4 \left(\frac{(\cos)}{2 b \cos f''\phi} \right) \left(\frac{\tan \phi}{2} \right)}}{2} \\ &= \frac{2 \left(\frac{(\cos)}{2 b \cos f''\phi} \right) - \sqrt{(\cos)^2 - \frac{2 (\cos)^2 \tan \phi}{b \cos f''\phi}}}{2} \\ &= \frac{(\cos)}{b \cos f''\phi} \end{aligned}$$

Factorizando el radicando:

$$\begin{aligned} \cos + \sqrt{2 + 1 - \frac{2 \tan \phi}{b \cos f''\phi}} &= \\ = \frac{(\cos)}{b \cos f''\phi} & \end{aligned}$$

Sacando a \cos del radical:

$$\begin{aligned} \cos + \cos \sqrt{1 - \frac{2 \tan \phi}{b \cos f''\phi}} &= \\ = \frac{\cos}{b \cos f''\phi} & \end{aligned}$$

$$Asp = \frac{b \cdot d_{sp} f'_{sp} - b \cdot d_{sp} f''_{sp}}{f_{sr}} \sqrt{\frac{1}{1 - \frac{2 \cdot f_{sp}}{b \cdot d_{sp} f''_{sp}}}}$$

Finalmente, factorizando:

$$Asp = \frac{4 \cdot b \cdot d_{sp} f'_{sp}}{f_{sr}} \left(\frac{1}{1 - \frac{2 \cdot f_{sp}}{b \cdot d_{sp} f''_{sp}}} \right) \quad \text{Ec. III.7}$$

Con el área de acero (Asp) obtenida con la ecuación III.6 o III.7, según sea el caso, se obtiene el número de tornillos requerido por la sección. Dicha área de ninguna manera excederá el valor obtenido de Asp.

Los tornillos se ubicarán en la sección, obteniéndose el valor del dso , el cual se comparará con el dso supuesto; de no ser iguales, se procederá a realizar un nuevo cálculo con el nuevo dso que pasara a ser el dso supuesto. El proceso se vuelve iterativo hasta que el dso supuesto sea igual al dso .

obt

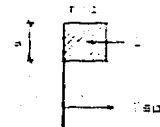
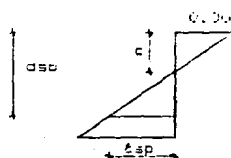
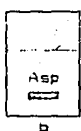
Como el número de tornillos obtenido de esta manera, es el límite para que el elemento tenga una falla útil; es decir que el momento resistente M_{ur} de la sección, excede en mucho al momento actuante (M_{ua}). En base a esto podemos elegir entre dos opciones:

- Elección otro miembro de menores dimensiones, para que el M_{ur} sea aproximadamente igual al M_{ua} .
- Reducir el número de tornillos, para optimizar el presupuesto.

Se presenta a continuación un nuevo método para encontrar el número de tornillos necesarios para que un elemento resista sus cargas actuantes; optimizando sus propiedades, así como el acero de presupuesto.

Método Directo.

Descripción Geométrica:



$$C = a \cdot b \cdot f''c$$

$$Tsp = Asp \cdot fsp$$

Como:

$$C = Tsp$$

$$a \cdot b \cdot f''c = Asp \cdot fsp$$

Despejando "a" :

$$a = \frac{Asp \cdot fsp}{b \cdot f''c}$$

(Ec. III.8)

$$Muri = F.a \cdot C \cdot Asp \cdot fsp + Asp = a \cdot b \cdot f''c \cdot I_1$$

(Ec. III.9)

Por otro lado:

$$fsp = f_{ar} \left(\frac{I_1}{I_2} - 0.5 \frac{Asp}{b \cdot Asp} \frac{f_{ar}}{f''c} \right)$$

(Ec. III.10)

Si suponemos que:

$$fsp = 0.9 f_{ar}$$

(Ec. III.11)

Sustituyendo III.11 en III.10, y despejando Asp:

$$0.9 f_{ar} = f_{ar} \left(\frac{I_1}{I_2} - 0.5 \frac{Asp}{b \cdot Asp} \frac{f_{ar}}{f''c} \right)$$

$$\frac{1}{2} - \frac{0.9 f_{ar}}{f_{ar}} = \frac{Asp}{b \cdot Asp} \frac{f_{ar}}{f''c}$$

$$0.1 = \frac{\text{Asp}}{2 b \text{dsp} f''c}$$

$$\text{dsp} = \frac{\text{Asp} f''c}{0.1 b f''c}$$

(Ec. III.12)

Sustituyendo III.2, III.11 y III.12 en III.9:

$$\begin{aligned} \text{Muc} &= F.R. \left[\frac{\text{Asp} (0.9) f''c}{b} \left(\frac{\text{Asp} f''c}{0.2 b f''c} - \frac{(0.9) \text{Asp} f''c}{2 b f''c} \right) \right] \\ &= F.R. \left[\frac{4.5 (\text{Asp})^2 f''c}{b f''c} - \frac{0.405 (\text{Asp}) f''c}{b f''c} \right] \\ &= F.R. \left[\frac{4.095 (\text{Asp}) f''c}{b f''c} \right] \end{aligned}$$

Sustituendo Muc por Muc' :

$$\frac{\text{Muc}}{\text{F.R.}} = \frac{4.095 (\text{Asp}) f''c}{b f''c}$$

Despejando Asp:

$$\text{Asp} = \sqrt{\frac{\text{Muc} (b) f''c}{4.095 F.R. f''c}} \quad (\text{Ec. III.13})$$

Con esta ecuación, podemos obtener el área de acero (Asp) necesaria para que la sección tenga una resistencia adecuada al actuar el momento último.

El área de acero obtenida no es la definitiva (para si muy aproximada a la real), ya que se pone de suponer un fso. Por tal motivo es necesario comprobar que el fso supuesto, es igual al fso real; por lo que ha, que obtener ese valor:

$$\text{fso} = \text{fcr} \left[1 - \frac{0.5 \text{Asp} f''c}{b \text{dsp} f''c} \right]$$

Para esta ecuación, se tiene que obtener el "a" correspondiente con el área de acero obtenida en el primer tanto.

Una vez obtenido el nuevo fso, se sustituye en la ecuación III.6, obteniéndose el valor de "a".

Por otra parte, partiendo de la ecuación III.5, haciendo que $\mu_{air} = \mu_{asf}$:

$$\mu_{asf} = F.R. \cdot f_{sp} \cdot f_{ad} \cdot a \quad \text{III.13}$$

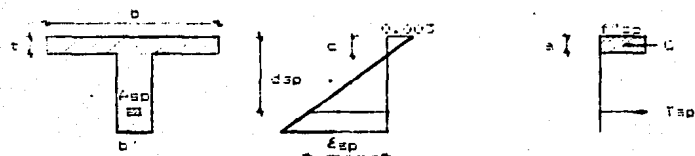
despejando f_{sp} :

$$f_{sp} = \frac{\mu_{asf}}{F.R. \cdot f_{ad} \cdot a} \quad \text{III.14}$$

Sustituyendo los valores obtenidos en III.14, se obtiene una nueva f_{sp} . Se comparan los valores de f_{sp} , si estos son iguales al proceso terminal; en caso contrario, el proceso se vuelve iterativo hasta encontrar el valor correcto de f_{sp} .

Sección Geométricamente T

Caso 1. La sección trabaja como rectangular a $t \ll t'$.



$$C = a \cdot b \cdot f''^c$$

$$Tsp = Asp \cdot f_{ad}$$

El planteamiento es similar al de la sección rectangular, con lo que:

$$Asp = \frac{\mu_{asf} \cdot b \cdot f''^c}{\sqrt{4.050 \cdot F.R. \cdot f_{ad}}}$$

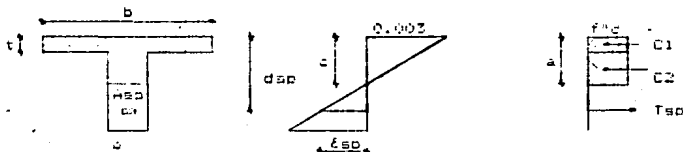
$$f_{sp} = f_{ad} \left[1 - 0.5 \frac{Asp \cdot f_{ad}}{b \cdot d \cdot f''^c} \right]$$

$$a = \frac{Asp \cdot f_{ad}}{b \cdot f''^c}$$

$$A_{sp} = \frac{M_u}{F.R. f_{sp} (d_{sp} - a / 2)}$$

Si en la primera iteración se obtiene un valor de A_{sp} que nace que el valor de "a" sea mayor que "t"; entonces la sección se tendría que revisar como sección "T" y las ecuaciones contenidas ya no serían válidas.

CASO 2. La sección trabaja como "T" ($a > t$).



En el cinturón:

$$C_f = t b + f'' c \\ A_{spf} = A_{sof} f_{sp}$$

$$C_f = t a f \\ t b + f'' c = A_{sof} f_{sp}$$

$$A_{spf} = \frac{t b + f'' c}{f_{sp}}$$

(Ec. III.15)

$$A_{sof} = A_{sof} + A_{spf}$$

$$A_{spw} = A_{sp} - A_{sof}$$

(Ec. III.17)

Si la sección trabaja como "T". entonces, con el área de sección contenida en la primera iteración (sustituyendo que trabaja como rectangular), se obtiene el valor de f_{sp} .

$$f_{sp} = f_{sr} \left[1 - 0.5 \frac{A_{sp}}{A_{sr}} \frac{f_{sr}}{f'' c} \right] \quad (\text{Ec. III.18})$$

el valor de "dsp" se obtiene colizando el M_{sp} del ier. tentado en la sección.

Con el valor de f_{sp} , se obtiene A_{sof} de la ecuación III.15:

Con la ayuda de la ecuación III.16, se obtiene el valor de "a". De la ecuación III.21:

$$M_{ur} = F.R.C \cdot A_{spf} \cdot d_{sp} - t/2 + A_{spf} \cdot d_{sp} - a/2 - 1$$

$$\Rightarrow F.R.C \cdot A_{spf} \cdot d_{sp} - t/2 + (A_{spf} - A_{spf}) \cdot d_{sp} - a/2 - 1$$

$$\frac{M_{ur}}{F.R.} = A_{spf} \cdot d_{sp} \left(d_{sp} - \frac{t}{2} \right) - \left(A_{spf} - A_{spf} \right) d_{sp} \left(d_{sp} - \frac{a}{2} \right)$$

Haciendo $M_{ur} = M_{us}$, y despejando A_{spf} :

$$\frac{M_{us}}{F.R.} = A_{spf} \cdot d_{sp} \left(d_{sp} - \frac{t}{2} \right)$$

$$A_{spf} = \frac{\frac{M_{us}}{F.R.}}{d_{sp} \left(d_{sp} - \frac{t}{2} \right)} + A_{spf} \quad (\text{Ec. III.17})$$

Al igual que en sección rectangular, el proceso es iterativo hasta que los valores de A_{spf} sean iguales.

Con el área de acero (A_{sp}) obtenida con las ecuaciones III.14 o III.17, según sea el caso, se obtiene el número de tornillos requerido por la sección para resistir el momento actuante.

En este método de diseño, el 100 % de los tornillos se colocan en la parte inferior de la sección.

Teniendo el número de tornillos necesarios, así como su ubicación en la sección, se procederá entonces a su revisión.

Las revisiones necesarias en este método de diseño, son las mismas a las realizadas en el método de diseño por esfuerzos permisibles, o sea:

- Revisión por Esfuerzos permisibles.
- Revisión por Resistencia.
- Revisión por Tipo de Falla.
- Revisión por Acero Mínimo.
- Revisión por Izado.

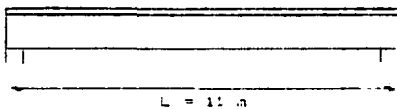
Estas revisiones se realizan en la misma forma a como se efectuaron en el diseño por esfuerzos permisibles, vistos en el capítulo anterior.

Con estas revisiones se concluye el diseño por flexión del elemento, restando el diseño por cortante el cual queda fuera del alcance y objetivos de esta tesis.

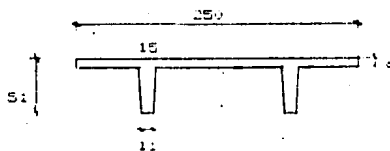
b) Ejemplo.

Diseñar la cubierta (sistemas de piso) de un edificio de oficinas utilizando vigas " T T ", cuyos datos son los siguientes:

$w_{sdm} = 154 \text{ kg/m}$
 $w_{cv} = 250 \text{ kg/m}^2$
 $f_c = 350 \text{ kg/cm}^2$
 $f_{ar} = 18\ 900 \text{ kg/cm}^2$
 $f_y = 4\ 200 \text{ kg/cm}^2$
 $L = 11 \text{ m}$
Tornillo = S 1/2"



Sección:



a) Características Geométricas.

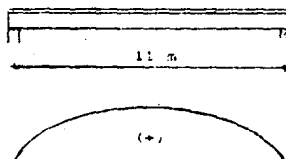
Estas características se obtendrán del catálogo del ANIFFAC.

$A_{st} = 2\ 870 \text{ cm}^2$
 $I_{st} = 589\ 987 \text{ cm}^4$
 $y_{1st} = 27.3 \text{ cm}$
 $y_{2st} = 13.7 \text{ cm}$

b) Análisis de Cargas.

$$\begin{aligned}
 W_{D0} &= 841 \\
 W_{Cm} &= 154 \cdot (2.5) = 385 \\
 \text{Reglamento} &= 50 \cdot (2.5) = 50 \\
 W_{Cv} &= 250 \cdot (2.5) = 525 \\
 \hline
 W_t &= 1701 \text{ kg/m}
 \end{aligned}$$

c) Elementos Mecánicos.



$$M_{at} = \frac{W_t l^2}{8} = \frac{1701 \cdot (11)^2}{8} = 25718 \text{ kg-m}$$

$$M_{at} = 0$$

d) Obtención de Resp.

Suponiendo que la sección trabaja como rectangular y haciendo $f_{sc} = 0.9 \text{ fm}$, podemos aplicar la ecuación III.13. Para ello tenemos primero que obtener:

$$\text{Flia} = 1.4 M_{at} = 1.4 \cdot 25718 \text{ kg-m} = 3601 \text{ kg-cm} \quad A$$

y además:

$$f_{sc} = 350 \text{ kg/cm}^2$$

$$f_{sc} = 0.8 f_{sc} = 0.8 \cdot 350 = 280 \text{ kg/cm}^2 \rightarrow 250 \text{ kg/cm}^2$$

$$f_{sc} = \left(1.05 - \frac{f_{sc}}{1250}\right) f_{sc} = \left(1.05 - \frac{280}{1250}\right) 280 = 271.18 \text{ kg/cm}^2$$

Sustituyendo en III.13:

$$A_{sp} = \sqrt{\frac{M_{us}}{(b) \cdot f''(c)}} \cdot 2$$
$$A_{sp} = \sqrt{4.095 \cdot F.R. \cdot (f''c)}$$

$$\sqrt{\frac{3.601.920 \cdot (250) \cdot (131.28)}{4.095 \cdot (0.9) \cdot (18.900)}} = 12.59 \text{ cm}^2$$

Se toman 14 torones, cuya $A_{sp} = 13.01 \text{ cm}^2$

Ubicandolos en la sección, obtenemos:

$$r = 9.43 \text{ cm}$$

Entonces:

$$d_{sp} = n + r = 51 + 9.43 = 41.57 \text{ cm}$$

Sustituyendo en la ecuación III.10:

$$f''c_p = f''c - \frac{1}{l} - 0.5 \frac{A_{sp} \cdot f''c}{d_{sp} \cdot f''c}$$

$$= 18.900 \cdot \frac{1}{l} - 0.5 \frac{13.01 \cdot (18.900)}{250 \cdot (41.57) \cdot (131.28)} = 17.923 \text{ kg/cm}^2$$

Obteniendo "a":

$$a = \frac{A_{sp} \cdot f''c_p}{250 \cdot (250 \cdot (131.28))} = 4.04 \text{ cm} < 5 \text{ cm}$$

∴ trabaja como rectangular.

Como trabaja como rectangular, se calculará con la ecuación III.14 para obtener el nuevo A_{sp} :

$$A_{sp} = \frac{M_{us}}{F.R. \cdot f''c_p \cdot (d_{sp} - a/2)}$$

$$\frac{3.601.920}{0.9 \cdot (17.923) \cdot (41.57 - 4.04/2)} = 5.57 \text{ cm}^2$$

Se toman 14 torones cuya $A_{sp} = 5.57 \text{ cm}^2$ y se procedera a realizar una nueva iteración.

Unicandolos en la sección, obtenemos:

$$r = 4.67 \text{ cm}$$

$$d_{sp} = h - r = 51 - 4.67 = 46.33 \text{ cm}$$

$$\frac{f_{sp}}{f_{sc}} = \frac{f_{sp}}{f_{sc}} \left(\frac{1}{1} \right) = 0.5 \frac{f_{sp}}{\frac{f_{sc}}{0.330 f_{sc}}}$$

$$= 18.900 \left[\frac{1}{1} \right] = 0.5 \frac{5.57 (18.900)}{250 (46.33) (231.28)} = 16.529 \text{ kg/cm}^2$$

$$s = \frac{A_{sp} + d_{sp}}{250 (271.16)} = \frac{5.57 (16.529)}{250 (271.16)} = 1.78 \text{ cm} \quad s \text{ cm}$$

•. trabaja como rectángulo.

$$A_{sp} = \frac{A_{se}}{F.P. \cdot f_{sp} + d_{sp} + 0.127}$$

$$\frac{2.611 \text{ cm}^2}{0.9 (16.529) (46.33) + 1.78 + 27} = 4.75 \text{ cm}^2$$

Transformando el área obtenida a torones cuya área unitaria para Ø 11.12 es $A_{sp} = 0.429 \text{ cm}^2$, obtenemos:

5.11 torones \Rightarrow 5 torones

se toman 5 torones, cuya $A_{sp} = 5.57 \text{ cm}^2$ (se da) para obtener un valor par en el número de torones. Como se obtuvo el mismo número de torones que en el tanto anterior, entonces se termina el proceso iterativo.

a) Colocación de los Tendones:

$$S1 = S \cdot 0 = 3 (1.27) = 3.81 \text{ cm} \quad \text{para } 4 \text{ cm}$$

$$St = S1 + \theta = 3.81 + 1.27 = 5.08 \text{ cm} \quad \text{para } 5 \text{ cm}$$

$$rl = 2 \text{ cm}$$

$$rt = rl + \theta/2 = 2 + 1.27/2 = 2.63 \text{ cm} \quad \text{para } 3 \text{ cm}$$

Obteniendo el centroide del acero de preesfuerzo:

$$2 (S + St) + 1 (S + rt) = 2 r$$

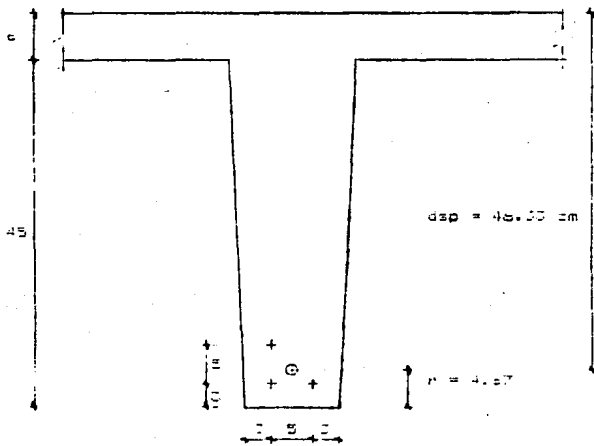
$$r = \frac{S + St}{3} = 4.67 \text{ cm}$$

ENTOMOLOGIA

$$d_{SD} = h - r = 51 - 4.57 = 46.43 \text{ cm}$$

f) Sustencion de er.

$$er = Y_{155} - r = 37.3 - 4.97 = 32.02 \text{ cm}$$



a) Exención por sanciones permisibles.

Congresso

- Inmediatamente después de la transferencia.
 $t = 0.9 \text{ } f_1 = 0.8 \text{ (75\%)} = 230 \text{ keV/cm}^2$

ECONOMIC

$$f_D = 0.5 \quad f_{C1} = 0.5 \quad (280) = 100 \text{ kg/cm}^2$$

Introduction

$$f_0 = \sqrt{f_{\text{c}} z_1} = \sqrt{180} = 16.73 \text{ kg/cm}^2$$

- En condiciones de servicio

Compresión

$$r_p = 0.45 \quad f/c = 0.45 (300) = 157.5 \text{ Kg/cm}^2$$

Tensión

$$f_t = 1.6 \quad f/c = 1.6 (300) = 28.80 \text{ Kg/cm}^2$$

Acero de Presteuerzo.

$$r_o = 0.7 \quad r_s = 0.7 (18.900) = 13.230 \text{ Kg/cm}^2$$

$$f_t = 0.8 \quad f_o = 0.8 (13.230) = 10.584 \text{ Newton/m}^2$$

$$F_o = Q_{sp} \quad f_o = 0.929 \times 17.200 = 12.291 \text{ Kg}$$

$$F_t = Q_{sp} \quad f_t = 0.929 (10.584) = 9.670 \text{ Kg}$$

REVISION

- Inmediatamente deducir de la característica de los estribos en los apoyos / Sección E - B.

$$F_o = 0.8 \quad F_t = 0.8 (12.291) = 9.836 \text{ Kg}$$

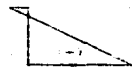
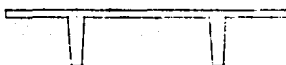
$$f_t = \frac{F_o}{A_{ss}} + \frac{F_{o,e}}{I_{ss}}$$

$$\frac{9.836}{2.670} + \frac{9.836 (21.60)}{567.72} (30.0) = 109.75 \text{ Kg/cm}^2$$

$$f_s = \frac{F_o}{A_{ss}} + \frac{F_{o,e}}{I_{ss}}$$

$$\frac{9.836}{2.670} + \frac{9.836 (21.60)}{567.72} (10.0) = 28.26 \text{ Newton/m}^2$$

$$28.26 < 15.75$$



$$15.75 > 15.5$$

La sección no es aceptable.
Es necesario engrasar.

- En condiciones de servicio (al centro del claro)
 Sección A - A

$$P = N F = 5 \times 7.833 = 39.995 \text{ Kg}$$

$$f_i = \frac{P}{A_{ss}} + \frac{P_{er} \text{ en } Y_{iss}}{I_{ss}} = \frac{M_{ata} \text{ en } Y_{iss}}{I_{ss}}$$

$$= \frac{39.995}{2.570} + \frac{39.995 (32.33)}{584.987} (37.3) = \frac{25.726 (1000)}{584.987} (37.3)$$

$$= 18.85 \text{ kg/cm}^2$$

$$f_s = \frac{P}{A_{ss}} - \frac{P_{er} \text{ en } Y_{iss}}{I_{ss}} + \frac{M_{ata} \text{ en } Y_{iss}}{I_{ss}}$$

$$= \frac{39.995}{2.570} - \frac{39.995 (32.33)}{584.987} (13.7) + \frac{25.726 (1000)}{584.987} (13.7)$$

$$= 37.14 \text{ kg/cm}^2$$

$$18.85 < 37.14 < 39.995$$



$$18.85 < 37.14 < 39.995$$

La sección es correcta.

- Encrage de los tendones en la sección B - B

Engresando 2 tendones en la parte inferior.

$$P_c = N - d = 4 \times 12.291 = 49.164 \text{ Kg}$$

$$d = 1187 - r = 37.0 = D = 24.0 \text{ cm}$$

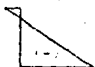
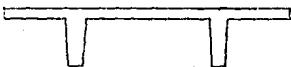
$$f_i = \frac{P_c}{A_{ss}} + \frac{P_{er} \text{ en } Y_{iss}}{I_{ss}}$$

$$= \frac{49.164}{2.570} + \frac{49.164 (34.3)}{584.987} (37.3) = 125.03 \text{ kg/cm}^2$$

$$f_s = \frac{P_c}{A_{ss}} - \frac{P_{er} \text{ en } Y_{iss}}{I_{ss}}$$

$$= \frac{49.164}{2.570} - \frac{49.164 (34.3)}{584.987} (13.7) = -20.74 \text{ kg/cm}^2$$

20.74 - 16.72



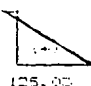
125.00 16.72

En la fibra superior

$$f_a = f_c \text{ ligeramente}$$

Se proponen colocar varillas de acero ordinario, cerca de los extremos.

20.74



20.74

$$F_t = \frac{20.74 + 125.00}{2} =$$

Por triángulos semejantes:

$$\frac{20.74 + 125.00}{51} = \frac{20.74}{y}$$

$$y = \frac{20.74 \cdot 51}{145.77} = 7.26 \text{ cm}$$

Sustituyendo:

$$F_t = \frac{20.74 + 125.00}{2} \cdot 7.26 = 18.822 \text{ N}$$

$$A_s = \frac{F_t}{f_p} = \frac{F_t}{0.5 F_y} = \frac{18.822}{2 \cdot 100} = 9.96 \text{ cm}^2$$

Se proponen colocar 7 varillas de 10x2

$$7 \cdot 10 \times 2 \text{ --- } A_s = 8.96 \text{ cm}^2$$

h) Revisión por Resistencia.

Se revisara la sección A - A

- Gotacion de Mua

$$Mua = F.C. \cdot Mat_A = 1.4 \cdot (2.572.300) = 3.611.980 \text{ kg} \cdot \text{cm}$$

- Gotacion de Mur

$$Mur = F.R. \cdot E \cdot Asp \cdot fsp + dso = a / 2 / 3$$

$$Mur = 0.9 \cdot 18.57 \cdot (18.900) \cdot 48.00 = 1.78 \cdot 2 / 3 / 3$$

$$Mur = 4.229.270 \text{ Kg} \cdot \text{cm} = 42.29 \text{ Ton} \cdot \text{m}$$

Como:

$$Mur = 42.29 \text{ Ton} \cdot \text{m} \quad \therefore \quad Mua = 36.02 \text{ Ton} \cdot \text{m}$$

., La sección se acepta por resistencia.

i) Revisión de la Falla Potencial.

Con el valor de "a" obtenido :

$$c = a / 1.8 = 1.78 / 0.8 = 1.23 \text{ cm}$$

$$\frac{Esp}{c} = \frac{0.001 \cdot dso}{c} = \frac{0.001 \cdot 48.00}{1.23} = \frac{0.001 \cdot 48.00}{1.23} = 0.00910$$

$$\frac{\epsilon_i}{Esp} = \frac{0.7 \cdot \frac{c}{1.8}}{Esp} = \frac{0.7 \cdot (0.8)}{1.900.000} = 0.00557$$

$$\epsilon_i + Esp = 0.00557 + 0.00910 = 0.0649$$

Entonces:

$$\epsilon_i + Esp = 0.0649 \times \frac{E/p}{0.75} = 0.013$$

., Se comprueba que la falla es ductil.

i) Revision por Acero Minimo.

Se debe cumplir que:

$$M_{ur} \leq 1.2 M_{agriet}$$

Del inciso h)

$$M_{ur} = 42.20 \text{ Ton} = m$$

Oteniendo el Magriet:

$$\text{Magriet} = \frac{\left(2 \sqrt{f_c} + \frac{P}{A_{se}} - \frac{F_{ar} Y_{se}}{I_{se}} \right) I_{se}}{Y_{se}}$$

$$\frac{\left(2 \sqrt{500} + \frac{58.945}{A_{se}} - \frac{58.945 \cdot 11.57}{I_{se}} \cdot 11.57 \right) I_{se}}{11.57} = 589.987$$

$$\therefore \text{Magriet} = 2.864.446 \text{ kg} = m = 28.64 \text{ Ton} = m$$

$$1.2 \text{ Magriet} = 1.2 \cdot 28.64 / = 34.40 \text{ Ton} = m$$

Entonces:

$$M_{ur} = 42.20 \text{ Ton} = m$$

$$1.2 \text{ Magriet} = 34.40 \text{ Ton} = m$$

∴ Cumple con el acero minimo.

ii) Revision por Izado.

Suponiendo que los ganchos de izado estan colocados a 1.5 m de cada extremo, el momento en esa seccion es:

$$M_{app4} = \frac{402.3}{2} = \frac{201.15}{2} = 100.575 \text{ kg} = m$$

$$M_{app4} = 72.110 \text{ kg} = m$$

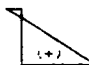
$$f_s = \frac{P_o}{A_{se}} = \frac{P_o \cdot Y_{se}}{I_{se}} = \frac{M_{app4} \cdot Y_{se}}{I_{se}}$$

$$\frac{49.164 - 45.164 (34.3)}{2.870} \cdot (11.57) = 12.110 \cdot 11.57 / = 22.41 \text{ kg/cm}^2$$

$$t_1 = \frac{F_0}{A_{S5}} - \frac{F_0 \text{ en } Y_{ISS}}{I_{SS}} + \frac{M_{apoc} \text{ en } Y_{ISS}}{I_{SS}}$$

$$\frac{49.154}{2.670} - \frac{49.154 (37.3)}{589.487} (37.3) + \frac{72.113 (37.3)}{589.487} = 129.59 \text{ kg/cm}^2$$

$$22.41 \quad 10.73$$



$$129.59 \times 10^6$$

En la fibra superior:

$$f_a \quad / \quad f_p \\ \text{ligeramente}$$

Se colocaran varillas de acero ordinario en los extremos.

$$F_t = \frac{22.41 (250)}{2} \text{ kg}$$

Por triángulos semejantes:

$$\frac{22.41 + 129.59}{51} = \frac{22.41}{y'}$$

$$y' = \frac{51 (22.41)}{180} = 7.52 \text{ cm}$$

Sustituyendo en F_t :

$$F_t = \frac{22.41 + 250 (7.52)}{2} = 21.065 \text{ kg}$$

Entonces:

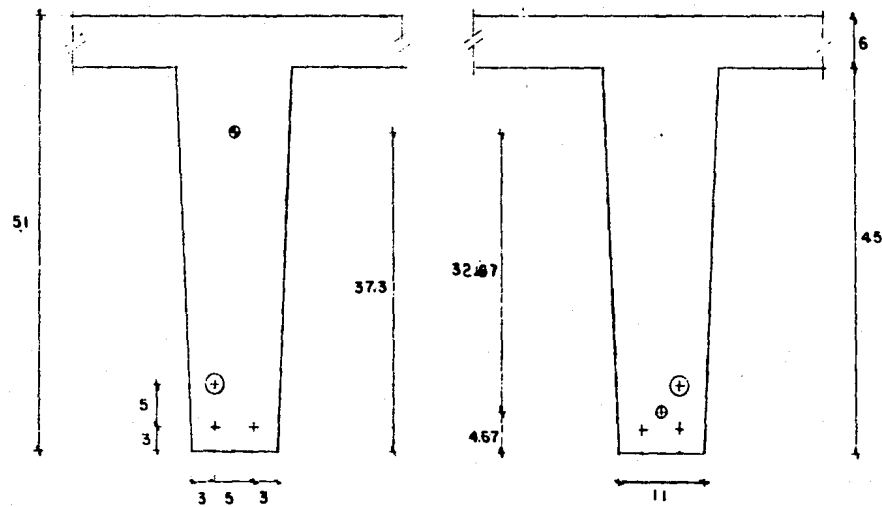
$$R_S = \frac{F_t}{f_b} = \frac{21.065}{0.5 F_p} = \frac{21.065}{2.100} = 10.03 \text{ cm}^2$$

Se colocaran 8 Vu # 4 mm. As = 10.16 cm²

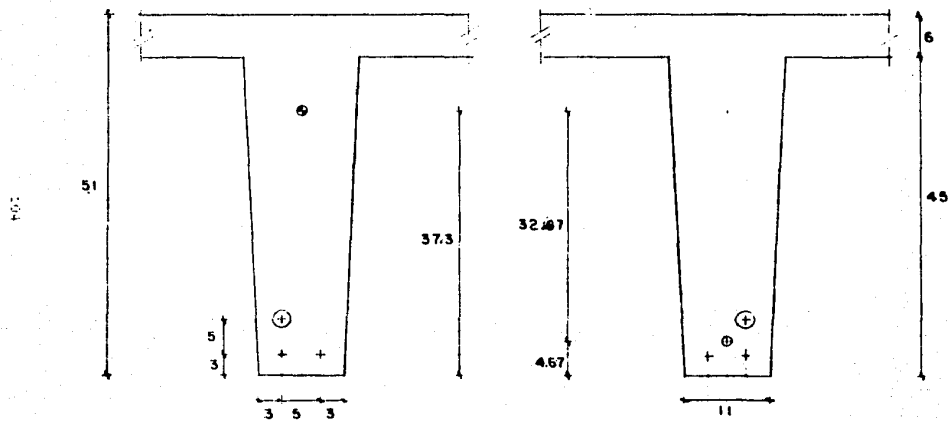
Como este valor es mayor que el obtenido en la revisión por estímulos permisibles, predominante y se colocaran 8 Vu # 4 con lo cual cumple en ambas revisiones.

Con esta revisión se concluye el diseño por flexión de la sección simple, concluyéndose que la sección es aceptable y cumple con las disposiciones del RCDF-87.

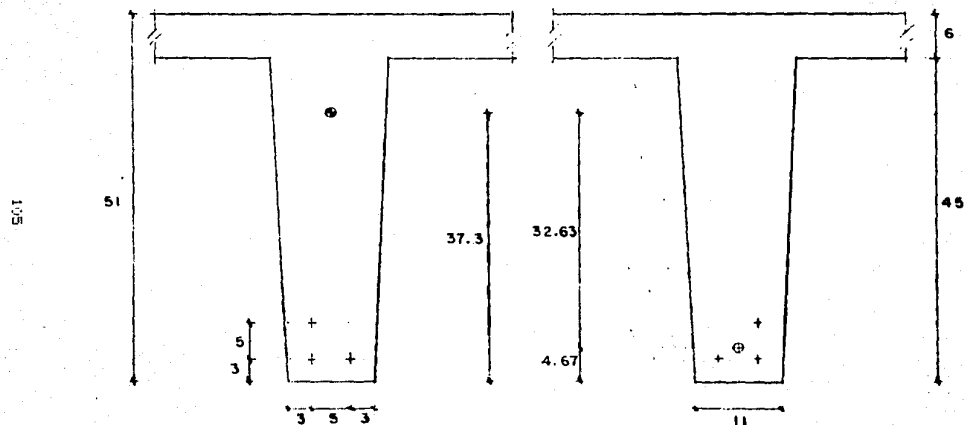
SECCION B



SECCION 8



SECCION 'A'



III.2 Secciones Compuestas.

A) Procedimiento.

El diseño de este tipo de secciones es similar al que se realiza en el Diseño por Esfuerzos Permisibles.

Primeramente se escoge el elemento, si se trata de una sección tipo, esta se elige del catálogo del ANIFFAC, determinándose también la calidad de los materiales.

Concreto

$$f_{cp} \quad \begin{cases} 250 \text{ Kg/cm}^2 \\ 400 \text{ Kg/cm}^2 \end{cases} \quad \begin{matrix} \text{Elemento} \\ \text{Prefabricado} \end{matrix}$$

$$f_{ct}, f'_{ct} = 250 \text{ Kg/cm}^2 \quad \begin{matrix} \text{Tirante o} \\ \text{losa} \end{matrix}$$

Acero de Presfuerzo

$$\bar{f}_{pr} \quad \begin{cases} 270 \text{ K} \\ 250 \text{ K} \end{cases}$$

Acero de Refuerzo

$$f_y = 4200 \text{ Kg/cm}^2$$

Se procede, entonces, a la obtención de las características geométricas, si es posible del catálogo del ANIFFAC, o en caso contrario con ayuda de la tabla vista en sección compuesta con esfuerzos permisibles.

Al igual que en sección simple, el área de acero (A_{sp}) se obtiene a base de tanteos. Se supone una distancia d_{sp} , con la cual se obtienen las distancias " c " y " a ", basándose en que el tipo de férreto debe de ser cástil.

$$d_{sp} + \epsilon_1 \leq \frac{E_{sp}}{0.75}$$

$$\epsilon_1 = \frac{0.7 E_{sp}}{E_{pr}}$$

$$E_{sp} = 0.015 - \epsilon_1$$

Por triangulos semejantes, se obtiene:

$$c = \frac{0.003 \cdot \text{dsp}}{0.003 + \varepsilon_{sp}}$$

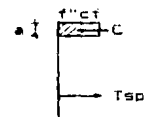
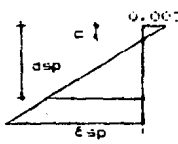
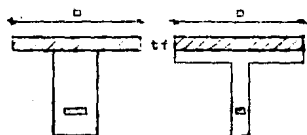
con el cuales:

$$a = 0.8 c$$

Obtenido de esta manera el valor de "a", se pueden presentar algunos casos:

- Secciones que trabajan como rectangulares ($a \leq t_f$)
- Secciones que trabajan como rectangulares ($t_f < a \leq t_f + t_b$)
- Secciones que trabajan como "T" ($a > t_f + t_b$)

Secciones que trabajan como rectangulares ($a \leq t_f$).



$$c = a \cdot b / t_f \cdot c_f \quad (\text{Ec. III.20})$$

$$Tsp = Asp \cdot t_{so}$$

Dondes:

$$Asp = f_{sr} [1 - 0.5 \cdot F_p \cdot t_{so} / t_f \cdot c_f] \quad (\text{Ec. III.21})$$

$$F_p = \frac{A_{so}}{b \cdot \text{dsp}}$$

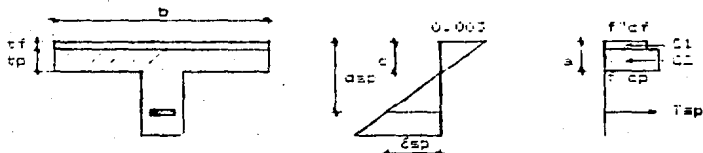
Sustituyendo en Tsp :

$$Tsp = Asp \cdot f_{sr} \left[1 - 0.5 \frac{A_{so}}{b \cdot \text{dsp}} \frac{t_{so}}{t_f \cdot c_f} \right]$$

Siguiendo un procedimiento análogo al utilizado para obtener la ecuación III.5, tenemos entonces:

$$A_{sp} = \frac{(b \cdot d_{sp} + f''c_f)}{f_{sp}} \left(1 + \sqrt{1 - \frac{2a}{d_{sp}}} \right) \quad (\text{Ec. III.22})$$

Secciones que trabajan como rectangulares ($t_f < a \leq t_f + t_p$)



$$C_1 = t_f \cdot b \cdot f''c_f$$

$$C_2 = (a - t_f) \cdot b \cdot f''c_p$$

Entonces:

$$\begin{aligned} T_{sp} &= C_1 + C_2 \\ &= t_f \cdot a \cdot f''c_f + (a - t_f) \cdot b \cdot f''c_p \end{aligned} \quad (\text{Ec. III.23})$$

También:

$$T_{sp} = A_{sp} \cdot f_{sp}$$

Substituyendo:

$$T_{sp} = A_{sp} \cdot f_{sp} \cdot \left[1 - 0.5 \cdot F_p \cdot \frac{f_{sp}}{f''c_{\text{prom}}_i} \right] \quad (\text{Ec. III.24})$$

Donde:

$$F_p = \frac{A_{sp}}{b \cdot d_{sp}}$$

$$f''c_{\text{prom}} = \frac{f''c_f + f''c_p}{2} \quad (\text{Ec. III.25})$$

Desarrollando:

$$Tsp = Asp \cdot far = \frac{Asp}{2} \frac{far}{b \cdot dsp \cdot f''cprom} Asp \cdot far$$

Reordenando términos:

$$\frac{2}{(far)} \frac{(Asp)}{2} = far \cdot Asp + Tsp$$

Con la ecuación de 2o. grado:

$$Asp \cdot far = far - \sqrt{\frac{(far)^2 - 4 \cdot \frac{(far)}{2 \cdot b \cdot dsp \cdot f''cprom} \cdot 1}{2}} Tsp$$

$$= far - \sqrt{\frac{(far)^2 - \frac{2 \cdot (far)}{b \cdot dsp \cdot f''cprom} \cdot 1}{2}}$$

Factorizando el radicando:

$$= far - \sqrt{\frac{(far)^2 - 1 - \frac{2 \cdot Tsp}{b \cdot dsp \cdot f''cprom}}{2}}$$

Sacando a (far) del radical:

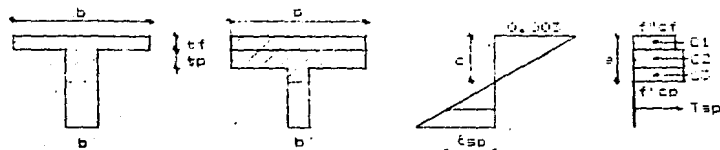
$$= far - \sqrt{\frac{far \sqrt{1 - \frac{2 \cdot Tsp}{b \cdot dsp \cdot f''cprom}}}{2}}$$

$$= \frac{b \cdot dsp \cdot f''cprom}{far} = \frac{b \cdot dsp \cdot f''cprom}{far} \sqrt{\frac{1 - \frac{2 \cdot Tsp}{b \cdot dsp \cdot f''cprom}}{1}}$$

Finalmente, factorizando:

$$Asp = \frac{b \cdot dsp \cdot f''cprom}{far} \left(1 + \sqrt{1 - \frac{2 \cdot Tsp}{b \cdot dsp \cdot f''cprom}} \right) \quad (\text{Ec. III.26})$$

Sesiones que trabajan como "T" ($a > tf + tp$)



$$C_1 = t_f b f''_{sp}$$

$$C_2 = t_p a f''_{sp}$$

$$C_3 = C a - (t_f + t_p) \frac{1}{3} b f''_{sp}$$

$$C = C_1 + C_2 + C_3$$

Como:

$$T_{sp} = C$$

Entonces:

$$T_{sp} = t_f b f''_{sp} + t_p a f''_{sp} + C a = (t_f + t_p) \frac{1}{3} b f''_{sp} \quad (\text{Ec. III.27})$$

Al mismo:

$$T_{sp} = A_{sp} f_{sp}$$

$$f_{sp} = f_{sp} \left[1 - 0.5 F_D \frac{t_{sp}}{t''_{coron}} \right]$$

Dondé:

$$F_D = \frac{A_{sp}}{b t_{sp}}$$

$$t''_{coron} = \frac{f''_{sp} + f_{sp}}{2}$$

Sustituyendo:

$$T_{sp} = Asp \cdot f_{sr} + 1 - 0.5 \frac{Asp}{b \cdot d \cdot \sigma} \frac{f_{sr}}{f'c'p'rom}$$

$$T_{sp} = Asp \cdot f_{sr} - \frac{Asp}{2 b \cdot d \cdot \sigma} \frac{f_{sr}}{f'c'p'rom} \cdot Asp \cdot f_{sr}$$

Reordenando:

$$\frac{2}{(f_{sr})} \frac{(Asp)}{2 b \cdot d \cdot \sigma} (f_{sr})^2 - f_{sr} (Asp) + T_{sp} = 0$$

Con la ecuación general de 2o. grado:

$$\frac{-Asp}{1.2} = \frac{f_{sr} + \sqrt{(f_{sr})^2 - 4 \frac{(Asp)^2}{(2 b \cdot d \cdot \sigma)^2} (f_{sr})}}{2 \frac{(Asp)}{2 b \cdot d \cdot \sigma} f'c'p'rom} \cdot T_{sp}$$

Reduciendo:

$$\frac{Asp}{1.2} = \frac{f_{sr} + \sqrt{(f_{sr})^2 - \frac{2 (Asp)^2}{(2 b \cdot d \cdot \sigma)^2} f'c'p'rom}}{\frac{2}{(2 b \cdot d \cdot \sigma)^2} f'c'p'rom}$$

Factorizando el radicando:

$$\frac{Asp}{1.2} = \frac{f_{sr} + \sqrt{f_{sr}^2 - 1 - \frac{2}{b \cdot d \cdot \sigma} \frac{T_{sp}}{f'c'p'rom}}}{\frac{2}{(2 b \cdot d \cdot \sigma)^2} f'c'p'rom}$$

Sacando a f_{sr}^2 del radical:

$$\frac{Asp}{1.2} = \frac{f_{sr} + f_{sr} \sqrt{1 - \frac{2}{b \cdot d \cdot \sigma} \frac{T_{sp}}{f'c'p'rom}}}{\frac{2}{(2 b \cdot d \cdot \sigma)^2} f'c'p'rom}$$

$$= \frac{b \cdot d \cdot \sigma}{b \cdot d \cdot \sigma f'c'p'rom} - \frac{b \cdot d \cdot \sigma}{b \cdot d \cdot \sigma f'c'p'rom} \sqrt{1 - \frac{2}{b \cdot d \cdot \sigma} \frac{T_{sp}}{f'c'p'rom}}$$

Factorizando:

$$\frac{A_{sp}}{1.2} = \frac{b \cdot d_{sp} f'c_{prom}}{f_{sr}} \left(1 + \sqrt{1 - \frac{2 \cdot T_{sp}}{b \cdot d_{sp} f'c_{prom}}} \right)$$

Ecu. III.26

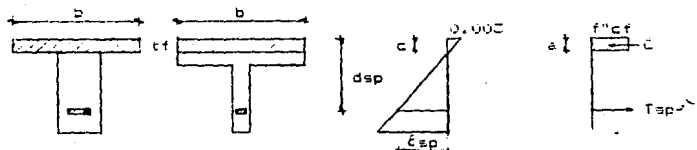
Esta ultima ecuacion puede ser usada cuando se trate de secciones rectangulares o sección compuesta, que trabajen como "T", o sea que $a \neq tf$. Tambien se puede utilizar cuando se trate de secciones "T" que trabajen como "I", o sea cuando $a \neq tf + td$.

El valor de T_{sp} dependerá del tipo de sección con la que se este trabajando, teniendo en cuenta que en la sección "T" está trabajando el patín, el cual no existiría si se trata de una sección rectangular.

En sección compuesta es muy importante tener en cuenta el tipo de sección con la que se este trabajando, ya sea rectangular o sección "T", para no tener equivocaciones al tomar el valor de b o " b' ". Tambien es importante destacar que en este tipo de sección se trabaja con dos tipos de concreto, por lo que hay que tener cuidado al solicitar las ecuaciones obtenidas.

Método Directo.

Secciones que se tratan como rectangulares ($a \times t_f$).



$$C = a \cdot b \cdot f'ct$$

$$T_{sp} = A_{sp} \cdot f_{sp}$$

Como:

$$T_{sp} = C$$

$$A_{sp} \cdot f_{sp} = a \cdot b \cdot f'ct$$

despejando "a":

$$a = \frac{A_{sp} \cdot f_{sp}}{b \cdot f'ct} \quad (\text{Ec. III.29})$$

$$M_{ur} = F.R. [A_{sp} \cdot f_{sp} + (d_{sp} - a / 2)]$$

Donde:

$$f_{sp} = f_{sr} \left[1 - 0.5 \frac{A_{sp} \cdot f_{sr}}{b \cdot d_{sp} \cdot f'ct} \right] \quad (\text{Ec. III.30})$$

Suponiendo para un primer tanteo:

$$f_{sp} = 0.9 f_{sr}$$

Sustituyendo en la ecuación III.30, y despejando "d_{sp}":

$$0.9 f_{sr} = f_{sr} \left[1 - 0.5 \frac{A_{sp} \cdot f_{sr}}{b \cdot d_{sp} \cdot f'ct} \right]$$

$$1 - \frac{0.9 f_{sr}}{f_{sr}} = \frac{A_{sp} \cdot f_{sr}}{2 b \cdot d_{sp} \cdot f'ct}$$

$$0.1 = \frac{Asp \ f_{sr}}{2 b \ dsr \ f''cf}$$

$$\frac{Asp}{0.2} = \frac{Asp \ f_{sr}}{0.2 b \ f''cf}$$

(Ec. III.31)

Sustituyendo en la ecuación de Murs:

$$M_{ur} = F.R. \left[Asp (0.9 f_{sr}) \left(\frac{Asp \ f_{sr}}{0.2 b \ f''cf} - \frac{Asp 0.9 f_{sr}}{2 b \ f''cf} \right) \right]$$

$$= F.R. \left[\frac{2}{b \ f''cf} \frac{2}{b \ f''cf} - \frac{0.405}{b \ f''cf} \frac{2}{b \ f''cf} \right]$$

$$= F.R. \left[\frac{4.095}{b \ f''cf} \frac{2}{b \ f''cf} \right]$$

Haciendo $M_{ur} = M_{ua}$:

$$M_{ua} = F.R. \left[\frac{4.095}{b \ f''cf} \frac{2}{b \ f''cf} \right]$$

Despejando Asp :

$$(Asp) = \frac{M_{ua} (b) f''cf}{F.R. (4.095) f_{sr}}$$

$$Asp = \sqrt{\frac{M_{ua} (b) f''cf}{4.095 F.R. f_{sr}}}$$

(Ec. III.32)

Con esta ecuación se obtiene el área de acero (Asp) aproximada, necesaria para que la sección tenga una resistencia aceptable al actuar el momento último.

Ya que se partió de un f_{sp} supuesto, es necesario obtener su valor real, entonces, con el área de acero obtenida y transformada a torzones; se colocan estos en la sección y se obtiene su dsr correspondiente.

Con estos valores se obtiene el nuevo f_{sp} , con:

$$f_{sp} = f_{sr} + 1 - 0.5 \frac{Asp \ f_{sr}}{b \ dsr \ f''cf}$$

Sustituyendo los nuevos valores en la ecuación III.29, se obtiene el valor de " a " y se verifica que $a < tf$. En caso de tratarse de una sección "T" se debe verificar que esta trabaje como rectangular.

Ahora, de la ecuación de M_{ur}, se despeja A_{sp}:

$$M_{ur} = F.R. \left[A_{sp} f_{sp} \left(d_{sp} - \frac{a}{2} \right) \right]$$

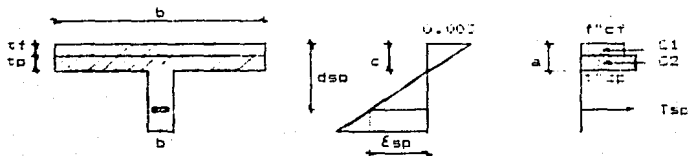
$$A_{sp} = \frac{M_{ur}}{F.R. f_{sp} \left(d_{sp} - a / 2 \right)}$$

Igualando M_{ur} con M_{ua}:

$$A_{sp} = \frac{M_{ua}}{F.R. f_{sp} \left(d_{sp} - a / 2 \right)} \quad (\text{Ec. III.33})$$

Con la ecuación III.33 se obtiene una nueva A_{sp}, la cual se comparará con la A_{sp} anterior; en caso de ser diferentes, el proceso se repetirá hasta que ambas A_{sp} sean iguales.

Secciones que trataban como rectangulares (tf < a & tf + ts >



$$C_1 = t_f b f'' c_f$$

$$C_2 = (a - t_f) b f'' c_p$$

$$T_{sp} = A_{sp} f_{sp}$$

$$T_{sp} = C$$

$$A_{sp} f_{sp} = t_f b f'' c_f + (a - t_f) b f'' c_p \quad (\text{Ec. III.34})$$

despejando "a":

$$a = \frac{A_{sp} f_{sp} - t_f b f'' c_f}{b f'' c_p} + t_f \quad (\text{Ec. III.35})$$

$$f_{sp} = f_{sr} \left[1 - 0.5 \frac{A_{sp}}{\sigma_{asp} f'' c_{\text{prom}}} \right] \quad (\text{Ec. III.36})$$

Donde:

$$f''_{\text{cprom}} = \frac{f''_{cf} + f''_{sp}}{2}$$

Como

$$\text{Muc} = F.R. \left[C_1 \left(\text{dsp} - \frac{tf}{2} \right) - C_2 \left(\text{dsp} - tf - \frac{a - tf}{2} \right) \right] \quad (\text{Ec. III.37})$$

De la ecuación III.34:

$$C_1 + C_2 = Tsp$$

$$C_2 = Tsp - C_1$$

$$C_2 = Asp \cdot Tsp - C_1 \quad (\text{Ec. III.38})$$

Sustituyendo en la ecuación III.37, y despejando Asp:

$$\text{Muc} = F.R. \left[C_1 \left(\text{dsp} - \frac{tf}{2} \right) - (Asp \cdot Tsp - C_1) \left(\text{dsp} - tf - \frac{a - tf}{2} \right) \right]$$

$$\frac{\text{Muc} - C_1 \left(\text{dsp} - \frac{tf}{2} \right)}{F.R.} = (Asp \cdot Tsp - C_1) \left(\text{dsp} - tf - \frac{a - tf}{2} \right)$$

$$Asp \cdot Tsp = \frac{\text{Muc}}{F.R.} - \frac{C_1 \left(\text{dsp} - \frac{tf}{2} \right)}{\frac{\text{dsp} - tf - \frac{a - tf}{2}}{2}} + C_1$$

Haciendo $\text{Muc} = \text{Muac}$:

$$\left[\frac{\text{Muac}}{F.R.} - C_1 \left(\text{dsp} - \frac{tf}{2} \right) \right]$$

$$Asp = \frac{\text{Muac}}{\left[\text{dsp} - tf - \frac{a - tf}{2} \right]} + C_1 \div Tsp \quad (\text{Ec. III.19})$$

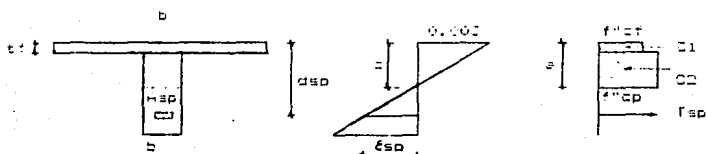
Si $tf < a < tf + tp$, entonces con ayuda del Asp obtenido en la ecuación III.32, se sustituye ésta en la ecuación III.3c para obtener el Tsp correspondiente. Con este valor se calcula nuevamente " a " de la ecuación III.35 y se verifica si " a " cae dentro del rango de este tipo de secciones.

Con los valores de "a" y de "fsp" obtenidos, se sustituyen en la ecuación III.37 y se calcula el nuevo valor de Asp; en caso de ser igual al inicial se concluye el proceso, de lo contrario se volverá a repetir el cálculo con el nuevo Asp obtenido.

El proceso es iterativo hasta que ambos valores de Asp sean iguales.

Los valores de Asp obtenidos, siempre se transformaran a torones antes de realizar el siguiente cálculo.

Secciones rectangulares que trabajan como "T" : $a = t_f + t_f'$



$$C1 = t_f \cdot f"ct$$

$$C2 = (a - t_f) \cdot b \cdot f"cp$$

$$Asp = Asp \cdot fsp$$

$$Tsp = C1 + C2$$

$$Asp \cdot fsp = t_f \cdot b \cdot f"ct + (a - t_f) \cdot b \cdot f"cp \quad (\text{Ec. III.40})$$

despejando "a":

$$a = \frac{Asp \cdot fsp - t_f^2 \cdot b \cdot f"ct}{b \cdot f"cp} + t_f \quad (\text{Ec. III.41})$$

$$fsp = fsp \cdot \left[1 - \frac{0.5 \cdot Asp \cdot fsp}{c \cdot asp \cdot f"cprom} \right]$$

Donde:

$$f"cprom = \frac{f"ct + f"cp}{2}$$

Como:

$$M_{ur} = F.R. \left[C_1 \left(d_{sp} - \frac{t_f}{2} \right) + C_2 \left(d_{sp} - t_f - \frac{a - t_f}{2} \right) \right] \quad (Ecu. III.42)$$

De la ecuación III.40:

$$C_1 + C_2 = f_{sp}$$

$$C_2 = f_{sp} - C_1$$

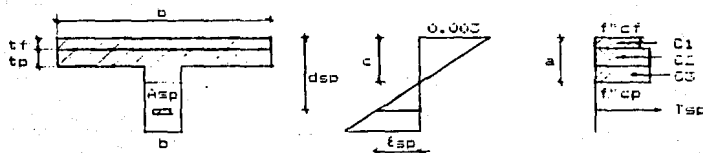
$$C_2 = A_{sp} f_{sp} - C_1$$

Siguientemente un procedimiento similar al utilizado para obtener la ecuación III.37:

$$H_{sp} = \frac{\left[\frac{M_{ur}}{F.R.} - C_1 \left(d_{sp} - \frac{t_f}{2} \right) \right]}{\left[d_{sp} - t_f - \frac{a - t_f}{2} \right]} + C_1 + f_{sp} \quad (Ecu. III.43)$$

Si se trata de una sección rectangular que trabaja como una "T", entonces, con el A_{sp} obtenida de la ecuación III.32 se obtiene el valor de f_{sp} , calculando previamente el valor del d_{sp} correspondiente. Con este valor se sustituye en la ecuación III.41 y se verifica que $a > t_f$, procediendo a calcular el nuevo valor de A_{sp} con la ecuación III.43; y se compara con el valor de A_{sp} anterior. Si estos valores son iguales, el proceso se termina de lo contrario el proceso se vuelve a repetir hasta que ambos A_{sp} sean iguales. Las A_{sp} obtenidas, siempre se transformaran a torones para realizar el siguiente cálculo.

Secciones "T" que trabajan como "T" ($a > t_f + t_b$)



$$\begin{aligned}
 C_1 &= t_f b f''ct \\
 C_2 &= t_o b f''cp \\
 C_3 &= [a - (t_f + t_p) b' f''cp] \\
 T_{sp} &= A_{sp} f_{sp}
 \end{aligned}$$

Donde:

$$C = C_1 + C_2 + C_3$$

$$T_{sp} = C$$

$$A_{sp} f_{sp} = t_f b f''ct + t_o b f''cp + [a - (t_f + t_p) b' f''cp] \quad (\text{Ec. III.44})$$

despejando 'a':

$$a = \frac{A_{sp} f_{sp} - t_f b f''ct - t_o b f''cp}{b' f''cp} + (t_f + t_p) \quad (\text{Ec. III.45})$$

y

$$f_{sp} = \frac{1}{b' f''cp} \left[a - 0.5 \frac{A_{sp}}{b} \frac{f_{sp}}{f''cp_{rom}} \right]$$

Donde:

$$f''cp_{rom} = \frac{f''cp + f''ct}{2}$$

Como:

$$\begin{aligned}
 M_{ur} &= F.R. \left[C_1 \left(d_{sp} - \frac{t_f}{2} \right) + C_2 \left(d_{sp} - t_f - \frac{t_p}{2} \right) \right. \\
 &\quad \left. + C_3 \left(d_{sp} - t_f - t_p - \frac{a - t_f - t_p}{2} \right) \right] \quad (\text{Ec. III.46})
 \end{aligned}$$

De la ecuación III.44:

$$T_{sp} = C_1 + C_2 + C_3$$

$$C_3 = T_{sp} - C_1 - C_2$$

$$C_3 = A_{sp} f_{sp} - C_1 - C_2 \quad (\text{Ec. III.47})$$

Sustituyendo en III.40 y despejando M_{ur} :

$$M_{ur} = F.R. \cdot \left[C_1 \left(d_{sp} - \frac{t_f}{2} \right) + C_2 \left(d_{sp} - t_f - \frac{t_o}{2} \right) \right] \\ + (A_{sp} f_{sp} - C_1 - C_2) \left(d_{sp} - t_f - t_o - \frac{a - t_f - t_o}{2} \right)$$

$$(A_{sp} f_{sp} - C_1 - C_2) \left(d_{sp} - t_f - t_o - \frac{a - t_f - t_o}{2} \right) \\ = \frac{M_{ur}}{F.R.} - C_1 \left(d_{sp} - \frac{t_f}{2} \right) - C_2 \left(d_{sp} - t_f - \frac{t_o}{2} \right)$$

$$A_{sp} f_{sp} - C_1 - C_2 = \frac{\frac{M_{ur}}{F.R.} - C_1 \left(d_{sp} - \frac{t_f}{2} \right) - C_2 \left(d_{sp} - t_f - \frac{t_o}{2} \right)}{d_{sp} - t_f - t_o - \frac{a - t_f - t_o}{2}}$$

$$A_{sp} = \frac{\frac{M_{ur}}{F.R.} - C_1 \left(d_{sp} - \frac{t_f}{2} \right) - C_2 \left(d_{sp} - t_f - \frac{t_o}{2} \right)}{d_{sp} - t_f - t_o - \frac{a - t_f - t_o}{2}} + C_1 + C_2 + f_{sp}$$

Haciendo $M_{ur} = M_{uat}$:

$$A_{sp} = \frac{\frac{M_{uat}}{F.R.} - C_1 \left(d_{sp} - \frac{t_f}{2} \right) - C_2 \left(d_{sp} - t_f - \frac{t_o}{2} \right)}{d_{sp} - t_f - t_o - \frac{a - t_f - t_o}{2}} + C_1 + C_2 + f_{sp}$$

(Ec. III.42)

Si la sección "T" trabaja como "T", con el área de acero obtenida en la ecuación III.32 y convertida a tornillos; se calcula el valor de f_{sp} correspondiente. Este valor se sustituye en la ecuación III.45 y se verifica que $a > t_o + t_f$. Con estos valores se obtiene el nuevo valor de A_{sp} en la ecuación III.42.

Si los valores de A_{sp} son iguales, el proceso termina; en caso contrario se volverá a realizar este proceso hasta que ambos sean iguales.

Con el área de acero (A_{sp}) obtenida con las ecuaciones III.33, III.39, III.42 o III.43, según el tipo de sección con la que se este trabajando; se transformara a torones, y el área obtenida de esta manera no deberá exceder al valor obtenido de A_{sp} .

Los torones se colocaran en la sección y se obtendrá su distancia d_{sp} . Una vez obtenido el numero de torones necesarios, así como su ubicación en la sección, se procederá entonces a su revisión.

Las revisiones que se harán, son las mismas a las realizadas en sección compuesta por esfuerzos permisibles, vistas en el capítulo anterior, o sea:

- * Revisión por Esfuerzos Permisibles.
- * Revisión por Resistencia.
- * Revisión por tipo de Falla.
- * Revisión por Acero Mínimo.
- * Revisión por Izado.

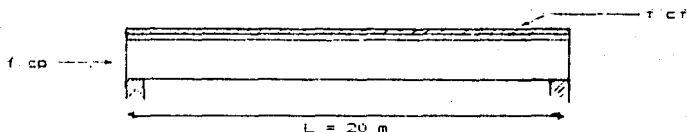
Estas revisiones se realizan en la misma manera a como se vio en el capítulo anterior.

Con las revisiones anteriores, se concluye el diseño por flexión de las secciones compuestas por el método de Resistencia.

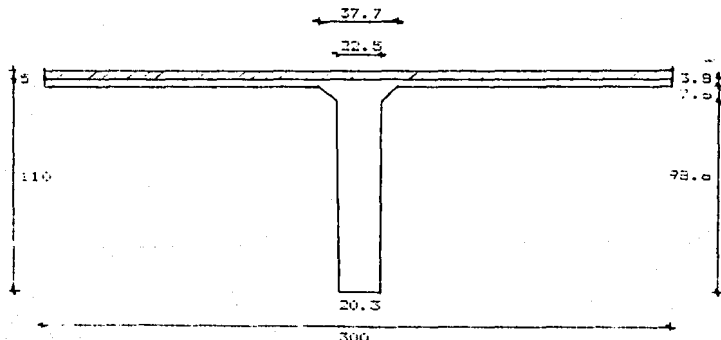
B) Ejemplo.

Diseñar el paso peatonal sobre una avenida principal, cuya sección transversal es una viga "T" de sección compuesta y sus datos son los siguientes:

$$\begin{aligned}w_{scm} &= 100 \text{ Kg/cm}^2 \\w_{cv} &= 250 \text{ Kg/cm}^2 \\f_{ctf} &= 250 \text{ Kg/cm}^2 \\f_{cp} &= 350 \text{ Kg/cm}^2 \\f_{sr} &= 18,900 \text{ Kg/cm}^2 \\f_y &= 4,200 \text{ Kg/cm}^2 \\L &= 20 \text{ m} \\Torón &= 0,1,2\end{aligned}$$



Sección:



a) Características Geométricas

Se obtienen directamente del catálogo del ANIFPAC.

Sección Compuesta

$A_{sc} = 6 \ 119 \text{ cm}^2$
 $I_{sc} = 6 \ 309 \ 752 \text{ cm}^4$
 $Y_{sc} = 87.5 \text{ cm}$
 $Y_{ssc} = 27.5 \text{ cm}$
 $W_{pp} = 1 \ 524 \text{ Kg/m}$

Sección Simple

$A_{ss} = 4 \ 851 \text{ cm}^2$
 $I_{ss} = 5 \ 310 \ 561 \text{ cm}^4$
 $Y_{ss} = 81.0 \text{ cm}$
 $Y_{sss} = 29.0 \text{ cm}$
 $W_{pp} = 1 \ 164 \text{ Kg/m}$

b) Análisis de Cargas.

Sección Simple

$$W_{ss} = 1 \ 524 \text{ Kg/m}$$

$$\frac{M_{ss}}{A} = \frac{W_{ss} l}{8} = \frac{1 \ 524 (20)}{8} = 75 \ 100 \text{ Kg - m}$$

Sección Compuesta

$$\begin{aligned} W_{scm} &= 100' (3) = 300 \\ W_{cv} &= 350' (3) = 1 \ 050 \\ \hline & 1 \ 350 \text{ Kg/m} \end{aligned}$$

$$\frac{M_{sc}}{A} = \frac{W_{scm} l}{8} = \frac{1 \ 350 (20)}{8} = 67 \ 500 \text{ Kg - m}$$

c) Obtención de M_{sp} .

Suponiendo que la sección trabaja como rectangular y haciendo que $f_{sp} = 0.9 f_{sr}$, podemos aplicar la ecuación III.32:

Calculando M_{sp} :

$$M_{sp} = F.C. \left(\frac{M_{sc}}{A} + \frac{M_{ss}}{A} \right)$$

$$M_{ua} = 1.4 \times (76.200 + 0.7.500) = 201.180 \text{ kg} = m$$

$$M_{ua} = 20.118.000 \text{ kg} = cm$$

y ademas:

$$f'_{cp} = 350 \text{ Kg/cm}^2$$

$$f''_{cp} = 0.8 f'_{cp} = 0.8 (350) = 280 \text{ Kg/cm}^2 > 250 \text{ Kg/cm}^2$$

$$\begin{aligned} f''_{cp} &= \left(1.05 - \frac{f'_{cp}}{1.250}\right) f'_{cp} \\ &= \left(1.05 - \frac{280}{1.250}\right) 280 = 231.28 \text{ Kg/cm}^2 \end{aligned}$$

tambien:

$$f'_{cf} = 250 \text{ Kg/cm}^2$$

$$f''_{cf} = 0.8 f'_{cf} = 0.8 (250) = 200 \text{ Kg/cm}^2 < 250 \text{ Kg/cm}^2$$

$$f''_{cf} = 0.85 f'_{cf} = 0.85 (200) = 170 \text{ Kg/cm}^2$$

Sustituyendo en la ecuación III.32:

$$Asp = \sqrt{\frac{M_{ua} (b) (f''_{cf})}{4.095 F.R. (tsr)}}$$

$$= \sqrt{\frac{20.118.000 (200) (170)}{4.095 (0.9) (18.900)}} = 27.92 \text{ cm}^2$$

Se toman 30 torones, cuya Asp = 27.87 cm²

Ubicandolos en la sección, podemos obtener "r" :

$$3 (3.5 + 8.5 + 13.5 + 16.5 + 20.5 + 22.5 + 25.5 + 28.5 + 30.5 + 34.5 + 40.5 + 48.5) = 30 r$$

$$r = \frac{3 (250)}{30} = 25 \text{ cm}$$

Obteniendo dsp:

$$dsp = n - r = 115 - 25 = 89 \text{ cm}$$

Sustituyendo en la ecuación III.50 para obtener f_{sp} :

$$f_{sp} = f_{sr} \left[1 - 0.5 \frac{Asp}{b \cdot dsp} \frac{f_{sr}}{f''cf} \right]$$

$$= 18900 \left[1 - 0.5 \frac{27.87}{300 (89)} \frac{18900}{170} \right] = 17903 \text{ kg/cm}^2$$

Obteniendo "a":

$$a = \frac{Asp \cdot f_{sp}}{b \cdot f''cf} = \frac{27.87 (17903)}{300 (170)} = 9.73 \text{ cm}$$

Sustituyendo en la ecuación III.53:

$$\frac{Asp}{F.R. \cdot f_{sp} (dsp - a / 2)} = \frac{M_{ua}}{}$$

$$= \frac{20118.000}{0.9 (17903) (89 - 9.73 / 2)} = 14.92 \text{ cm}^2$$

Se toman 16 tornones, cuya $Asp = 14.80 \text{ cm}^2$.

Obteniendo "r":

$$3 \times 3.5 + 8.5 + 13.5 + 18.5 + 23.5 + 1 \times 26.5 = 10r$$

$$r = \frac{3 \times (3.5 + 8.5 + 13.5 + 18.5 + 23.5) + 26.5}{10} = 14.44 \text{ cm}$$

$$dsp = h - r = 115 - 14.44 = 100.56 \text{ cm}$$

$$f_{sp} = 18900 \left[1 - 0.5 \frac{14.80}{300 (100.56)} \frac{18900}{170} \right] = 16382 \text{ kg/cm}^2$$

$$a = \frac{Asp \cdot f_{sp}}{b \cdot f''cf} = \frac{14.80 (16382)}{300 (170)} = 5.20 \text{ cm}$$

Como:

$$tf = 5 \quad \& \quad a = 5.20 < tf + tp = 8.3$$

La sección trabaja como rectangular.

Entonces de la ecuación III.59:

$$C_1 = tf \cdot b \cdot f''cf = 5 (300) (170) = 255000 \text{ Kg}$$

$$A_{sp} = \frac{\frac{M_{ua}}{F.R.} - C_1 \left(\frac{d_{sp} - t_f}{2} \right)}{\frac{d_{sp} + t_f - a - t_f}{2} + C_1} \div f_{sp}$$

$$A_{sp} = \frac{\frac{20.118.000}{0.9} - 255.000 \left(100.56 - \frac{5}{2} \right)}{100.56 - 5 - \frac{5.36 - 5}{2} + 255.000} \div 18.382$$

$$A_{sp} = 12.08 \text{ cm}^2 \implies 13 \text{ torones} \quad A_{sp} = 12.08 \text{ cm}^2$$

Se procede a realizar una nueva iteración:

$$r_{av} = \frac{2 \times 5.3 + 8.5 + 12.5 + 15.5 + 1 + 15.5}{15} = 11.96 \text{ cm}$$

$$d_{sp} = h - r = 115 - 11.96 = 103.04 \text{ cm}$$

$$f_{sp} = 18.900 \left[1 - 0.5 \frac{12.08}{300} \frac{18.900}{103.04} \right] = 16.489 \text{ kg/cm}^2$$

$$a = \frac{A_{sp} f_{sp} - t_f b f' c_f}{\sigma f' c_p} + t_f$$

$$a = \frac{12.08 (18.489) - 5 (200) (170)}{300 (221.28)} + 5 = 4.54 \text{ cm}$$

Entonces:

$$a = 4.54 \text{ cm} \quad t_f = 5 \text{ cm} \\ \text{trabaja como rectángulo.}$$

De la ecuación III.33:

$$A_{sp} = \frac{20.118.000}{0.9 (18.489) (103.04 - 4.54 / 2)} = 12 \text{ cm}^2$$

Se toman 13 torones, cuya $A_{sp} = 12.08 \text{ cm}^2$

Como se obtuvieron el mismo número de torones que en el tanto anterior, entonces se termina el proceso iterativo y se procede entonces, a su ubicación en la sección.

d) Colocacion de los Tendones.

$$St = S_0 = S(1.27) = 3.81 \text{ cm} \quad \Rightarrow 4.0 \text{ cm}$$

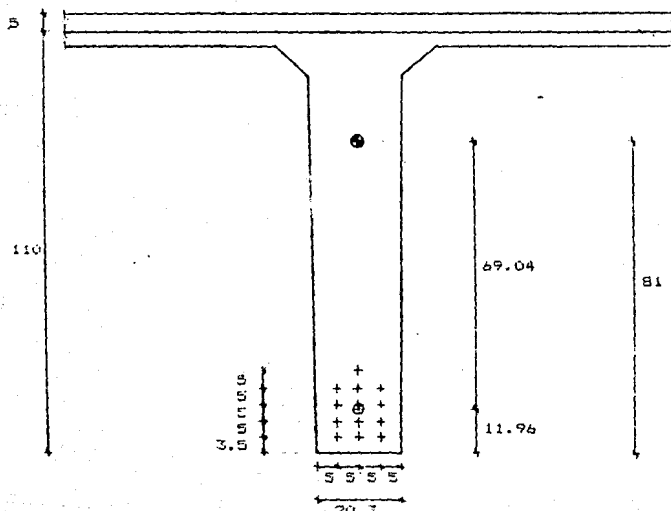
$$St = S_0 + \theta = 3.81 + 1.27 = 5.08 \text{ cm} \quad \Rightarrow 5.0 \text{ cm}$$

$$r_1 = 2.5 \text{ cm} \quad \Rightarrow 2.5 \text{ cm}$$

$$rt = r_1 + \theta/2 = 2.5 + 1.27/2 = 3.14 \text{ cm} \quad \Rightarrow 3.5 \text{ cm}$$

e) Obtencion de er.

$$er = r_{iss} - r = S_1 - 11.96 = 69.04 \text{ cm}$$



f) Revision por Esfuerzos Permisibles.

Concreto

- Inmediatamente despues de la transferencia.
 $f'ci = 0.8 f'c = 0.8 (350) = 280 \text{ Kg/cm}^2$

Comision

$$fp = 0.6 f'ci = 0.6 (280) = 168 \text{ Kg/cm}^2$$

Tension

$$fp = \sqrt{f'ci} = \sqrt{280} = 16.73 \text{ Kg/cm}^2$$

- En condiciones de servicio.

Comision

$$fp = 0.45 f'c = 0.45 (350) = 157.5 \text{ Kg/cm}^2$$

Tension

$$fp = 1.0 \sqrt{f'c} = 1.0 \sqrt{350} = 29.73 \text{ Kg/cm}^2$$

Acerro de Presfuerzo

$$fo = 0.7 f_{sp} = 0.7 (18 900) = 13 230 \text{ Kg/cm}^2$$

$$f = k fo = 0.8 (13 230) = 10 584 \text{ Kg/cm}^2$$

$$F_o = Q_{sp} f_o = 0.929 (13 230) = 12 291 \text{ Kg}$$

$$F = Q_{sp} f = 0.929 (10 584) = 9 853 \text{ Kg}$$

Acerro de Refuerzo

$$fp = 0.5 F_y = 0.5 (4 200) = 2 100 \text{ Kg/cm}^2$$

REVISION

- Inmediatamente despues de la transferencia de los esfuerzos.
(en los apoyos / Sección B - B).

$$P_o = N F_o = 13 (12 291) = 159 783 \text{ Kg}$$

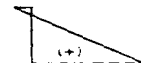
$$f_i = \frac{P_o}{A_{se}} + \frac{P_o \text{ en } Y_{iss}}{I_{ss}}$$

$$= \frac{159 783}{4 851} + \frac{159 783 (32.04)}{5 310 562} (81) = 201.20 \text{ Kg/cm}^2$$

$$f_s = \frac{P_0}{A_{ss}} - \frac{F_{er} \text{ en } Y_{iss}}{I_{sc}}$$

$$= \frac{159.783}{4.851} - \frac{159.783 \cdot (69.04)}{5.310.562} (29) = - 27.50 \text{ kg/cm}^2$$

$$27.50 > 16.73$$



$$201.20 > 168$$

La sección no se acepta.
Es necesario engrasar.

- En condiciones de Servicio (al centro del claro).
Sección A - A.

$$P = N F = 13 (9.833) = 127.827 \text{ Kg}$$

Sección Simple.

$$f_i = \frac{\text{Masa } Y_{iss}}{I_{sc}} = \frac{76.200 \cdot (100)}{5.310.562} (81) = 116.22 \text{ Kg/cm}^2$$

$$f_s = \frac{\text{Masa } Y_{iss}}{I_{sc}} = \frac{76.200 \cdot (100)}{5.310.562} (29) = 41.61 \text{ kg/cm}^2$$

Sección Comovuesta.

$$f_i = \frac{\text{Masa } Y_{isc}}{I_{sc}} = \frac{67.500 \cdot (100)}{6.309.752} (87.5) = 93.61 \text{ kg/cm}^2$$

$$f_s = \frac{\text{Masa } Y_{isc}}{I_{sc}} = \frac{67.500 \cdot (100)}{6.309.752} (27.5) = 29.41 \text{ kg/cm}^2$$

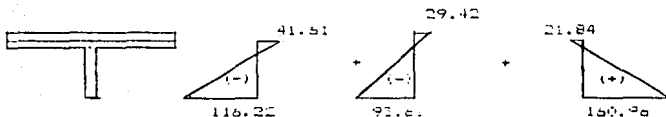
Producidas por el Presfuerzo.

$$f_i = \frac{P}{A_{ss}} + \frac{F_{er} \text{ en } Y_{iss}}{I_{sc}}$$

$$= \frac{127.829}{4.851} + \frac{127.829 \cdot (69.04)}{5.310.562} (91) = 160.96 \text{ kg/cm}^2$$

$$f_8 = \frac{F}{A_{ss}} = \frac{F_{en} Y_{iss}}{I_{ss}}$$

$$= \frac{122.820}{4.851} = \frac{122.820 (65.04)}{5.310.552} = 21.84 \text{ kg/cm}^2$$



$$\frac{29.42}{Y_{iss}} < \frac{157.5}{40.84} < \frac{157.5}{157.5}$$



$$48.87 > 29.93$$

$$\frac{29.42}{Y_{iss}} = \frac{t}{Y_{iss} - s}$$

$$t = \frac{(Y_{iss} - s)(29.42)}{Y_{iss}} = \frac{(127.5 - 5)(29.42)}{21.5} = 24.07 \text{ kg/cm}^2$$

- engrase de los tendones en la sección B-B.

Engrasando 3 torones.

$$r = \frac{s + 2.5 + 2.5 + 12.5}{10} + 1 (12.5) = 9.5 \text{ cm}$$

$$er = Y_{iss} - r = 81 - 9.5 = 71.5 \text{ cm}$$

$$P_o = N \cdot F_o = 10 (12.291) = 122.910 \text{ Kg}$$

$$f_8 = \frac{F_o}{A_{ss}} + \frac{P_o \cdot er}{I_{ss}}$$

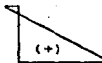
$$= \frac{122.910}{4.851} + \frac{122.910 (71.5)}{5.310.552} (81) = 159.39 \text{ kg/cm}^2$$

$$f_s = \frac{P_o}{A_{ss}} = \frac{P_o \text{ en } Y_{SSS}}{I_{ss}}$$

$$= \frac{122.910}{4.851} = \frac{122.910 (71.5)}{5.316.562} = 22.65 \text{ Kg/cm}^2$$



$$22.65 > 16.73$$



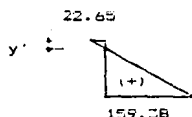
$$159.38 < 168$$

En la fibra superior:

$$f_a \approx f_p$$

ligeramente

Se propone colocar varillas de acero ordinario cerca de los extremos.



$$F_t = \frac{22.65 (300) y'}{2}$$

Por triangulos semejantes:

$$\frac{22.65 + 159.38}{110} = \frac{22.65}{y'}$$

$$y' = \frac{110 (22.65)}{182.00} = 13.69 \text{ cm}$$

$$F_t = \frac{22.65 (300) (13.69)}{2} = 46.512 \text{ Kg}$$

$$A_s = \frac{F_t}{f_p} = \frac{46.512}{2100} \approx 22.15 \text{ cm}^2$$

Se propone colocar 18 varillas de 1/2"
18 Vs * 4 ==> $A_s = 22.86 \text{ cm}^2$

g) Revision por Resistencia.

- Obtencion de Mua.

$$Mua = 20 118 000 \text{ Kg} - \text{cm}$$

- Obtencion de Mur.

Comos:

$$a = 4.54 \text{ cm} \quad t_f = 5 \text{ cm} \\ \text{trabaja como rectangular.}$$

$$f_{sp} = 18 900 \left[\frac{1}{1} - 0.5 \frac{12.08}{300 (105.04)} \frac{18 900}{170} \right] = 18 469.4 \text{ kg/cm}^2$$

Con el cual:

$$. Mur = F.R. \left[HSD f_{sp} \left(\frac{dsp - \frac{a}{2}}{2} \right) \right]$$

$$= 0.9 \left[12.08 (18 469.4) \left(105.04 - \frac{4.54}{2} \right) \right]$$

$$Mur = 20 189 584 \text{ Kg} - \text{cm} = 201.89 \text{ Ton} - \text{m}$$

Entonces:

$$Mur = 201.89 \text{ Ton} - \text{m} \quad Mua = 201.12 \text{ Ton} - \text{m}$$

∴ La sección se acepta por resistencia.

h) Revision de la Falla Potencial.

$$\epsilon = \frac{a}{0.6} = \frac{4.54}{0.6} = 5.68 \text{ cm}$$

$$\epsilon_{sp} = \frac{0.003 (dsp - c)}{c} = \frac{0.003 (105.04 - 5.68)}{5.68} = 0.05142$$

$$\epsilon_1 = \frac{0.7 \times f_{sp}}{\epsilon_{sp}} = \frac{0.7 (0.8) (18 900)}{1 900 000} = 0.00537$$

$$\frac{\epsilon_{sp}}{0.75} = \frac{0.01}{0.75} = 0.013$$

$$\epsilon_i + \epsilon_{sp} = 0.00557 + 0.05142 = 0.05699$$

$$\epsilon_i + \epsilon_{sp} = 0.05699 \therefore \frac{\epsilon_{sp}}{0.75} = 0.012$$

∴ La falla potencial es ductil.

i) Revisión por Acero Mínimo.

Se debe cumplir que:

$$M_{ur} \geq 1.2 M_{agriet}$$

Como:

$$M_{ur} = 20 189 384 \text{ Kg - cm} = 201.89 \text{ Ton - m}$$

Obteniendo Magriet:

$$M_{agriet} = \frac{\left(2 \sqrt{f' c p} + \frac{P}{A_{ss}} + \frac{P_{er} \cdot I_{ss}}{I_{ss}} - \frac{M_{as} \cdot I_{ss}}{I_{ss}} \right) I_{sc}}{(I_{sc})} + M_{ss}$$

$$\left(\frac{2\sqrt{350}}{4} + \frac{127.829}{5.310.561} + \frac{127.829 \cdot (69.04)}{5.310.561} \cdot (61) - \frac{7.620.000}{5.310.561} \cdot (61) + 309.752 \right) \frac{87.5}{87.5}$$

$$M_{agriet} = 5.924.088 + M_{ss} = 5.924.088 + 7.620.000$$

$$M_{agriet} = 13.544.088 \text{ Kg - cm} = 135.44 \text{ Ton - m}$$

$$1.2 M_{agriet} = 1.2 \cdot (135.44) = 162.53 \text{ Ton - m}$$

Entonces:

$$M_{ur} = 201.89 \text{ Ton - m} \therefore M_{agriet} = 162.53 \text{ Ton - m}$$

∴ La sección cumple con el acero mínimo.

j) Revisión por Izado.

Se suponen ganchos de izado a 1.5 m de cada extremo, entonces, el momento en la sección C-C, es:

$$M_{apdc} = \frac{W_{apdc} a}{2} = \frac{1.164 \cdot (1.5)}{2} = 1.309.5 \text{ kg - m}$$

$$M_{appc} = 130.950 \text{ kg} \cdot \text{cm}$$

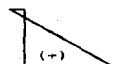
$$f_t = \frac{P_o}{A_{ss}} + \frac{P_o e_r \gamma_{iss}}{I_{ss}} + \frac{M_{appc} \gamma_{iss}}{I_{ss}}$$

$$\frac{122.910}{4.951} + \frac{122.910 \cdot (71.5)}{5.310.562} \cdot (81) + \frac{130.950 \cdot (81)}{5.310.562} = 161.18 \text{ Kev/cm}^2$$

$$f_s = \frac{P_o}{A_{ss}} - \frac{P_o e_r \gamma_{iss}}{I_{ss}} - \frac{M_{appc} \gamma_{iss}}{I_{ss}}$$

$$\frac{122.910}{4.951} - \frac{122.910 \cdot (71.5)}{5.310.562} \cdot (29) - \frac{130.950 \cdot (29)}{5.310.562} = - 23.37 \text{ Kev/cm}^2$$

$$23.37 / 16.73$$



$$161.18 \cdot 16.73$$

En la fibra superior:

$$f_a > f_p$$

ligeramente

Se propone colocar varillas de acero ordinario cerca de los extremos:

$$23.37$$



$$161.18$$

$$F_t = \frac{23.37 \cdot (500) \cdot v}{2}$$

$$\frac{161.18 + 23.37}{110} = \frac{23.37}{v}$$

$$y' = \frac{110 \text{ (23.57)}}{184.75} = 13.91 \text{ cm}$$

$$F_t = \frac{23.37 \text{ (300)} \text{ (13.91)}}{2} = 48.762 \text{ Kg}$$

$$A_s = \frac{F_t}{f_p} = \frac{48.762}{2.100} = 23.22 \text{ cm}^2$$

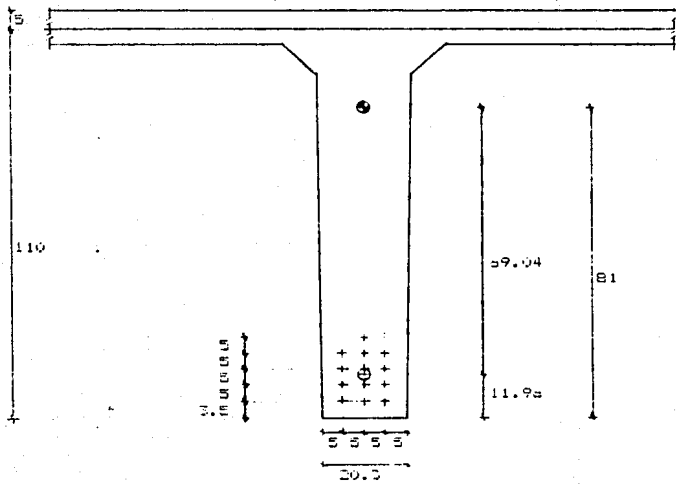
Se propone colocar 18 varillas de 1/2"

$$18 \text{ Vs } \# 4 \implies A_s = 22.80 \text{ cm}^2$$

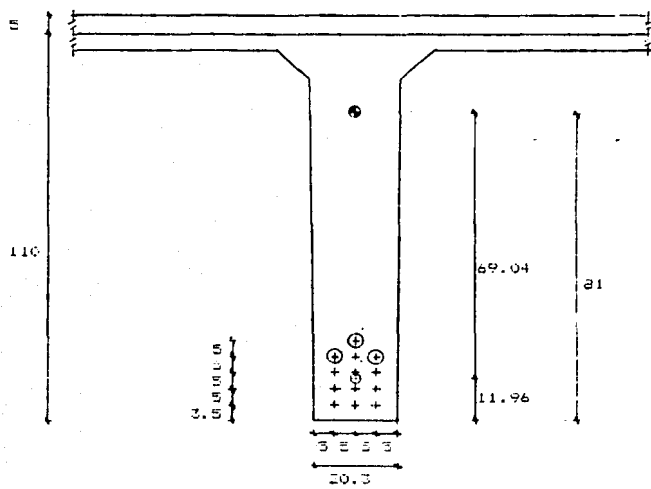
Esta area de acero obtenida es igual a la propuesta en la revisión por esfuerzos permisibles, por lo que cumple en ambas revisiones.

Con esta revisión se concluye el diseño por flexión de la sección compuesta. Con base en lo anterior se afirma que la sección propuesta es aceptable, ya que cumple con las disposiciones del RCDF-87.

SECTION A



S E C C I O N B



Obtención del acero máximo de la sección.

Para asegurar que la falla sea ductil, se obtendrá el número de coronas máximas que podemos colocar en las secciones de los ejemplos vistos.

- Acero Máximo para la Viga " TT " (Sección Simple).

Para empezar a iterar, primeramente supondremos un valor de d_{sp} .

Suponiendo $d_{sp} = 30$ cm

de la ecuación III.2:

$$\epsilon_1 = \frac{0.7 F_{sr}}{E_{sp}} = \frac{0.7 (0.8) (18.900)}{1.900.000} = 0.00557$$

sustituyendo en III.1:

$$\epsilon_{sp} = 0.013 - \epsilon_1 = 0.013 - 0.00557 = 0.00743$$

podemos obtener " c " de III.3:

$$c = \frac{0.003 d_{sp}}{0.003 + \epsilon_{sp}} = \frac{0.003 (30)}{0.003 + 0.00743} = 8.63 \text{ cm}$$

como:

$$a = 0.3 c = 0.3 (8.63) = 6.90 \text{ cm} \quad \times \quad \text{trabajó como " T "}$$

obteniendo T_{sp} de la ecuación III.27:

$$T_{sp} = t^2 b f''_{cp} + (a - t) b' f''_{cp} \\ = 6 (250) (231.28) + (6.90 - 6) (18) (231.28) = 346.920 \text{ kg}$$

sustituyendo en la ecuación III.7:

$$A_{sp} = \frac{(3 b d_{sp} f''_{cp})}{f_{sr}} \left(\frac{1}{1} + \sqrt{\frac{1}{1} - \frac{2 T_{sp}}{b d_{sp} f''_{cp}}} \right)$$

$$= \frac{(250) (30) (231.28)}{18.900} \left(\frac{1}{1} + \sqrt{\frac{1}{1} - \frac{2 (346.920)}{(250) (30) (231.28)}} \right)$$

$$= 20.69 \text{ cm}^2 \quad \Rightarrow \quad 22.3 \text{ coronas}$$

Se colocaran sólo 22 torones en la sección (11 en cada alma de la " T ").

obtencion de r_1 :

$$r = \frac{21.5 + 8 + 13 + 18 + 23}{11} + 1 (28) = 14.36 \text{ cm}$$

$$d_{so} = h - r = 51 - 14.36 = 36.64 \text{ cm} \neq 35 \text{ cm}$$

Se procedera a realizar una nueva iteracion. Como el proceso se repite hasta que ambos d_{so} sean iguales:

$$c = \frac{0.003 d_{so}}{0.003 + f_{so}} = \frac{0.003 (36.64)}{0.003 + 0.00743} = 10.54 \text{ cm}$$

$$a = 0.8 c = 0.8 (10.54) = 8.43 \text{ cm} > 6 \text{ cm} \quad \text{trabaja como " T "}$$

$$T_{sp} = \sigma (250) (231.28) + (8.43 - \sigma) (25) (131.28) \\ = 361.544 \text{ kg}$$

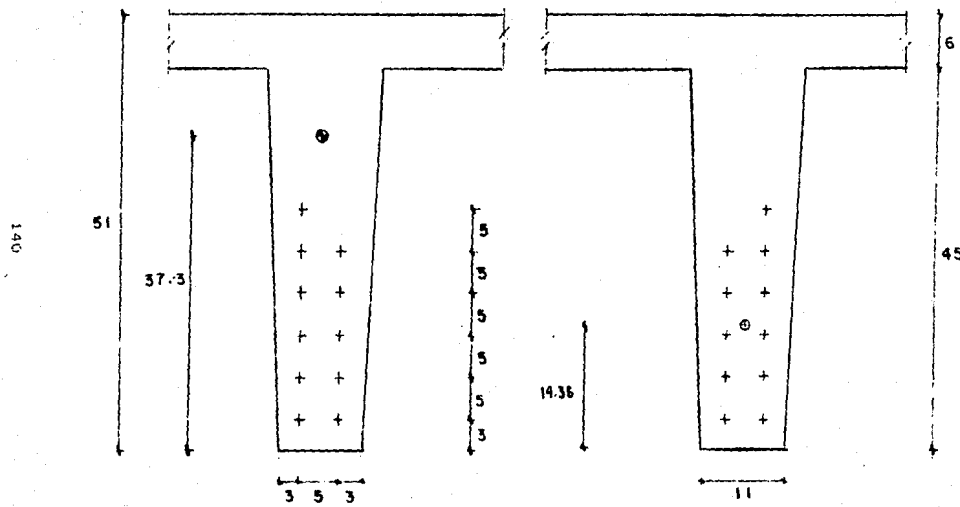
$$= \frac{250 (36.64) (131.28)}{12.300} \left(1 + \sqrt{1 - \frac{2 (361.544)}{250 (36.64) (131.28)}} \right)$$

$$Aso = 21.12 \text{ cm}^2 \quad ==> \quad 22.70 \text{ torones.}$$

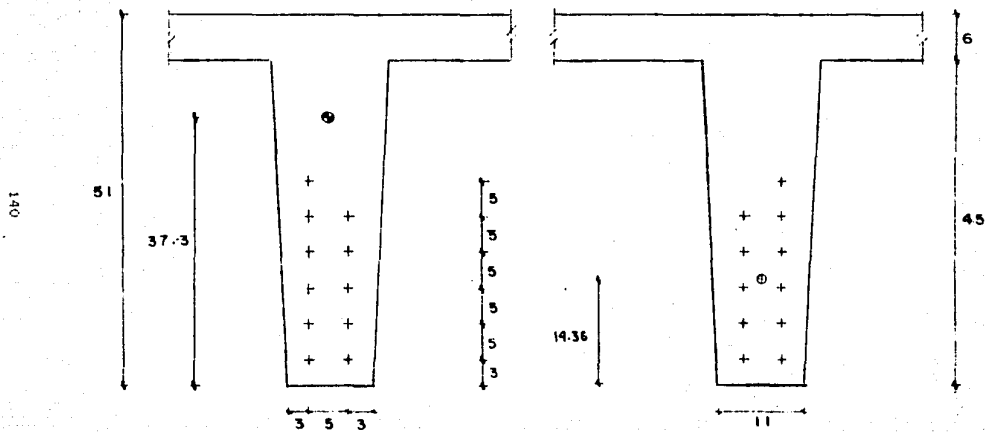
Se toman 22 torones, que son los mismos que se obtuvieron en el tanteo anterior, por lo que se termina el proceso iterativo.

Finalmente, el numero maximo de torones que podemos colocar en la sección para que su falla sea ductil es de 22 torones.

ACERO MAXIMO



ACERO MAXIMO



- Acero Máximo para la viga " T " (Sección Comovesta).

Siguiendo un procedimiento similar al anterior.

Sustituyendo $d_{sp} = 60 \text{ cm}$

$$c = \frac{0.003 \cdot d_{sp}}{0.003 + f_{sp}} = \frac{0.003 \cdot 60}{0.003 + 0.00743} = 17.26 \text{ cm}$$

$$a = 0.8 c = 0.8 (17.26) = 13.81 \text{ cm} > 8.8 \text{ cm}$$

trabaja como " T "

De la ecuación III.27:

$$\begin{aligned} T_{sp} &= t_f c f''_{ct} + t_b b f''_{cp} + [a - (t_f + t_b)] b f''_{cp} \\ &= 5 (300) (170) + 3.8 (300) (231.28) \\ &\quad + (13.81 - 8.8) (21.4) (231.28) = 543.456 \text{ kN} \end{aligned}$$

Sustituyendo en la ecuación III.28:

$$\begin{aligned} A_{sp} &= \frac{b \cdot d_{sp} \cdot f''_{corom}}{f_{sr}} \left(1 + \sqrt{1 - \frac{2 \cdot T_{sp}}{b \cdot d_{sp} \cdot f''_{corom}}} \right) \\ &= \frac{300 (60) (200.64)}{18.900} \left(1 + \sqrt{1 - \frac{2 (543.456)}{300 (60) (200.64)}} \right) \end{aligned}$$

$$A_{sp} = 31.32 \quad \Rightarrow \quad 33.7 \text{ toneladas}$$

Se toman 33 toneladas.

$$r = \frac{3 (3.5 + 8.5 + 13.5 + 18.5 + 23.5 + 28.5 + 33.5 + 38.5 }{33} + 47.5 + 48.5 + 53.5)$$

$$r = 28.5 \text{ cm}$$

$$d_{sp} = h - r = 115 - 28.5 = 86.5 \text{ cm} \neq 60 \text{ cm}$$

Se procede a realizar una nueva iteración.

Como el proceso se repite hasta que ambos d_{sp} sean iguales, aquí solo se conoce la última iteración.

Del último cálculo se obtiene $A_{sp} = 32.31 \text{ cm}^2$, equivalente a 34.8 toneladas.

Se toman 14 torones.

$$\begin{aligned} & 5 \cdot 15.5 + 2.5 + 10.5 + 18.5 + 10.5 + 28.5 + 13.5 + 28.5 + 47.5 \\ & = 240.5 + 52.5 / + 58.5 \end{aligned}$$

$$r = 24.05 \text{ cm}$$

$$\text{Asp} = n - r = 112 - 24.05 = 87.95 \text{ cm}$$

$$c = \frac{0.0003 \cdot 25.625}{0.01045} = 19.63 \text{ cm}$$

$$s = 0.8 \cdot 19.63 = 15.70 \text{ cm} \quad 8.6 \text{ cm}$$

trabaja como "T"

$$\begin{aligned} \text{Tsp} &= 135.000 + 263.659.2 + (15.70 - 8.6) \cdot (21.4) \cdot (231.28) \\ &= 571.506 \text{ Kg} \end{aligned}$$

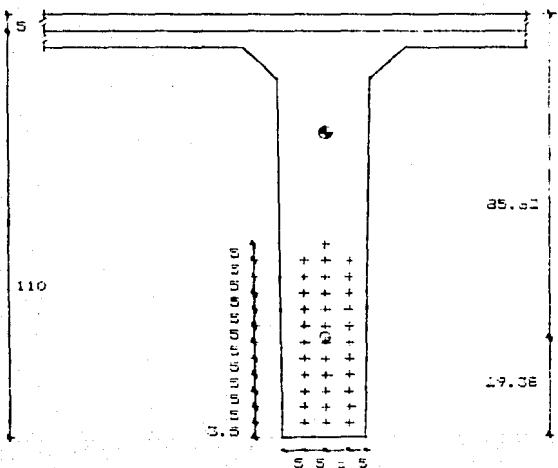
$$\frac{\text{Asp}}{1.2} = \frac{300 \cdot 25.625 \cdot (200.000)}{16.900} \left(\sqrt{1 - \frac{1}{200.000} \cdot \frac{25.625}{16.900}} - 1 \right)$$

$$\text{Asp} = 32.50 \text{ cm} \quad \Rightarrow \quad 24.7 \text{ torones}$$

Se toman 24 torones, que son los mismos que se obtuvieron en el tentado anterior, por lo que se termina el proceso iterativo.

Finalmente, el numero maximo de torones que podemos colocar en la sección para que su talla sea cuadrada es de 24 torones.

ACERCA MAXIMO



IV CONCLUSIONES

IV.1 Conclusiones.

IV.1 Conclusiones.

En esta tesis se presentan los dos métodos de diseño más utilizados para elementos presforzados;

- El Método de Diseño por Esfuerzos Permisibles y
- El Método por Resistencia.

El método de diseño por Esfuerzos Permisibles es más conservador que el de Resistencia, ya que nos da una área de acero mayor.

En el diseño por el Método de Resistencia, se hicieron dos estudios: Uno para el obtener el área de acero (A_{sp}) máxima, para que un elemento de dimensiones dadas tenga una rellena ductil, esto es, la máxima cantidad de acero de presfuerzo que podemos colocar en esa sección. Con esta área de acero, obviamente obtenemos un momento resistente (M_{ur}) mayor que el momento actuante (M_{ua}), con lo cual podemos elegir entre dos opciones:

- Tomar una sección de menores dimensiones.
- Reducir el número de tornos hasta que el M_{ur} sea aproximadamente igual al M_{ua} (esto se hace a base de tanteos).

Para evitar hacer varios tanteos, se hizo un segundo estudio para Diseñar por Resistencia. Se obtuvieron unas fórmulas para encontrar el A_{sp} en forma aproximada, suponiendo un valor de f_{cd} , y después procediendo a obtener el valor real de A_{sp} , siendo este método rápidamente convergente.

Se deben realizar todas las revisiones indicadas, ya que si se omite cualquiera de ellas el elemento puede tener problemas. De estas revisiones una de las más importantes es la de esfuerzos permisibles, ya que es en ella en donde se encuentra la necesidad de engrasar los tornos.

En el método por Resistencia es más frecuente la necesidad de engrasar, ya que al concentrar el acero de presfuerzo en la parte inferior de la sección se tiene esfuerzos actuantes mayores que los permisibles, por lo que hay que recurrir al engrase para reducirlos, pues de otra manera se puede fracturar el elemento.

Como consecuencia de esto, aunque ya fuera de los objetivos de esta tesis, se debe poner especial atención a la revisión por deflexión; ya que el diagrama de momentos varía de acuerdo al engrase del elemento, y es necesario tener que revisar por secciones por un método apropiado (por ejemplo el método de Newmark).

En caso de no tener cuidado en esta revisión el elemento puede tener problemas de contraflechas muy grandes, llegando incluso a "tronarse".

Con el método de Diseño por Resistencia se logra, de acuerdo a los ejemplos expuestos, una reducción de aproximadamente un 30 % del acero de prestuerzo con respecto al diseño por Esfuerzos Permisibles, lo cual se observa más claro en los resultados siguientes:

De acuerdo a los ejemplos expuestos, el numero de torones obtenido en cada uno de ellos fueron:

	Esfuerzos Permisibles	Resistencia	Acero Maximo
S. Simole	8	6	22
S. Comovesta	19	13	34

Se observa claramente la diferencia entre el acero obtenido con los métodos de diseño expuestos, y la ventaja que tiene el método de resistencia sobre el de esfuerzos permisibles, sin olvidar que falta la revisión por deflexiones.

BIBLIOGRAFIA.

- Arthur H. Nilson
Diseño de Estructuras de Concreto Presforzado.
Limusa, 1982.
- Catálogo de Productos ANIPPAC.
Camesa.
- Reglamento de Construcciones para el Distrito Federal.
Gaceta Oficial del Departamento del Distrito Federal
México, 1987.
- Normas Técnicas Complementarias para Diseño y
Construcción de Estructuras de Concreto.
Gaceta Oficial del Departamento del Distrito Federal.
México, 1987.
- Diseño y Construcción de Estructuras de Concreto.
Series del Instituto de Ingeniería, No. 401. U.N.A.M.
México, 1977.
- Oscar M. González Cuevas, Francisco Robles V.
Aspectos Fundamentales del Concreto Reforzado.
Limusa, 1985.
- Apuntes de Mecánica de Materiales II.
Departamento de Estructuras, DICTE.
Facultad de Ingeniería, U.N.A.M.
- Apuntes de Clase de la Materia Presfuerzo y
Prefabricación.
Semestre 87-II.